

**BULLETIN**  
**du MUSÉUM NATIONAL**  
**d'HISTOIRE NATURELLE**

PUBLICATION TRIMESTRIELLE

**SECTION C**

**sciences de la terre**

**paléontologie**

**géologie**

**minéralogie**

**4<sup>e</sup> SÉRIE T. 14 1992, N° 1**

*Janvier-Mars 1992*

BULLETIN  
du  
MUSÉUM NATIONAL D'HISTOIRE NATURELLE  
57, rue Cuvier, 75005 Paris

---

Section C : SCIENCES DE LA TERRE

Directeur : L. GINSBURG.

Rédacteur : P. DUPÉRIER.

Comité de rédaction : H. LELIÈVRE, E. L. PERSEIL, F. POPLIN, J. M. ROUCHY, S. SEN (Univ. PARIS VI), P. TASSY.

Comité scientifique : C. BABIN (Lyon), CHANG MEE MAN (Pékin, Chine), J. DECOURT (Paris), C. DEVILLERS (Paris), M. DURANG-DELGA (Toulouse), J. H. FRANZEN (Frankfurt-am-main, Allemagne), Z. KIELAN-JAWOROWSKA (Oslo, Danemark), J. P. LAVEINL (Lille), M. NOVACEK (New York, USA), G. NELSON (New York, USA), C. PATTERSON (Londres, Angleterre), J. L. SANZ (Madrid, Espagne), H. P. SCHULTZ (Lawrence, USA), P. TAQUET (Paris).

---

Fondé en 1895, le *Bulletin du Muséum d'Histoire naturelle* est devenu à partir de 1907 : *Bulletin du Muséum national d'Histoire naturelle*. Des travaux originaux relatifs aux diverses disciplines scientifiques représentées au Muséum y sont publiés. Il s'agit essentiellement d'études de Systématique portant sur les collections conservées dans ses laboratoires, mais la revue est également ouverte, depuis 1970 surtout, à des articles portant sur d'autres aspects de la Science : biologie, écologie, etc.

La 1<sup>re</sup> série (années 1895 à 1928) comprend un tome par an (t. 1 à 34), divisé chacun en fascicules regroupant divers articles.

La 2<sup>e</sup> série (années 1929 à 1970) a la même présentation : un tome (t. 1 à 42), six fascicules par an.

La 3<sup>e</sup> série (années 1971 à 1978) est également bimestrielle. Le *Bulletin* est alors divisé en cinq Sections et les articles paraissent par fascicules séparés (sauf pour l'année 1978 où ils ont été regroupés par fascicules bimestriels). Durant ces années chaque fascicule est numéroté à la suite (n<sup>os</sup> 1 à 522), ainsi qu'à l'intérieur de chaque Section, soit : Zoologie, n<sup>os</sup> 1 à 356 ; Sciences de la Terre, n<sup>os</sup> 1 à 70 ; Botanique, n<sup>os</sup> 1 à 35 ; Écologie générale, n<sup>os</sup> 1 à 42 ; Sciences physico-chimiques, n<sup>os</sup> 1 à 19.

La 4<sup>e</sup> série débute avec l'année 1979. Le *Bulletin* est divisé en trois Sections : A : Zoologie, biologie et écologie animales ; B : Botanique, biologie et écologie végétales, phytochimie (fusionnée à partir de 1981 avec la revue *Adansonia*) ; C : Sciences de la Terre, paléontologie, géologie, minéralogie. La revue est trimestrielle ; les articles sont regroupés en quatre numéros par an pour chacune des Sections ; un tome annuel réunit les trois Sections.

S'adresser :

- pour les échanges, à la Bibliothèque centrale du Muséum national d'Histoire naturelle, 38, rue Geoffroy Saint-Hilaire, 75005 Paris, tél. 40-79-36-41.
- pour les abonnements et achats au numéro, au Service de vente des Publications du Muséum, 38, rue Geoffroy Saint-Hilaire, 75005 Paris, tél. 40-79-37-01. C.C.P. Paris 9062-62.
- pour tout ce qui concerne la rédaction, au Secrétariat du Bulletin, 57, rue Cuvier, 75005 Paris, tél. 40-79-34-38.

Abonnements pour l'année 1992 (Prix h.t.)

ABONNEMENT GÉNÉRAL : 1 600 F.

SECTION A : Zoologie, biologie et écologie animales : 920 F.

SECTION B : Botanique, *Adansonia* : 430 F.

SECTION C : Science de la Terre, paléontologie, géologie, minéralogie : 430 F.

SOMMAIRE — CONTENTS

- P. JANVIER. — Les écailles des Trématosaures (Tetrapoda, Temnospondyli) : nouvelles données sur les Trématosaures du Trias inférieur de Madagascar ..... 3  
*The scales of trematosaurs (Tetrapoda, Temnospondyli) : new data on trematosaurs from the Lower Triassic of Madagascar.*
- C. DERYCKE. — Microrestes de Sélaciens et autres Vertébrés du Dévonien supérieur du Maroc ..... 15  
*Selacian microremains and other vertebrate from the Upper Devonian of Morocco.*
- L. G. MARSHALL et C. DE MUIZON. — Atlas photographique (MEB) des Metatheria et de quelques Eutheria du Paléocène inférieur de la formation Santa Lucía à Tiupampa (Bolivie) ..... 63  
*Atlas of SEM photographs of the Metatheria and some Eutheria from the Early Paleocene of Santa Lucía at Tiupampa (Bolivia).*
- J.-P. CAULET, P. CLÉMENT et P.-J. GIANNESINI. — GEOCORES : inventaire informatisé des roches et sédiments marins conservés au Muséum national d'Histoire naturelle ..... 93  
*GEOCORES : a computerized information file for marine rocks and marine sediments from the collections of the Muséum national d'Histoire naturelle.*



# Les écailles des Trématosaures (Tetrapoda, Temnospondyli) : nouvelles données sur les Trématosaures du Trias inférieur de Madagascar

par Philippe JANVIER

**Résumé.** — Des écailles dermiques dorsales, d'aspect cycloïde, sont décrites chez un Trématosaure du Trias inférieur de Madagascar et quelques observations sont faites sur la structure des écailles dermiques ventrales des Trématosaures et Capitosaures du même gisement. Une flexure lacrymale très prononcée est signalée sur un grand crâne de *Trematosaurus madagascariensis* et l'atavisme de ce caractère primitif est mis au compte d'une dynamique de la croissance des os dermiques du crâne.

**Mots-clés.** — Temnospondyli, Trematosauria, Capitosauria, Trias, Madagascar, Écailles, Anatomie.

**Abstract.** — Dorsal, cycloid-like dermal scales are recorded in an Early Triassic trematosaur from Madagascar and remarks are made on the ventral dermal scale structure in both trematosaur and capitosaur from the same locality. A well marked lacrimal flexure is recorded on a large skull of *Trematosaurus madagascariensis* and the atavism of this primitive feature is supposed to be due to the mode of growth of the dermal bones of the skull.

**Key-words.** — Temnospondyli, Trematosauria, Capitosauria, Trias, Madagascar, Scales, Anatomy.

P. JANVIER, URA 12 du CNRS, Institut de Paléontologie, 8, rue Buffon, 75005 Paris, France.

## INTRODUCTION

La présence d'écailles dermiques dorsales chez les Temnospondyles est attestée depuis longtemps, d'abord avec la description qu'en a faite VON MEYER (1858) chez le genre permien *Archaeosaurus*, complétée par les observations de BROILI (1927) sur *Actinodon*, mais aussi avec les descriptions de nombreuses formes de Branchiosaures, Micromelerpetontidés et Eryopidés du Permien inférieur des « Rotliegende » d'Allemagne (CREDNER, 1890; WERNERBURG, 1989). D'autres exemples ont été signalés chez des Temnospondyles carbonifères ou permien : *Stegops* (STEEN, 1930), *Eryops* (ROMER & WITTER, 1941), *Dendropeton* (DAWSON, 1863), *Greererpeton* (ROMER, 1972), *Trimerorhachis* (COLBERT, 1955), *Peltobatrachus* (PANCHEN, 1959). En revanche, la présence d'écailles chez les Temnospondyles triasiques est beaucoup plus rare, peut-être en raison de conditions de conservation moins favorables. A l'exception des Plagiosaures, comme *Gerrothorax*, qui développaient une épaisse armure de tessères dermiques, on ne connaissait pratiquement pas d'exemple de squamation couvrant la face dorsale du tronc. Le petit lambeau de squamation décrit par LEHMAN (1966) chez un

Benthosuchidae du Trias inférieur de Madagascar est situé dans le prolongement de l'interclavicule et appartenait à la couverture ventrale (pl. II, 2). Nous mettons ici en évidence pour la première fois la présence d'écailles sur la face dorsale du corps d'un Trématosaure, *Trematosaurus madagascariensis* Lehman, du Trias inférieur de Madagascar, grâce à un spécimen découvert dans le gisement d'Ambodipo (région d'Ambilobe, nord-ouest de Madagascar) par le Pr. C. DEVILLERS. En outre, quelques remarques seront faites sur les sillons sensoriels du système latéral de la tête chez les Trématosaures.

#### DESCRIPTION

Les écailles que nous décrivons ici reposent sur la surface de la partie postérieure du postpariétal et du tabulaire d'un très grand crâne de *Trematosaurus madagascariensis* (Institut de Paléontologie, MAE 3045). Comme tous les spécimens de ces gisements du Trias inférieur malgache, ce crâne est conservé en empreinte tridimensionnelle dans une concrétion phosphatée brisée, dont beaucoup de morceaux manquent. Les écailles, fines et ornées de stries concentriques, devaient être incluses dans la peau de la partie antérieure du tronc, qui se serait affaissée sur la région occipitale du crâne avant la fossilisation. Chacune d'elles mesure environ deux à trois millimètres de diamètre et la plupart d'entre elles ont une forme grossièrement circulaire (fig. 1C; pl. II, 1b). Certaines sont plus allongées, évoquant la forme d'une lingule. Les stries de croissance montrent une alternance de deux ou trois sillons et bourrelets concentriques. La partie centrale de la plupart des écailles est déprimée et même parfois creusée d'une dépression assez profonde.

Toutes les écailles observées sur ce spécimen sont juxtaposées et rien n'indique qu'elles aient été recouvrantes, comme chez *Trimerorhachis* (COLBERT, 1955, fig. 4), par exemple.

Sur un autre Trématosaure de Madagascar, probablement un jeune individu de *Lyrosaurus australis* Lehman (Institut de Paléontologie, MAE 3038), on peut observer également des écailles de la face ventrale du tronc, juste en arrière de la ceinture pectorale (fig. 1D). Celles-ci sont très petites, leur diamètre n'excédant pas 1 mm, et leur forme est parfaitement circulaire. Le rapport entre la taille du crâne de ce spécimen et celle des écailles est du même ordre que chez le spécimen précédent de *T. madagascariensis*. Ces écailles montrent également deux bourrelets concentriques séparés par un fin sillon avec, en leur centre, une petite élévation dont la dissymétrie suggère la présence d'une petite dépression creusant l'un de ses côtés (fig. 1D2). Ces écailles ne montrent pas non plus de recouvrement notable.

#### INTERPRÉTATION ET COMPARAISONS

Comme cela a été souligné par COLBERT (1955) et, plus récemment, ZYLBERBERG *et al.* (1980), ce type d'écaille de Temnospondyle évoque nettement les écailles dermiques des Gymnophiones actuels. Il demeure néanmoins difficile d'affirmer que, comme ces dernières, elles étaient logées dans des « poches » du derme. Les écailles des Gymnophiones sont constituées de squamules juxtaposées selon des rangées concentriques, mais on y voit parfois aussi un anneau hypominéralisé qui ne semble pas être lié au rythme de la croissance, car

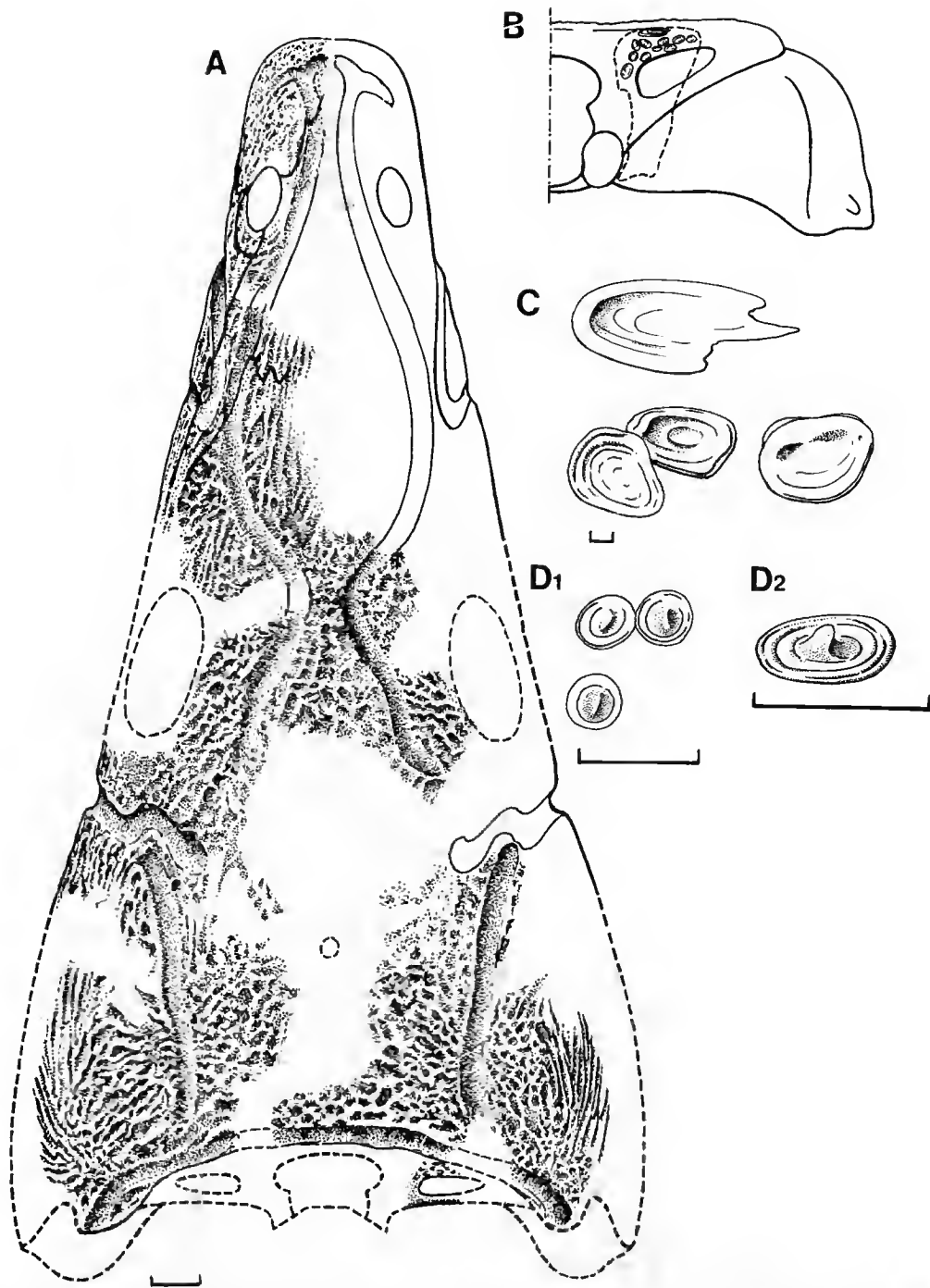


FIG. 1. — A-C : *Trematosaurus madagascariensis* Lehman, Trias inférieur, Ambodipo, Madagascar : A, essai de reconstitution du crâne MAE 3045, en vue dorsale (échelle : 10 mm) ; B, reconstitution de la face postérieure du même crâne, montrant l'emplacement probable du fragment (délimité par un trait interrompu) portant l'empreinte des écailles dorsales ; C, dessin à la chambre claire de quelques écailles dorsales visibles sur le spécimen MAE 3045 (échelle : 1 mm). D : *Lyrosaurus australis* Lehman, Trias inférieur, Ambilobe, Madagascar (MAE 3038), dessin à la chambre claire de quelques écailles (D1) de la face ventrale du tronc (D2, vue oblique d'une écaille montrant la dissymétrie du tubercule central) (échelles : 1 mm).

indépendant de la taille de l'écaille (ZYLBERBERG *et al.*, 1980). Chez les deux Trématosaures étudiés ici, les bourrelets et les stries concentriques les plus marquées des écailles sont au nombre de deux ou trois, quelle que soit la taille de l'individu, et donc son âge. Les écailles associées à un jeune *Lyrosaurus australis* et celles que l'on trouve sur le plus grand crâne de *Trematosaurus madagascariensis* connu (donc, un individu âgé) ont toutes le même nombre de zones concentriques. On est donc tenté de comparer les sillons concentriques séparant deux bourrelets avec les anneaux hypominéralisés des écailles de Gymnophiones.

Enfin, il convient de souligner la différence importante entre l'aspect de ces écailles de Trématosaures et celui des écailles ventrales du Capitosauroïde Benthosuchidé (*Wetugasaurus?*) décrit par LEHMAN (1966; pl. II, 2, MAE 3011) dans le même gisement. Chez ces dernières, qui sont très petites et sans anneaux concentriques, on note la présence constante d'une petite dépression centrale oblongue que LEHMAN (1966 : 11) interprète comme ayant logé une « papille dermique plus ou moins complexe ». Si l'on admet que cette dépression est bien située sur la face externe de chaque écaille, cette interprétation est plausible. Il est également possible que cette dépression ait logé une glande cutanée, située entre l'écaille dermique et l'épiderme, comme cela peut être observé chez certains Squamates (L. ZYLBERBERG, comm. pers., 1990).

Il est difficile de dire si les écailles dermiques des Trématosaures étaient visibles en surface car on ne note aucune différence d'aspect d'une partie de leur surface externe qui laisse supposer qu'elle fût exposée. Toutefois, même si elles étaient totalement recouvertes par l'épiderme, il est probable que leur organisation devait transparaître légèrement, un peu comme chez certains poissons actuels, les Lépidosirénidés par exemple (fig. 2).

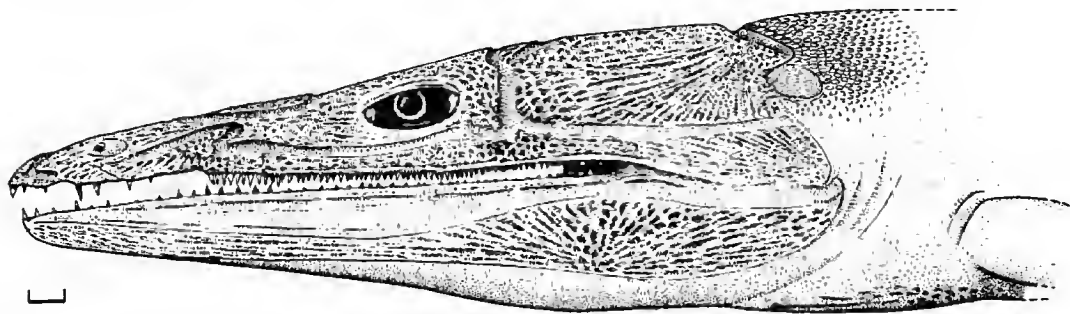


FIG. 2. — *Trematosaurus madagascariensis* Lehman, Trias inférieur, Madagascar. Essai de reconstitution de la tête et de la squamation du tronc en vue latérale, fondée sur le spécimen MAE 3045 (échelle : 10 mm).

#### REMARQUES SUR *Trematosaurus madagascariensis* Lehman

LEHMAN (1961, 1966, 1967, 1979) a décrit à Madagascar sept Trématosaures, *Wantzsaurus elongatus* Lehman, *Lyrosaurus australis* Lehman, *Trematosaurus madagascariensis* Lehman, *Ifasaurus elongatus* Lehman, ?*Aphaneramma* sp. indet., *Tertrema* sp. indet., *Tertremoides ambilobensis* Lehman, et un Rhytidosteïde, *Mahavisaurus dentatus* Lehman [les Rhytidosteïdés étant soit le groupe-frère des Trématosaures, soit inclus dans ces derniers (WARREN & BLACK,

1985)]. COSGRIFF & GARBUTT (1972) avaient suggéré que *Mahavisaurus dentatus* était un synonyme de *Lyrosaurus australis*, mais LEHMAN (1979) avait réfuté cette assertion. HAMMER (1987) reprend à nouveau cette idée sans l'argumenter, mais WARREN & BLACK (1985) conservent la distinction entre les deux genres. Sans reprendre ici les arguments avancés par LEHMAN (1979) et qui restent largement valides, l'examen du matériel publié et inédit de *Lyrosaurus australis* montre clairement les sillons sensoriels très larges et les rangées dentaires simples qui le distinguent de *Mahavisaurus*. En revanche, en ce qui concerne les autres formes, on peut être plus réservé quant au nombre de taxons représentés. *Ifasaurus elongatus* et ?*Aphaneramma* sp. ne sont représentés chacun que par un fragment de toit crânien et que l'on peut tout juste identifier comme appartenant à des Trématosaures. *Tertrema* sp. est identifié à partir d'une extrémité de museau de grande taille [mais de l'ordre de grandeur du crâne figuré ici (fig. 1A; pl. I), dont les sillons sensoriels montrent une commissure ethmoïdienne confluyente avec les sillons supra-orbitaires, comme chez *Tertrema acuta* (SÄVE-SÖDERBERGH, 1936). Quant à *Tertremoides ambilobensis*, l'holotype et unique spécimen, un crâne pratiquement complet, ne diffère de l'holotype de *Trematosaurus madagascariensis* que par des caractères qui peuvent être de l'ordre de la variation individuelle (museau légèrement plus effilé, sillons sensoriels moins profonds). A l'instar de HAMMER (1987), je considère donc *Tertremoides ambilobensis* comme synonyme de *Trematosaurus madagascariensis* et la présence de *Tertrema* sp. dans la faune d'Ambilobe comme très douteuse. Si l'on excepte *Mahavisaurus*, qui serait un Rhytidosteidé, la faune d'Ambilobé ne compterait donc que trois genres de Trématosauridés valides : *Wantosaurus*, *Trematosaurus* et *Lyrosaurus*. Quant au nombre d'espèces, il demeure indéterminé, puisqu'il est bien difficile, dans l'état actuel du matériel et des méthodes de récolte sur le terrain, de distinguer les différences spécifiques (synchroniques ou diachroniques) de la variation individuelle à l'intérieur d'un genre. De manière totalement arbitraire, et dans un souci de simplicité, je ne considérerai dans cette faune qu'une seule espèce du genre *Trematosaurus*, *T. madagascariensis*, à laquelle j'attribue le grand crâne décrit ici, en association avec quelques écailles dorsales (fig. 1). Une reconstitution de ce crâne montre des proportions légèrement différentes de celles de l'holotype de l'espèce (Institut de Paléontologie, MAE 3039) ou du petit crâne de dimensions moyennes décrit par LEHMAN (1979, pl. 2) : région préorbitaire proportionnellement plus longue, pointe du museau plus large, autant de différences comparables à celles que l'on observe entre les jeunes et les adultes de tous les Tétrapodes. En revanche, un caractère est particulièrement surprenant : la présence d'une flexure lacrymale très marquée dans le cours du sillon sensoriel supra-orbitaire (fig. 1A; pl. I, 1, 3). Cette flexure, qui est un caractère plésiomorphe pour les Temnospondyles, est considérée comme très atténuée voire disparue chez les Trématosaures (WARREN & BLACK, 1985). On lie parfois cette disparition à celle du lacrymal chez les Trématosaures, mais *T. brauni* et *T. madagascariensis* conservent un lacrymal qui, généralement, ne porte pas de flexure. Il semble donc qu'elle puisse réapparaître dans ce groupe, soit chez des individus particulièrement âgés (en liaison avec une allométrie de croissance dans les os du museau), soit sous forme d'un aspect de la variation individuelle.

En vue latérale, on constate que les dents du maxillaire sont petites et régulièrement implantées jusqu'au niveau de cette flexure lacrymale. A cet endroit, le bord du maxillaire montre une légère échancrure, en avant de laquelle les dents du maxillaire, puis du prémaxillaire sont plus grandes et plus espacées, voire manquantes. Cette déformation, qui est déjà observable à un moindre degré sur le crâne de l'holotype (MAE 3039) de cette espèce

pourrait être d'ordre fonctionnel, liée au mode de saisie des proies et s'accroissant avec l'âge de l'individu.

Ce crâne est en connexion avec les mandibules, malheureusement mal conservées (pl. I, 2, 3, 4), mais qui montre bien la région symphysaire. On y distingue nettement l'extrémité antérieure d'un sillon sensoriel, jusqu'alors jamais signalé sur la mandibule des Trématosaures, et qui est probablement le sillon mandibulaire (pl. I, 2). Enfin, l'existence d'une large plage dépourvue d'ornementation mais à la surface intensément vascularisée sur la face latérale du dentaire de cette espèce, mais aussi de la plupart des autres Trématosaures, pourrait indiquer qu'il existait là une lèvre molle (fig. 2), permettant peut-être une fermeture plus hermétique de la bouche lors de la plongée. Une telle structure pourrait être particulièrement importante chez des Tétrapodes qui ne possédaient sans doute pas les régulateurs de pression complexes que l'on connaît, par exemple, chez certains Amniotes marins.

### CONCLUSIONS

Ces quelques nouvelles observations sur les Trématosaures du Trias inférieur de Madagascar permettent de préciser certains points de leur morphologie. La présence d'écaillés dorsales est attestée dans ce groupe, mais leur disposition recouvrante n'est pas démontrée. Les écaillés ventrales des Trématosaures et des Capitosaires présentent souvent une petite dépression centrale qui pourrait avoir logé une glande cutanée. Le plus grand crâne connu de *Trematosaurus madagascariensis* est décrit et montre une flexure lacrymale typique, dont l'absence est classiquement considérée comme une synapomorphie des Trématosaures. Cette réapparition d'un caractère primitif, absent chez les individus plus jeunes de la même espèce, peut être due à la dynamique de la croissance du crâne.

### RÉFÉRENCES BIBLIOGRAPHIQUES

- BROILI, F. 1927. — Über die Hautbedeckung der Archegosauridae und Actinodontidae. *Z. dt. geol. Ges.*, **79** : 375-384.
- COLBERT, E., 1955. — Scales in the Permian Amphibian *Trimerorhachis*. *Am. Mus. Novit.*, **1740** : 1-17.
- COSGRIFF, J. W., & N. K. GARBUTT, 1972. — *Erythrobatrachus noonkanbahensis*, a trematosaurid species from the Blina shales. *J. Proc. R. Soc. West. Aust.*, **55** : 5-18.
- CREDNER, 1890. — Die Stegocephalen und Saurier aus dem Rothliegenden Plauen'schen Grundes bei Dresden. *Z. dt. geol. Ges.*, **42** : 240-277.
- DAWSON, J. W., 1863. — Air-breathers of the coal period. Dawson Brothers, London.
- HAMMER, M., 1987. — Palaeoecology and phylogeny of the Trematosauridae. In : Gondwana Six, Stratigraphy, Sedimentology and Palaeontology (G. D. McKenzie edit.). American geophysical Union. *Geophys. Monogr. Series*, **41** : 73-83.
- LEHMAN, J. P., 1961. — Les Stégocéphales de Madagascar. *Annls Paléont. (Vert.)*, **47** : 109-154.
- 1966. — Nouveaux Stégocéphales de Madagascar. *Annls Paléont. (Vert.)*, **52** : 117-139.

- 1967. — Remarques concernant l'évolution des Labyrinthodontes; pp. 215-222 in Problèmes Actuels de Paléontologie (Évolution des Vertébrés). *Colloque int. Cent. natn. Rech. scient.*, Paris, n° 163.
- 1979. — Nouveaux Trématosaures de Madagascar : les Stégocéphales malgaches et leur paléoécologie. *Annls Paléont. (Vert.)*, **56** : 35-53.
- MEYER, H. v., 1858. — Reptilien aus der Steinkohlen-Formation in Deutschland. *Palaeontographica*, **6** : 59-219.
- PANCHEN, A., 1959. — A new armoured amphibian from the Upper Permian of East Africa. *Phil. Trans. R. Soc., London*, (B) **242** : 207-281.
- ROMER, A. S., 1972. — A Carboniferous labyrinthodont amphibian with complete dermal armor. *Kirtlandia*, **16** : 1-8.
- ROMER, A. S., & R. V. WITTER, 1941. — The skin of the rhachitnomous amphibian *Eryops*. *Am. J. Sci.*, **239** : 822-824.
- SÄVE-SÖDERBERGH, G., 1936. — On the morphology of Triassic stegocephalians from Spitzbergen and the interpretation of the endocranium in the Labyrinthodontia. *K. svenska VetenskAkad. Handl.*, **16** : 3-181.
- STEEN, M. C., 1930. — The British Museum collection of Amphibia from the Middle coal measures of Linton, Ohio. *Proc. zool. Soc. Lond.*, **4** : 849-891.
- WARREN, A., & T. BLACK, 1985. — A new rhytidosteid (Amphibia, Labyrinthodontia) from the Early Triassic Arcadia Formation of Queensland, Australia, and the relationships of Triassic Temnospondyls. *J. Vert. Paleontol.*, **5** (4) : 303-327.
- WERNEBURG, R., 1989. — Labyrinthodontier (Amphibia) aus dem Oberkarbon und Unterperm Mitteleuropas-Systematik, phylogenie und biostratigraphie. *Freiberger ForschHeft, C*, **436** : 7-57.
- ZYLBERBERG, L., J. CASTANET & A. DE RICQLÈS, 1980. — Structure of the dermal scales in Gymnophiona (Amphibia). *J. Morphol.*, **165** : 41-54.

PLANCHE I

*Trematosaurus madagascariensis* Lehman, Trias inférieur, Ambodipo, Madagascar. Moulage en élastomère d'un ensemble crâne-mandibule incomplet (MAE 3045) (échelle : 10 mm) : 1, vue dorsale ; 2, vue ventrale de la symphyse mandibulaire et de l'extrémité du museau ; 3, vue latérale gauche ; 4, vue latérale droite, montrant principalement la mandibule.



*PLANCHE I*

PLANCHE II

Écailles d'un Trématosauridé et d'un Benthosuchidé. Trias inférieur de Madagascar (échelle : 10 mm).

- 1 : *Trematosaurus madagascariensis* Lehman, moulage en élastomère d'une partie de la face postérieure du crâne MAE 3045, sur laquelle reposent quelques écailles dorsales de la nuque. Vue d'ensemble du fragment de concrétion (a) et détail des écailles (b).
- 2 : *Wetugasaurus?* sp. Moulage en élastomère de la face ventrale de la ceinture pectorale du spécimen MAE 3011 (figuré par LEHMAN, 1966), montrant quelques écailles ventrales en arrière de l'interclavicule. Vue d'ensemble du fragment de concrétion (a) et détail des écailles (b).

1a



1b



2a



2b





## Microrestes de Sélaciens et autres Vertébrés du Dévonien supérieur du Maroc <sup>1</sup>

par Claire DERYCKE

**Résumé.** — Des restes de Sélaciens ont été découverts dans le Famennien supérieur du Tafilalet (Sud-Est marocain). Cette faune contient des représentants de Phoebodontidae (*Thrinacodus ferox*, *Phoebodus politus*, *Ph. marocensis* nov. sp., *Ph. sp.*, *Ph. ? sp.*), de Protacrodontoidea (*Protacrodus* sp.), de Stethacanthidae (*Stethacanthus thomasi*, *Stethacanthus ? sp. A*, *St. sp. B*), d'Orodontidae (*Orodus varicostatus ?*, *Hercynolepis ? sp.*, *Orodus* sp.) et de Ctenacanthidae (*Ctenacanthus clarki*, *Ct. venustus*, *Ct. sp.*). *Thrinacodus ferox* est également connu dans d'autres gisements du Famennien et du Tournaisien d'Australie, de Chine, de Thaïlande et de France. Ces localités étaient situées dans la zone intertropicale. D'autre part, une spirale dentaire d'Acanthodien (Ischnacanthiforme) a été trouvée.

**Abstract.** — Selachian microremains have been discovered in the Upper Famennian of Tafilalet (southeastern Morocco). This fauna contains representatives of Phoebodontidae (*Thrinacodus ferox*, *Phoebodus politus*, *Ph. marocensis* nov. sp., *Ph. sp.*, *Ph. ? sp.*), Protacrodontoidea (*Protacrodus* sp.), Stethacanthidae (*Stethacanthus thomasi*, *Stethacanthus ? sp. A*, *St. sp. B*), Orodontidae (*Orodus varicostatus ?*, *Hercynolepis ? sp.*, *Orodus* sp.) and Ctenacanthidae (*Ctenacanthus clarki*, *Ct. venustus*, *Ct. sp.*). *Thrinacodus ferox* has been collected in several other Famennian and Tournaisian outcrops from Australia, China, Thailand and France. These localities were located within the intertropical zone. On the other hand, an acanthodian (Ischnacanthiform) dentary spiral has been found.

C. DERYCKE, Université des Sciences et Techniques de Lille Flandres Artois, Sciences de la Terre, Laboratoire de Paléobotanique et URA CNRS 1365, 59655 Villeneuve d'Ascq (France).

### INTRODUCTION

#### A — CONTEXTE GÉOLOGIQUE

L'est de l'Anti-Atlas présente une série marine continue d'âge précambrien à namurien. Les sédiments du Dévonien affleurent largement au nord et à l'ouest du bassin de Tindouf, et sous la forme d'anticlinaux et de synclinaux dans les massifs du Maïder et du Tafilalet (fig. 1 ; HOLLARD, 1967).

1. Contribution n° 61 au PICG 328 « Palaeozoic microvertebrates »,  
In Congrès National de Paléontologie (APF-SGF, Paris 1990). Société géologique de France Edit., p. 39.

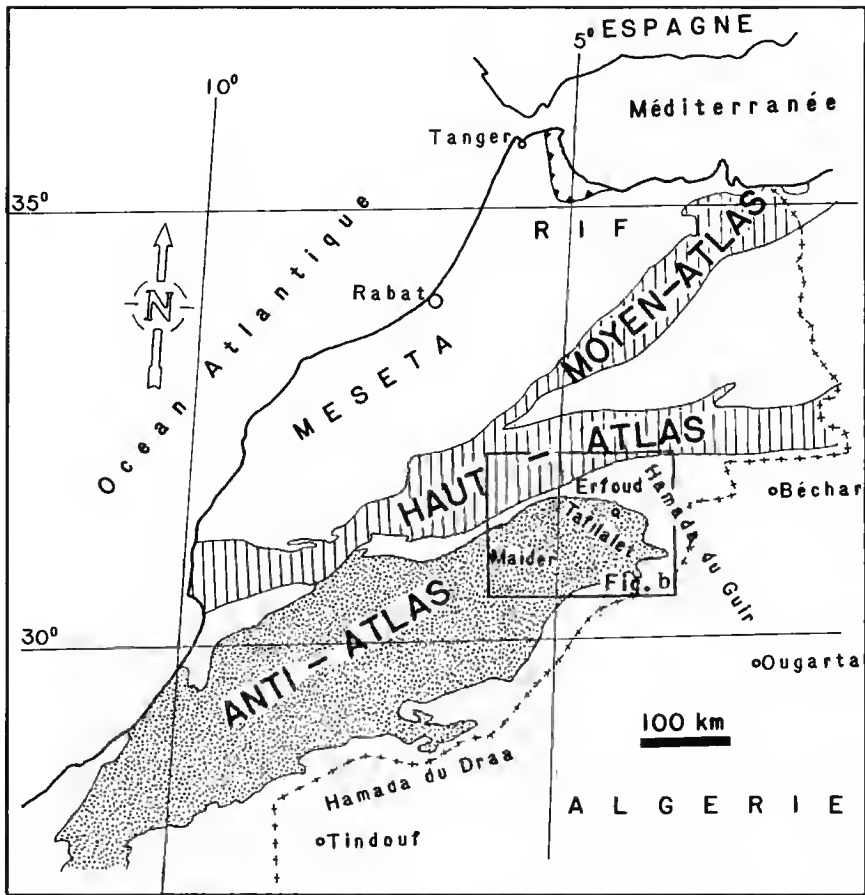


FIG. 1 a. — Carte des grands ensembles structuraux du Maroc, d'après MICHARD (1976; modifié). Les échantillons étudiés proviennent du Massif du Tafilalet à l'extrémité NE de l'Anti-Atlas, à la limite algéro-marocaine.

Des éléments de Vertébrés ont été récoltés dans les formations du Dévonien supérieur (Famennien) du Maïder et du Tafilalet (Sud-Est marocain; fig. 2) par LEHMAN (1975, 1976), LELIÈVRE (1984, 1986) et GOUJET (1984). La majeure partie du matériel étudié est constituée de micro- et macrorestes de Sélaciens (dents, écailles et aiguillons) extraits de la gangue englobant de grandes pièces osseuses de Placodermes. Le Famennien supérieur du Tafilalet contient également des Acanthodiens, des Crossoptérygiens, des Coelacanthes, des Dipneustes et des Paléoniscides non décrits. Les invertébrés sont représentés par des Brachiopodes, des Lamellibranches, des Goniatites, des Trilobites, des Ostracodes et des Conodontes (HOLLARD, 1958).

Le Famennien est caractérisé par le dépôt de calcaires à Céphalopodes qui représente un modèle de faciès très divers tels que les calcaires coquilliers à Brachiopodes, les calcaires crinoïdiques et les calcaires noduleux. La sédimentation au cours du Famennien supérieur est

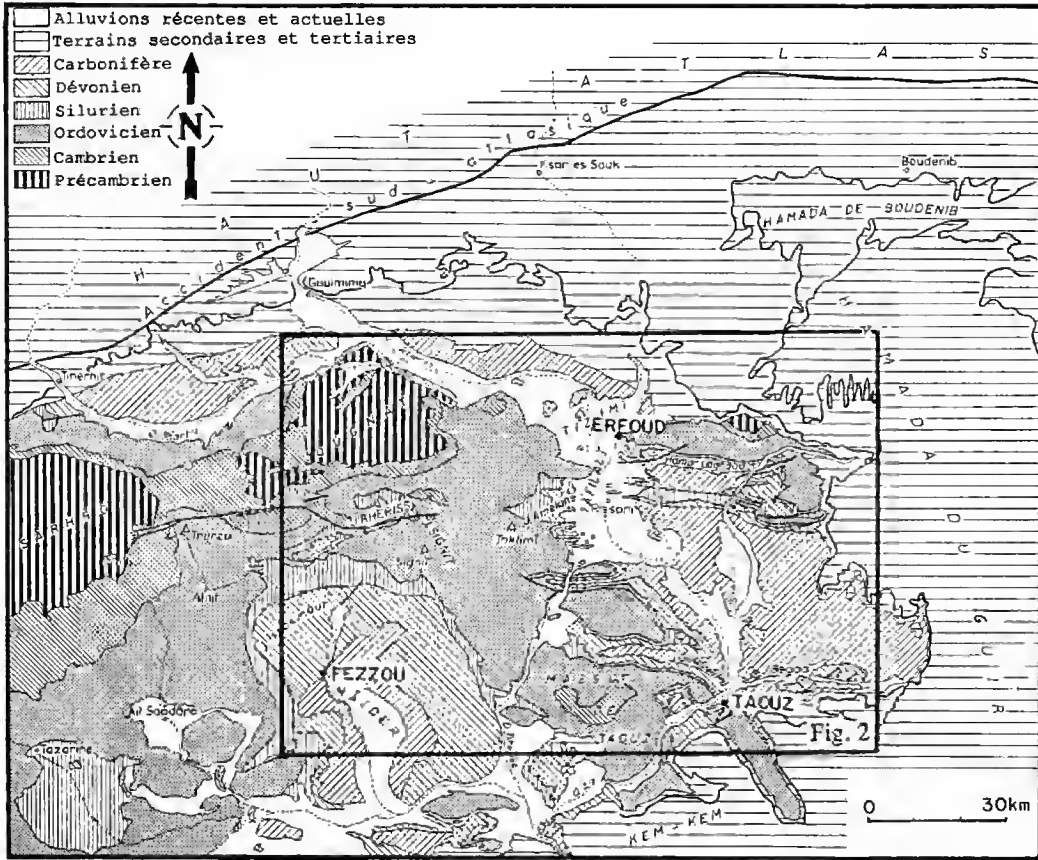


FIG. 1 b. — Carte géologique du Paléozoïque du Tafilalet (d'après HOLLARD, 1958). Cette carte a été établie à partir des cartes géologiques au 1/500 000 de Ouarzazate et de la Hamada-du Guir.

plus uniforme que celle des étages précédents. Elle est représentée essentiellement par des marnes et des calcaires noduleux ou Pierre d'Erfoud (WENDT *et al.*, 1984). Ce sont les nodules calcaires qui contiennent généralement les restes de poissons associés aux invertébrés.

### B — GÉNÉRALITÉS SUR LES MICRORESTES DE SÉLACIENS

A ce jour, les plus anciens restes de Chondrichthyens identifiés sont des écailles dont la couronne est constituée de plusieurs odontodes. Il s'agit de *Mongolepis rozmanae* Karatajute-Talimaa récolté dans des niveaux du Silurien inférieur de Mongolie (KARATAJUTE-TALIMAA *et al.*, 1990). Des écailles placoides, *Elegestolepis grossi* Karatajute-Talimaa, considérées comme des lepidomoria unitaires au sens d'ØRVIG et STENSIÖ, ont été trouvées dans du Ludlow supérieur ou Pridoli d'Asie centrale (KARATAJUTE-TALIMAA, 1973).

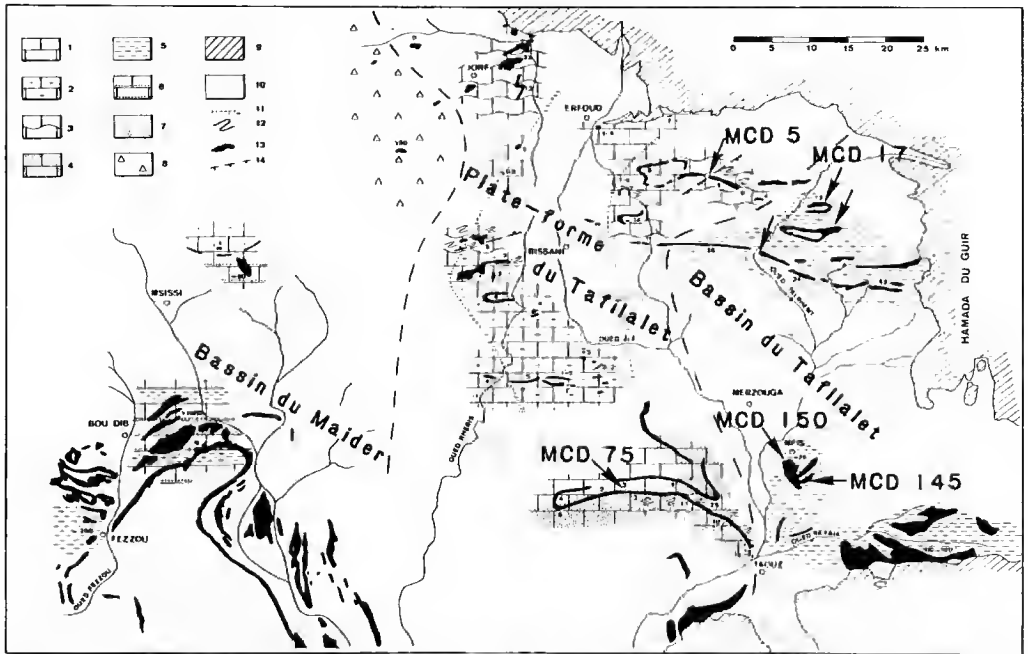


FIG. 2. — Distribution des faciès du Famennien inférieur dans le Tafilalet et le Maïder (d'après WENDT *et al.*, 1984) et position des échantillons MCD.

MCD 5 et 17 : Hamar Laghdad ; MCD 150 : Mfiss ; MCD 145 : Jbel Debouâa ; MCD 75 : Jbel Amessaoui ; MCD 104 : entre le Jbel Amessaoui et le Jbel Tirert, n'est pas localisé précisément. 1 : calcaires à céphalopodes ; 2 : calcaires crinoïdiques ; 3 : calcaires noduleux ; 4 : lumachelles à Brachiopodes riches en quartz ; 5 : marnes et argiles ; 6 : turbidites calcaires ; 7 : turbidites sableuses ; 8 : dépôts grossiers de débris-flows ; 9 : Crétacé supérieur et Tertiaire (Hamada) ; 10 : anté-Dévonien supérieur, Carbonifère et Quaternaire ; 11 : limites des zones émergées au Famennien inférieur ; 12 : slumps et dépôts naissants de débris-flows ; 13 : affleurements de Dévonien supérieur ; 14 : failles du Dévonien supérieur et dyckes neptuniens.

D'autre part, ont été récoltées des écailles de Sélaciens dans le Lochkovien supérieur (Dévonien inférieur) de Bretagne (Saint-Cénéry ; GOUJET, 1976). Les plus anciennes dents de Sélaciens de type « *Cladodus* » ont été décrites dans le Dévonien moyen et supérieur (AGASSIZ, 1844). Les premiers Néosélaciens proviennent du Carbonifère inférieur de Grande-Bretagne (DUFFIN and WARD, 1983), mais il existe des dents et des écailles dans le Dévonien moyen d'Australie qui rappellent celles des Néosélaciens : les dents hexanchiformes de *Mcmurdodus* (TURNER and YOUNG, 1987). Les Néosélaciens seraient donc apparus sans doute à l'anté-Dévonien moyen.

#### C — IMPORTANCE DES MICRORESTES DE SÉLACIENS EN GÉOLOGIE ET EN PALÉONTOLOGIE

Les éléments paléontologiques de Vertébrés, trouvés dans les résidus d'attaque acide et accompagnant les Conodontes, se limitent souvent, dans les périodes du Silurien et du

Dévonien, à des microrestes de poissons tels que des écailles ou des dents. De par leur abondance, leur diversité et leur coexistence avec les Conodontes, ils peuvent constituer des marqueurs biostratigraphiques. L'absence d'individus complets rend difficile l'approche taxonomique traditionnelle des microrestes. Trois types d'analyses sont envisageables : la description codée de chaque élément comme l'ont envisagée TWAY et ZIDEK (1983), le choix d'une parataxonomie telle qu'elle est utilisée pour les Conodontes, et enfin le travail en nomenclature ouverte. La solution présentée est mixte puisqu'ont été utilisées les deux dernières méthodes.

L'étude de restes dissociés se doit d'être prudente dans ses conclusions. Dans le cas des dents, il faut tenir compte des phénomènes de variabilité suivant la position de l'élément dentaire dans la bouche. En effet, il existe des hétérodontries dignathique (mâchoires supérieure ou inférieure), monognathique (positions antérieure ou latérale sur une même mâchoire), ontogénique (selon l'âge de l'individu) et gynandrique (selon le sexe de l'animal) (COMPAGNO, 1970). D'autre part, l'alimentation peut jouer un rôle dans les phénomènes de convergence. Quant aux écailles, leur morphologie varie en fonction de leur position sur le corps (REIF, 1974).

Les ichthyolithes, ou microrestes de poissons, peuvent révéler des informations biologiques. Ainsi des types dentaires correspondant à des adaptations trophiques ont été définis. Mais « l'hyperspécialisation dentaire ne constitue pas .... un obstacle à l'exploitation d'un large spectre trophique » (CAPPETTA, 1986). En outre, il semble possible de cerner l'écologie de l'animal d'après ses écailles (REIF, 1982).

## ÉLÉMENTS DE DESCRIPTION DES DENTS, DES ÉCAILLES ET DES AIGUILLONS

### A — LES DENTS

#### 1. Généralités

La denture des Sélaciens est polyphyodonte. En effet, coexistent dans la bouche des Sélaciens plusieurs rangées de dents, mais également plusieurs files. La sollicitation du nombre de rangées de dents est fonction du type dentaire. Quand les rangées fonctionnelles tombent, leur remplacement est assuré par les suivantes. Une dent est constituée de deux parties : une couronne de dentine recouverte par une substance très dure brillante et une base (ou racine) qui contient les canaux vasculaires. La dent est reliée à la mâchoire par un tissu de connexion. Les dents de Chondrichthyens sont des denticules dermiques spécialisés (ZANGERL, 1981).

Dans notre matériel, de nombreuses formes de dents ont été repérées. Il s'agit essentiellement de dents de type « cladodonte », c'est-à-dire à une seule cuspide principale. Il a été possible de rapporter certaines dents à des espèces déjà nommées ; quant aux autres, elles n'ont été déterminées qu'au niveau du genre.

Il est difficile de savoir si une dent provient d'une mâchoire supérieure ou inférieure, mais on peut tout de même l'orienter en distinguant, d'une part, la partie coronale de la partie basale et, d'autre part, la face labiale, en général, convexe de la face linguale concave (fig. 3).

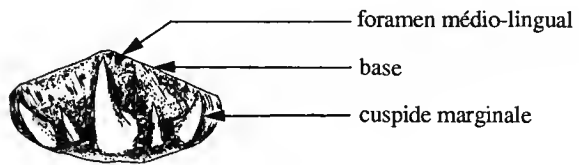
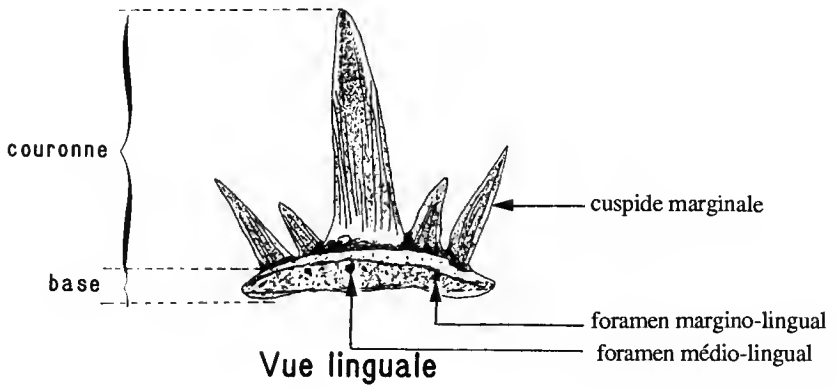
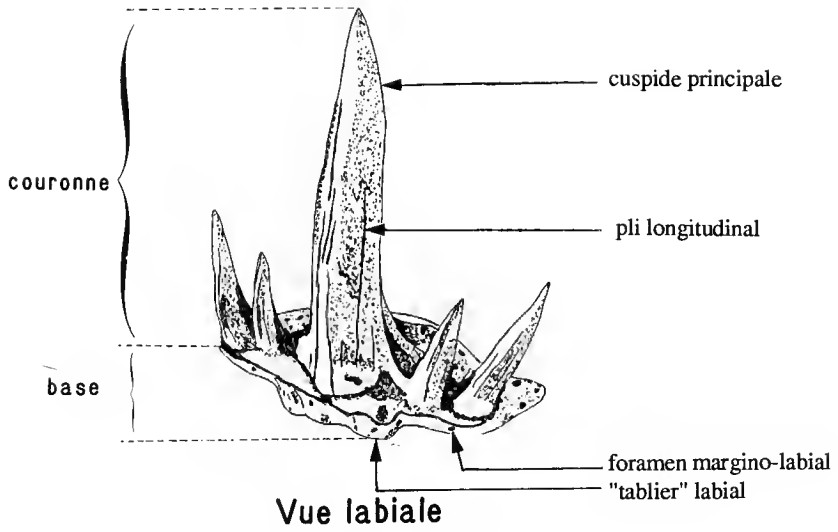


FIG. 3. — Description et orientation des dents.

## 2. La couronne

Les dents des Sélaciens paléozoïques étudiés sont multicuspidés, ce qui pourrait correspondre à un régime alimentaire non spécialisé (THIES and REIF, 1985). Les cuspides sont généralement recourbées vers le côté lingual, ce qui assure la rétention des proies. L'ornementation des cuspides, lorsqu'elle existe, se limite à des plis longitudinaux. Il est intéressant de noter l'échancrure existant entre les pointes. Un autre caractère mérite d'être relevé : l'existence ou l'absence d'un « tablier », ici non recouvert d'émail, sur la face labiale (fig. 3), qui jouerait un rôle dans la protection de la « racine » (THIES and REIF, 1985).

## 3. La base

La fixation et la vascularisation dentaire sont assurées par la « racine » ou base. La base de la dent présenterait plus de constance que la couronne dans un groupe donné mais elle peut varier aussi (CASIER, 1947). On peut, pour les bases, définir quatre stades structuraux chez les Euselachii (CASIER, 1947) suivant la disposition des foramens et des sillons (fig. 4). Dans l'étude présentée, deux types ont été rencontrés. Le type anaulacorhize est caractérisé par une disposition sporadique des foramens sur la base ; par contre on décèle un début d'organisation des foramens dans le stade hémiaulacorhize où deux pores plus importants en taille se disposent au milieu des faces basale et linguale. Les différents stades définis par CASIER ne s'appliquent en principe qu'aux Néosélaciens, en dehors du stade anaulacorhize utilisé pour les Hybodontes et les Ctenacanthes. Pour ne pas alourdir la terminologie, j'ai choisi de reprendre la classification de CASIER même pour des dents n'appartenant pas aux Néosélaciens.

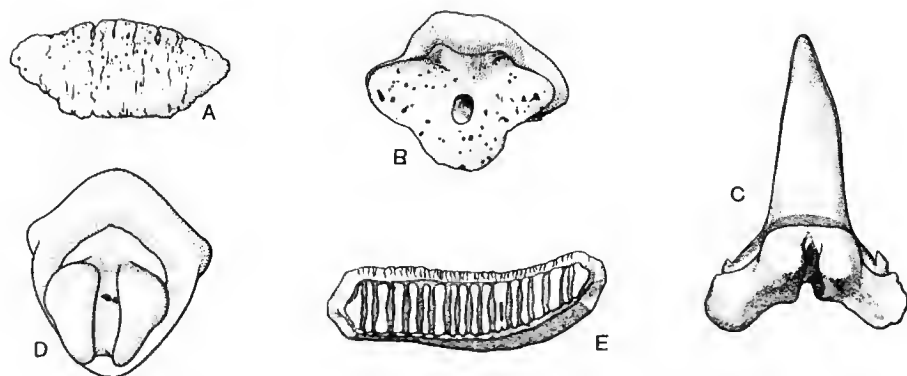


FIG. 4. — Stades de vascularisation des racines des dents de Sélaciens (d'après CAPPETTA, 1987). A, stade anaulacorhize (*Sphenodus* sp.); B, stade hémiaulacorhize (*Nebrius*); C, stade holaulacorhize (*Chaenogaleus*); D, stade holaulacorhize (*Raja*); E, stade polyaulacorhize (*Igdabatis*).

#### 4. Données biométriques

CASIER (1947) a établi différentes corrélations entre les grandeurs mesurées sur les dents. Il considère comme constant, chez un même individu, le rapport de la hauteur de la couronne à la hauteur de la racine ( $hc/hr$ ), mais il n'est pas constant au sein d'une population. Un autre rapport qui lui semble important est celui entre la longueur et la largeur de la face basilaire ( $Lb/lb$ ); ce rapport peut varier sensiblement en fonction de la position de la dent sur la mâchoire. D'autre part, la position sur la mâchoire détermine l'augmentation de la hauteur de la couronne corrélée à celle de l'échancrure adjacente. Je me suis aussi intéressée à la valeur des angles entre la cuspside principale et les cuspsides marginales, mesurée dans le plan transversal.

#### 5. Histologie

Chez les Elasmobranches, la couronne de la dent est constituée d'une cavité pulpaire centrale recouverte d'orthodentine. Il subsiste une controverse au sujet de la nature de la couche la plus externe. L'émail, au sens où on l'entend chez les Mammifères et les Reptiles, existe-t-il chez les Elasmobranches (CAPPETTA, 1987)? On utilisera, ici, le terme de tissu énaméloïde pour désigner le tissu le plus externe. Quant à la base, son principal constituant est de la dentine trabéculaire ou ostéodentine. On distingue deux types de dents suivant leur histologie : les types orthodonte et ostéodonte. Dans le premier cas, la cavité pulpaire est, au cours du développement, comblée par de l'orthodentine, tandis que dans une dent ostéodonte, il y a remplissage par de l'ostéodentine (fig. 5). Le type orthodonte est le plus courant. L'invasion de la cavité pulpaire par de la dentine trabéculaire est, quant à elle, un phénomène relativement rare. Pour étudier l'histologie d'une dent, on pratique au minimum trois coupes perpendiculaires entre elles (fig. 6). La terminologie choisie pour chaque plan de coupe se réfère au plan de symétrie plus ou moins bilatérale de la dent. La coupe transversale (plan a) permet de visualiser les stries de croissance des cuspsides. La coupe sagittale (plan b) montre, en plus des stries de croissance, les fibres de Sharpey. La coupe à travers la base (plan c) permet de voir le réseau de canaux vasculaires et la géométrie de la base de la dent. Certaines coupes ont été observées par cathodoluminescence (DERYCKE, 1990).

L'histomorphologie est indispensable pour la détermination taxonomique, néanmoins elle ne peut être considérée comme un critère unique (CAPPETTA, 1987).

### B — LES ÉCAILLES

#### 1. Généralités

La fonction des denticules dermiques tels que les écailles et les aiguillons semble être la protection contre les parasites externes, les prédateurs ou les chocs et frottements sur le fond marin. La forme et l'imbrication des denticules varient suivant l'éthologie et semblent liées à l'hydrodynamique des animaux (REIF, 1982).

REIF (1978*b*) définit trois types d'écailles chez les Requins : les formes placioïde (simple sans croissance), hybodontide (écaille complexe croissante ou non avec une cuspside haute) et

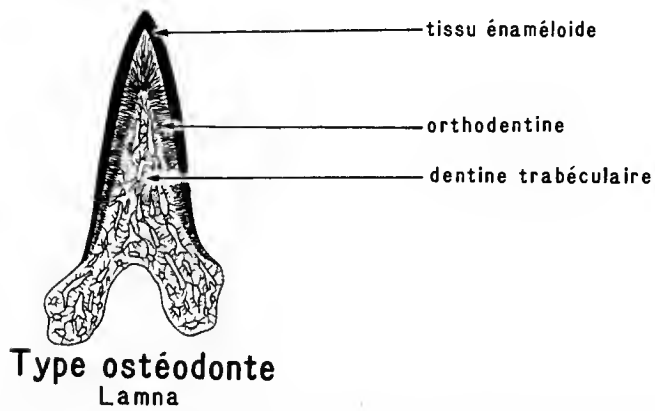
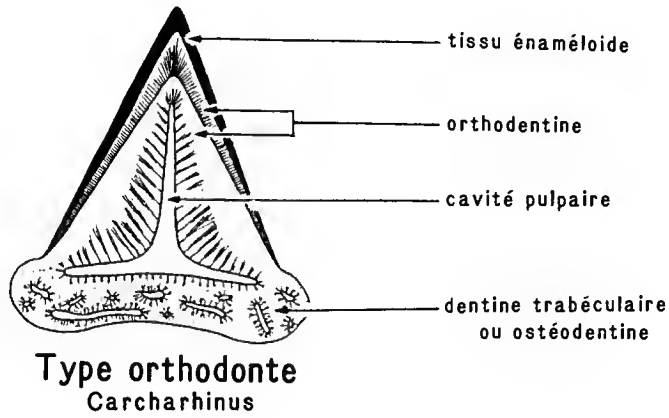
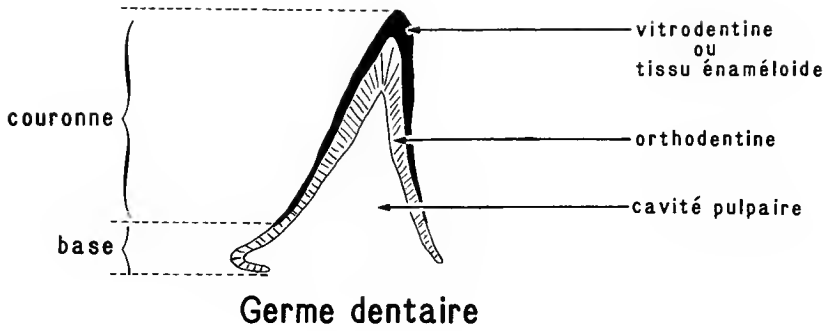


FIG. 5. — Histologie des dents de Sélaciens (d'après THOMASSET, 1930 in CAPPETTA, 1987). Au cours de la croissance du germe dentaire (in ZANGERL, 1981), la cavité pulpaire se remplit, de façon centripète, soit de dentine (type orthodonte), soit d'ostéodentine (type ostéodonte).

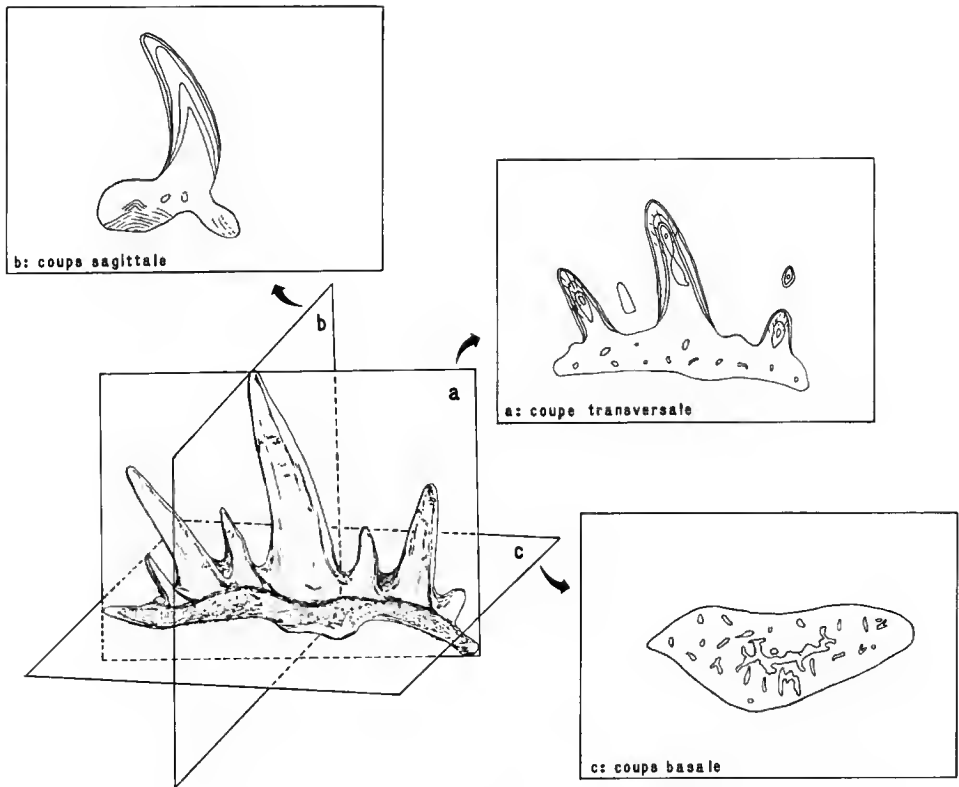


FIG. 6. — Disposition des plans de coupe d'une dent.

cténacanthide (écaille complexe croissante ou non). Il distingue des denticules qui ne grandissent pas mais sont remplacés par des denticules plus larges, et des écailles composées croissant par juxtaposition de nouveaux denticules non remplacés (REIF, 1978a). Chez *Orodus*, il existe des écailles agrégées qui sont remplacées (ZANGERL, 1968).

Sur un même individu, on peut trouver des écailles de complexité différente, aussi bien des formes considérées comme primitives que des structures dites évoluées (ZANGERL, 1981). Des écailles composées croissantes et des écailles unicuspidées non croissantes cohabitent (REIF, 1978b). Chez certains poissons, les lepidomoria simples sont concentrés sur la peau du ventre, les agrégats de complexité modérée se répartissent sur les flancs et les écailles composées très complexes, se localisent sur la partie dorsale du corps (ZANGERL, 1981). Donc pour ZANGERL, la distinction qu'établit REIF n'est peut-être pas aussi fondamentale.

Les écailles composées sont beaucoup plus répandues chez les Chondrichthyens paléozoïques que chez les actuels (ZANGERL, 1981). Pour STENSIÖ (1962) et GROSS (1973), les denticules placoides des actuels seraient dérivés de formes complexes (*in* ZANGERL, 1981). Cette hypothèse est aujourd'hui infirmée par la découverte d'écailles placoides simples très anciennes

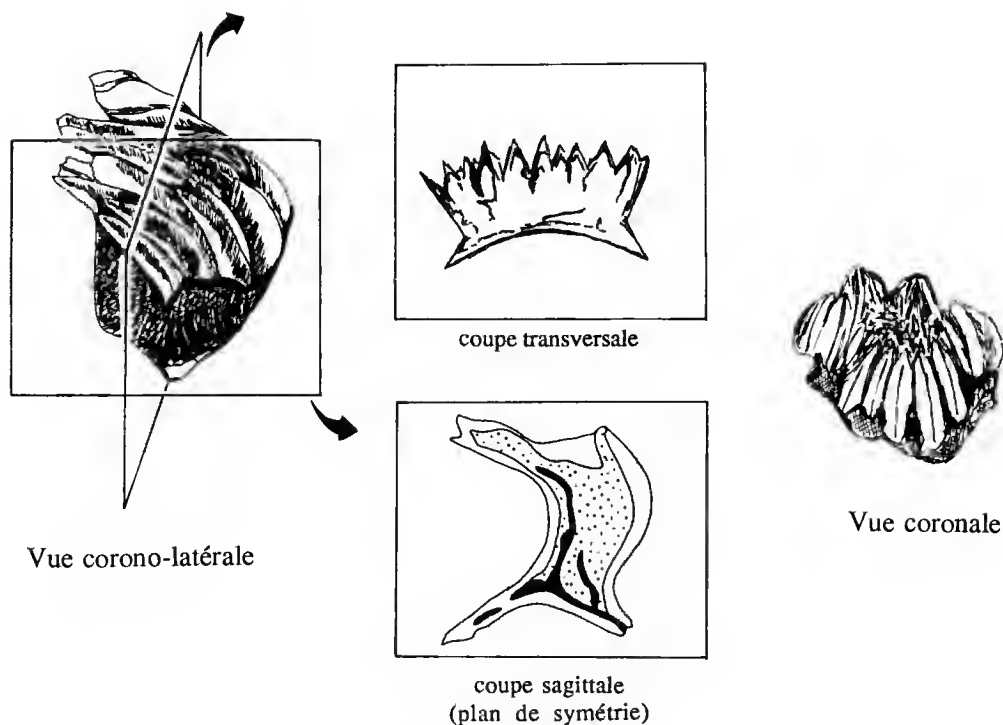


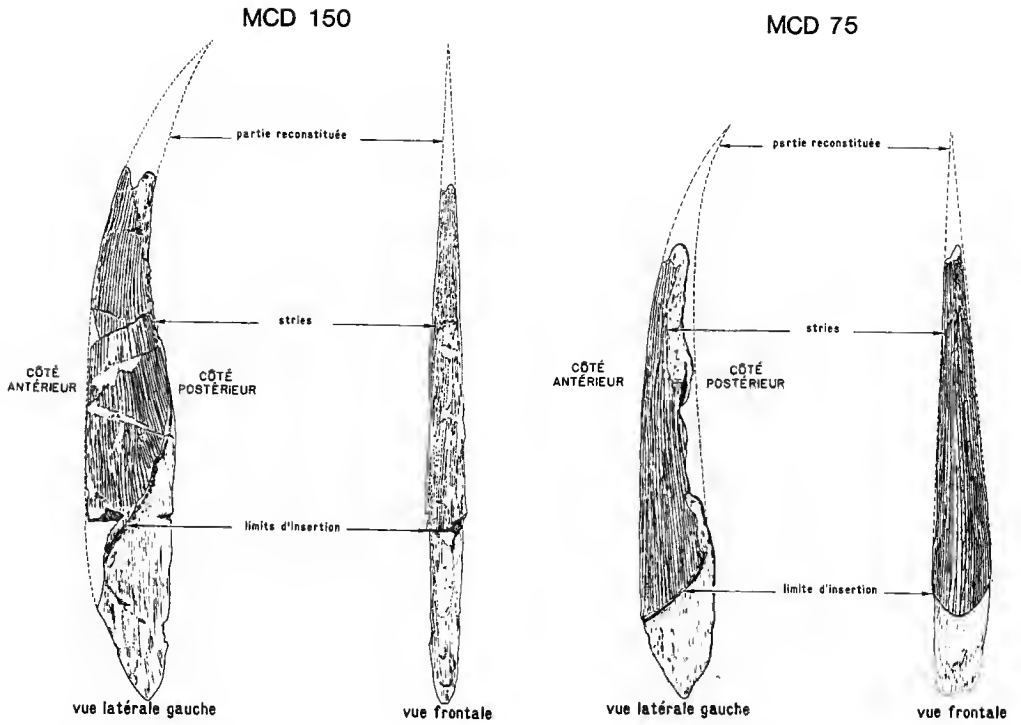
FIG. 7 — Orientation d'une écaille et disposition des plans de coupe. L'exemple présenté est celui d'une écaille cyclomorale. La convexité de l'écaille en vue latérale indique le côté frontal de l'animal.

(KARATAJUTE-TALIMAA, 1973). Ainsi, on ne peut plus considérer les écailles cyclomorales complexes comme primitives mais on doit au contraire envisager le fait que les écailles placoides simples sont antérieures et d'âge au minimum silurien supérieur (*Elegstolepis*). Cette idée peut cependant être modulée à la lumière d'une nouvelle découverte par KARATAJUTE-TALIMAA *et al.* (1990) d'écailles de type polyodontode, non croissantes, dans le Llandovery (Silurien inférieur) de Mongolie (*Mongolepis*). Les plus anciennes écailles croissantes datent du Dévonien inférieur et moyen (GROSS, 1973).

## 2. Éléments de description

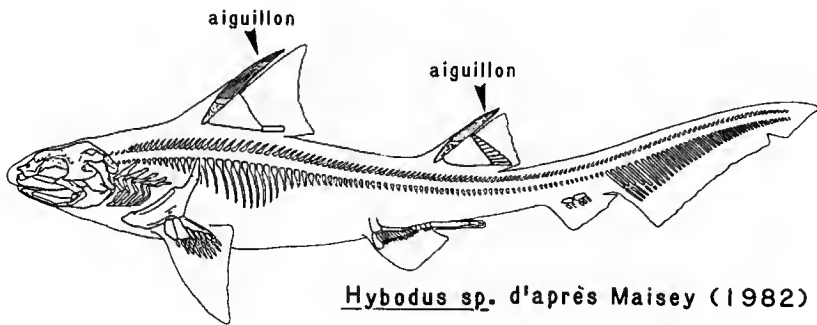
On distingue, sur une écaille, une couronne, un col et une base (fig. 7). Dans le cas d'une écaille cyclomorale, un denticule dermique du corps présente un bord frontal convexe orienté vers l'avant du corps et un bord dorsal concave. Par contre, une écaille de la tête présente des « unités » verticales disposées sur une base large (GOUJET, comm. orale).

Deux coupes ont été effectuées : une coupe transversale et une coupe sagittale pour visualiser la géométrie de l'écaille et la disposition des flammèches. Observée de dessus (vue coronale), la couronne a un contour elliptique (fig. 7).



A

5 cm



B

FIG. 8. — Éléments de description des aiguillons de *Ctenacanthus* (A, mêmes spécimens que sur les planches IV et V) comparés à ceux d'*Hybodus* d'après MAISEY (1982) (B).

Comme la dent, l'écaille prend naissance à l'interface ectoderme-mésoderme. Elle est constituée d'une base d'os cellulaire et d'une couronne d'orthodentine recouverte de tissu énaméloïde. La croissance s'effectue toujours de manière centripète. La limite base-couronne est souvent bien marquée par une mince rainure sans tissu énaméloïde ; on parle de cou ou de collet.

### C — LES AIGUILLONS

Les aiguillons sont considérés comme des denticules dermiques dérivés, uniques et énormes (MARKERT, 1896). Ils sont construits sur un même plan structural chez tous les Chondrichthyens phalacanthes (MAISEY, 1975).

Un aiguillon comporte deux parties séparées par une limite d'insertion oblique : l'une, ornementée de rides et de sillons, est externe au corps, tandis que l'autre, plus lisse, est insérée dans les chairs. Isolé, un aiguillon peut être orienté : il présente un bord frontal ou d'attaque, convexe, et un bord postérieur concave (fig. 8).

Les taxa sont distingués suivant l'ornementation mais aussi suivant l'histologie : le manteau externe porte une couche de vitrodentine et produit l'ornementation d'un tronc interne. La présence ou l'absence de dentine trabéculaire dans la couche externe du tronc et dans le manteau, mais aussi le détail de la structure de la dentine trabéculaire sont déterminants (ZANGERL, 1981).

Les aiguillons de Sélaciens auraient un rôle essentiellement défensif. D'autre part, des études d'hydrodynamique ont été effectuées par MAISEY (1979) afin de connaître la distribution des tourbillons à l'arrière de l'aiguillon. Dans le cas d'un cylindre, le flux d'eau reste symétrique ; il est asymétrique pour un aiguillon de section transversale triangulaire. L'asymétrie s'inverse régulièrement à l'arrière de l'aiguillon lorsque le flux incident est maintenu dans la même direction. Cette répartition des forces de friction aurait peut-être été utilisée par l'animal pour faciliter sa progression.

### RÉFÉRENCES DU MATÉRIEL

Le matériel appartient aux collections du Muséum national d'Histoire naturelle, Institut de Paléontologie. MCD indique le lieu d'origine qui est le Maroc. Les microrestes ont été trouvés dans la gangue d'échantillons numérotés en gras.

**MCD 5** : *Dunkleosteus marsaisi* Lehman 1956 toit crânien accompagné de MCD 165-166-167-170-171-172-173-174-175-176-177-186 qui sont des dents, de MCD 179-181-182-183-184-185-187 qui sont des écailles et de MCD 188 qui est un os dentigère. — **MCD 17** est accompagné de MCD 164-168 qui sont des dents. — **MCD 75** : *Ctenacanthus venustus* aiguillon avec MCD 163 (dent). — **MCD 104** sont des dents. — **MCD 145** est un aiguillon. — **MCD 150** est un aiguillon avec MCD 169 (dent) et MCD 178 (écaille).

*SYSTÉMATIQUE*

(Classification de ZANGERL, 1981)

Classe CHONDRICHTHYES

Ordre ORODONTIDA Zangerl, 1981

Famille ORODONTIDAE De Koninck, 1878A

Genre **ORODUS** Agassiz, 1838

ESPÈCE-TYPE : *O. cinctus* Agassiz, 1838 ; Carbonifère, Angleterre.

**Orodus varicostatus** ? St-John and Worthen, 1875

(Pl. I, 2)

*Orodus cinctus* Lehman, 1977, pl. IX, fig. A et B.

MATÉRIEL : Récolté entre le Jbel Amessaoui et le Jbel Tirert ; plate-forme du Tafilalet. MCD 104 (dents).

DESCRIPTION

Le spécimen a déjà fait l'objet d'une publication par LEHMAN (1977) : « Les dents ont une couronne à paroi plissée seulement sur les bords, elles sont allongées, avec un tubercule médian à peine marqué » (pl. XI, A et B). LEHMAN les rapproche d'*Orodus cinctus*. En coupe, elles présentent une couronne de dentine compacte et une base osseuse vascularisée. Je les rapprocherais plutôt d'*Orodus varicostatus* de par l'ornementation et la forme de la couronne. En effet, chez ce genre, les plis sont peu marqués et partent de la base. De plus, il n'y a pas de ligne de crête longitudinale.

**Orodus** sp.

(Pl. I, 1)

MATÉRIEL : Jbel Amessaoui ; plate-forme du Tafilalet. MCD 163 (dent) avec l'aiguillon MCD 75.

DESCRIPTION

La dent MCD 163 est composée de trois tubercules dont deux sont latéraux et minimes, de part et d'autre d'une tubérosité centrale plus forte. Ces tubercules sont caractérisés par des

plis convergents au sommet où ils sont peu accentués. De minuscules tubercules frangent les bords externes de la dent. La surface basale est concave.

### Genre **HERCYNOLEPIS** Gross, 1973

ESPÈCE-TYPE : *H. meischneri* Gross, 1973 ; Dévonien supérieur, Allemagne.

#### **Hercynolepis** ? sp. (Pl. III, 3 ; fig. 9)

Ce genre n'est connu que par des denticules composés de type *Orodus greggi* du point de vue de leur structure microscopique et de leur apparence externe.

MATÉRIEL : Hamar Laghdad ; plate-forme du Tafilalet. MCD 179 (écaille) avec MCD 5 (toit crânien de *Dunkleosteus marsaisi* Lehman, 1956).

AGE : Famennien ; zone à *Palmatolepis rhomboidea* ou à *P. marginifera* (fig. 19).

#### DESCRIPTION

Cette écaille peut être rapprochée de *Hercynolepis*, déjà signalée par Gross (1973, Taf. 33, 13, 14 et 15) comme une écaille cladodonte. Les flammèches de la couronne s'alignent sur deux files. Chaque lepidomorium présente une pointe plus ou moins effilée orientée vers l'arrière.

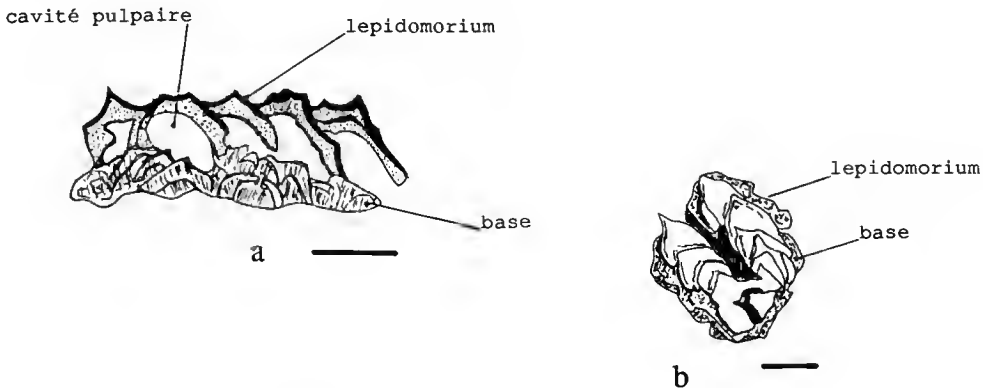


FIG. 9. — *Hercynolepis* ? sp. avec MCD 5 (toit crânien de *Dunkleosteus marsaisi* ; voir pl. III, 3) (échelle : 0,2 mm) : a, correspond à une coupe de ce type d'écaille décrit par GROSS (1973) ; on y observe une succession de cavités ; la surface de chaque « unité » présente des crênelations (MCD 189). b, représentation morphologique tracée à partir d'une photo prise au MEB ; la couronne est constituée d'une succession de lepidomoria présentant chacun une pointe orientée vers l'arrière de l'animal (MCD 179).

Ordre EUSELACHII Hay, 1902

Superfamille CTENACANTHOIDEA Zangerl, 1981

Famille PHOEBODONTIDAE Williams, 1979

Genre THRINACODUS St-John and Worthen, 1875

ESPÈCE-TYPE : *T. nanus* St-John and Worthen, 1875 ; Carbonifère, Amérique du Nord.

***Thrinacodus ferox*** (Turner, 1982)

(Pl. I, 3)

MATÉRIEL : Oued Chebbi ; bassin du Tafilalet. MCD 164 (dent) avec MCD 17.

AGE : Famennien supérieur ; zone à *Palmatolepis marginifera* à zone à *P. costatus* (fig. 19).

#### DESCRIPTION ET DISCUSSION

Ce sont typiquement des denticules à trois grandes cuspides en forme de crochet. La base est longue en direction labio-linguale et quadrangulaire, avec un pore sur la face supérieure.

Cette forme a été repérée dans le Famennien et le Tournaisien d'Australie par TURNER (1982-1983) et attribuée au genre *Harpagodens*. Depuis, elle a été rapprochée de *Thrinacodus* (S. TURNER comm. orale ; *in* LONG, 1990). Des dents de *Thrinacodus* ont également été récoltées dans le Tournaisien de l'Avesnois (Ardenne ; CRASQUIN, 1984), dans le Famennien supérieur de Chine (WANG and TURNER, 1985), de Pologne (GINTER, 1990) et de Thaïlande (LONG, 1990). La découverte du Maroc étend donc considérablement l'aire géographique du genre (fig. 20).

La position de ce type de restes n'est pas fixée. Outre son rôle dans la dentition, il a été évoqué un éventuel rôle de denticule branchial.

Genre PHOEBODUS St-John and Worthen, 1875

ESPÈCE-TYPE : *P. sophiae* St-John and Worthen, 1875 ; Dévonien moyen, Amérique du Nord.

***Phoebodus politus*** Newberry, 1889<sup>1</sup>

(Pl. I, 6)

MATÉRIEL : Mfis ; bassin du Tafilalet. MCD 169 (dent) avec l'aiguillon MCD 150.

1. Cette espèce a été rebaptisée *Ph. gothicus* Ginter M. (« Late Famennian shark teeth from the Holy Cross Mts, Central Poland » *in Acta Geologica Polonica*, vol. 40, n° 1-2 : 69-81, Warszawa 1990). Mais GINTER s'est en partie basé sur des données inédites que je lui avait confiées. Ceci étant écrit, cette création d'espèce me paraît justifiée. En effet, sur *Ph. politus*, le bouton situé sur la base est bilobé, alors qu'il ne l'est pas sur *Ph. gothicus*).

## DESCRIPTION

Ces deux dents sont rapprochées de celles qui ont été décrites par GROSS (1973, Taf. 34 : 12-22). Elles possèdent trois cuspidés en forme de S (vues latéralement), disposées en éventail, largement séparées et de même grandeur. Trois plis ornent la face labiale de chaque cuspidé. Le plan de la couronne forme avec le plan de la base un angle de  $60^{\circ}$  ; les cuspidés surplombent la base. Cette dernière est de forme triangulaire. On note la présence d'un important foramen sur la partie coronale de la « racine », de même que sur la même face existe un fort bombement ou bouton (fig. 18), caractéristique du genre.

### ***Phoebodus marocensis* nov. sp.**

(Pl. I, 4, 7, 8 ; fig. 10)

DERIVATIO NOMINIS : Le nom d'espèce fait référence au pays d'origine.

MATÉRIEL : Hamar Laghdad ; plate-forme du Tafilalet. Respectivement MCD 165, MCD 166 et MCD 167 (dents) avec MCD 5 (toit crânien de *Dunkleosteus marsaisi*).

HOLOTYPE : MCD 165 (pl. I, 4).

DIAGNOSE : L'espèce est caractérisée par la forme spatulée des pointes des cuspidés.

AGE : Famennien supérieur ; zone à *Palmatolepis rhomboidea* ou à *P. marginifera* (fig. 19).

## DESCRIPTION

La couronne comprend cinq cuspidés d'aspect assez globuleux avec une section ovale dont le grand axe est orienté labio-lingualement (fig. 18). Les cuspidés sont en position verticale, c'est-à-dire formant un plan nettement perpendiculaire par rapport au plan de la base. Les cuspidés marginales divergent de la cuspidé principale. La première cuspidé marginale forme un angle moyen de  $24^{\circ}$  avec la cuspidé principale alors que l'on mesure un angle moyen de  $38^{\circ}$  pour la deuxième cuspidé marginale. En vue linguale (pl. I, 8), les plis (en moyenne treize) convergent vers le haut et en direction de l'axe de chaque élément de la couronne. Quant aux dix plis de la face labiale (pl. I, 4), ils sont longitudinaux, mis à part les plus latéraux qui convergent vers le haut où ils constituent ainsi un surplomb. D'autres plis, encore plus latéraux, issus de la face labiale près de la base, et passant sur la face linguale, délimitent une sorte de spatule ou de mètreplat à la partie sommitale des cuspidés (fig. 7). Les plis sont saillants et alternent avec des sillons larges.

La base est concave, ce qui semble être une caractéristique de la famille d'après WILLIAMS (1985). Son contour dessine une demi-ellipse dont le grand axe passe par la face labiale. On note la présence d'un torus lingual ainsi que d'un léger bourrelet labial localisé essentiellement sous la cuspidé principale. La base est ponctuée aussi bien labialement et lingualement que basalement par des foramens disposés au hasard ; il s'agit donc d'une base de type anaulacorhize, considérée comme assez primitive (CASIER, 1947).

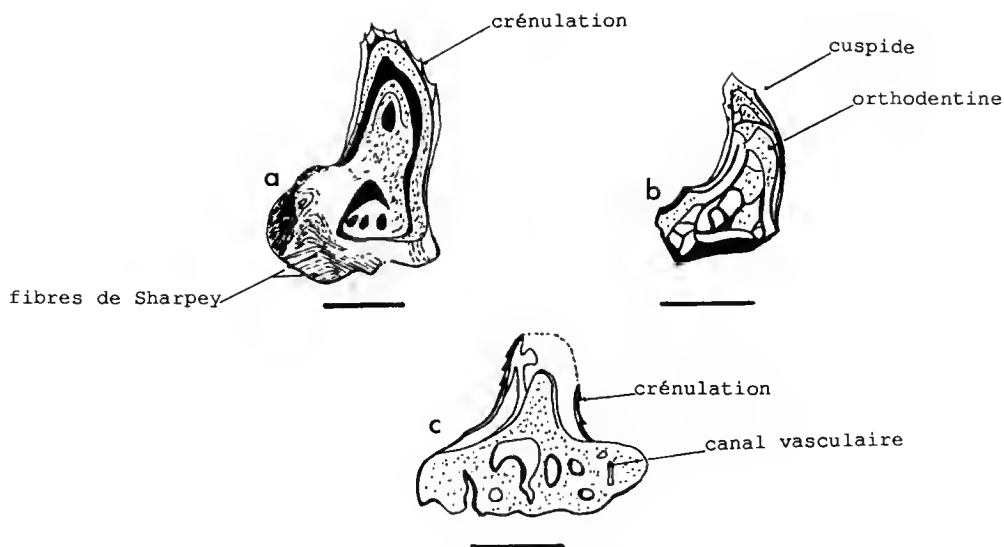


FIG. 10. — *Phoebodus marocensis*; avec MCD 5 (pl. I, 4-7-8) (échelle : 0,2 mm) : a, coupe sagittale (la base présente de nombreuses fibres de Sharpey) ; les stries de croissance de l'orthodontine constituent des zones de faiblesse ; le vide existant sur cette coupe résulterait de la dissolution par l'acide d'un éventuel remplissage de calcite (MCD 190). b, coupe sagittale (MCD 191). c, coupe transversale (MCD 192).

En ce qui concerne l'histologie, *Phoebodus marocensis* appartient au type orthodonte, car il possède une cavité pulpaire remplie par de l'orthodontine (fig. 10). Sur une coupe sagittale, on voit que l'angle entre une cuspid et la base est légèrement obtus, mais proche de  $90^{\circ}$ . La partie linguale de la base est retroussée vers la couronne. L'ornementation des cuspid est visible en coupe, où elle se traduit par une crénulation périphérique. Les canaux vasculaires semblent disséminés au hasard dans la matière osseuse.

### **Phoebodus sp.**

(Pl. I, 5)

MATÉRIEL : Oued Chebbi ; bassin du Tafilalet. MCD 168 (dent) avec MCD 17.

AGE : Famennien supérieur ; zone à *Palmatolepis marginifera* à zone à *P. costatus* (fig. 19).

### DESCRIPTION

La couronne de cette dent est composée de cinq cuspid en forme de flammèche. Trois d'entre elles sont de grande taille et sont séparées par les deux plus petites dont la longueur représente environ le tiers des grandes. Ces dernières forment entre elles un angle de  $34^{\circ}$ , tandis qu'une petite cuspid est inclinée d'un angle de  $16^{\circ}$  par rapport à la cuspid centrale. L'ornementation se limite à trois plis peu marqués sur la face labiale.

**Phoebodus ? sp.**

(Pl. I, 10, 12 ; fig. 11)

MATÉRIEL : Hamar Laghdad ; plate-forme du Tafilalet. Respectivement MCD 171 (dent) avec MCD 5 (toit crânien de *Dunkleosteus marsaisi*).

AGE : Famennien supérieur ; zone à *Palmatolepis rhomboidea* ou à *P. marginifera* (fig. 19).

DESCRIPTION

On dénombre en général cinq cuspides formant des V entre elles. L'ornementation, qui semble nouvelle dans cette famille (comm. orale, TURNER, 1989), est limitée à sept plis convergeant au sommet, labialement (pl. I, 12). Le plan défini par la couronne présente un certain angle avec la base. Cette dernière est ovale à subtriangulaire. Sa face linguale présente un replat perforé d'un gros pore ; il existe un second foramen important sur la face basale, au centre. Cette disposition caractérise le stade hémiaulacorrhize. Enfin, une rangée de foramens orne la base des cuspides labialement.

En coupe, les cuspides présentent entre elles une faible échancrure en forme de U et sont donc peu distinctes. Cette forme est du type orthodonte. La base, très haute, est nettement concave que ce soit en coupe sagittale ou en coupe transversale (fig. 11). Un bourrelet labial déplace les cuspides lingualement. Quant au bord lingual, il est retroussé et constitue deux plans : l'un vertical et l'autre subvertical. Une coupe sagittale de la dent épouse la forme d'un triangle isocèle (fig. 18).

Famille CTENACANTHIDAE Dean, 1909

Genre CTENACANTHUS Agassiz, 1835

ESPÈCE-TYPE : *C. major* Agassiz, 1835 ; Carbonifère inférieur, Angleterre.

MAISEY (1981, 1982, 1984) a effectué une révision du genre *Ctenacanthus* qui était jusqu'alors un groupe « fourre-tout ». Il considère donc *Ctenacanthus* sensu lato comme un groupe paraphylétique. Pour cela, il se réfère à la définition d'AGASSIZ (1837) qui, le premier, avait décrit *Ctenacanthus major*.

**Ctenacanthus clarki** Newberry, 1889

(Pl. III, 13 ; pl. IV)

MATÉRIEL : Mfis ; bassin du Tafilalet. MCD 150 (aiguillon).

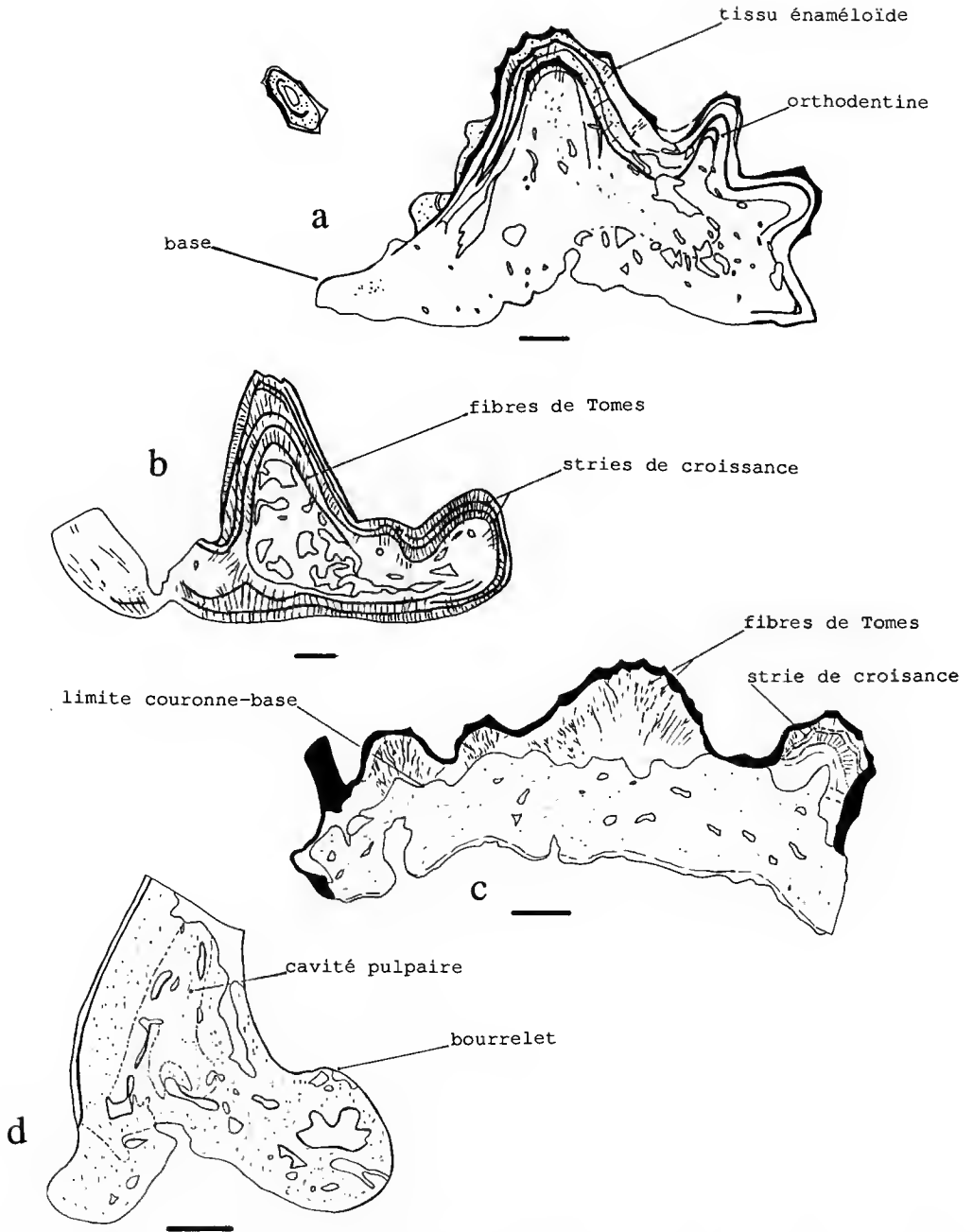


FIG. 11. — *Phoebodus* sp., avec MCD 5 (pl. I, 10-12) (échelle : 0,2 mm) : a, coupe transversale ; la base y est visible ainsi que les différentes couches d'orthodontine (MCD 193), b, coupe transversale (?) ; la base n'est pas visible ; les canaux de l'orthodontine ont été repérés (MCD 194). c, coupe transversale ; rapportée de manière incertaine à cette forme (MCD 195). d, coupe sagittale illustrant la morphologie de la dent (MCD 196).

## DESCRIPTION

Vu de profil, le bord antérieur est convexe tandis que le bord postérieur est concave dans sa partie sommitale et convexe à la base. Le segment qui était inséré dans les chairs est important et se trouve souligné par une limite d'insertion oblique. Sa hauteur la plus postérieure représente plus de la moitié de la longueur du spécimen tandis que son bord antérieur ne constitue que le quart de la hauteur du spécimen. L'ornementation de la partie supérieure est irrégulière. En effet, de courtes rides semblent s'insinuer entre les longues rides longitudinales. On dénombre environ 44 stries pour un côté le long de la limite d'insertion. Les sillons sont très étroits. Quant aux côtes, elles sont fortement tuberculées. Leurs tubercules en forme d'amandes, très rapprochés, sont au nombre d'environ 14 par centimètre (pl. IX, 1). Leur disposition par rapport aux rides esquisse une direction oblique à l'aiguillon. L'aspect crénelé des rides est dû au débordement de ces tubérosités. Le bord postérieur est orné de denticules orientés vers le bas ou horizontaux. La base présente une striation beaucoup plus fine. Il s'agit de stries butant obliquement contre le bord externe.

En vue antérieure, l'aiguillon semble très effilé avec un contour fusiforme. La partie sommitale a des bords plus rapprochés que la base qui est arrondie. Le contour de l'échantillon rappelle la forme d'une lentille biconvexe plus épaisse à la base. Les côtes sont plus espacées sur le bord d'attaque que latéralement. On peut considérer qu'environ 8 côtes sont frontales à la base, qui convergent ensuite au sommet de l'aiguillon pour ne donner qu'une ride.

En vue postérieure, on note la présence d'un canal sur plus des trois quarts de la partie postérieure ; juste au-dessus la largeur de l'aiguillon est moindre. Le mur postérieur est plat et plissé.

### **Ctenacanthus clarki ?**

MATÉRIEL : Jbel Debouâa ; bassin du Tafilalet. MCD 145 (aiguillon).

AGE : Famennien supérieur ; zone à *Palmatolepis velifer* ou à *P. styriacus* (fig. 19).

## DESCRIPTION

Le spécimen est altéré aussi bien dans son aspect général qu'en surface (non représenté). Néanmoins, il est possible de le rapporter à *Ct. clarki* du fait de sa courbure générale, de l'aspect du bord d'attaque et de l'obliquité de la limite d'insertion.

### **Ctenacanthus venustus** Eastman, 1902

(Pl. III, 14 ; pl. V)

MATÉRIEL : Jbel Amessaoui ; plate-forme du Tafilalet. MCD 75 (aiguillon).

## DESCRIPTION ET DISCUSSION

Cet échantillon est rapporté à *Ctenacanthus venustus* bien que la partie postérieure soit altérée et ne permette donc pas une description très fine.

En vue de profil, le bord d'attaque est convexe. Le bord postérieur semble avoir été concave à droit. La partie de l'aiguillon émergente du corps est séparée par une encoche de la partie interne. Cette dernière ne représente qu'une petite fraction de l'échantillon : sa hauteur moyenne représente environ le quart de celle de l'aiguillon. Les côtes sont longitudinales et régulièrement espacées, au nombre de 22 sur le côté. La densité des tubercules est relativement faible, de l'ordre de 9 par centimètre. Les rides semblent constituées de la superposition de cônes faiblement emboîtés, leur base plus en relief dessinant des lignes transversales. La base du spécimen est faiblement striée.

La vue antérieure présente un aspect fusiforme. La biconvexité est irrégulière et déplacée vers le bas, ce qui donne une épaisseur plus grande à la partie inférieure de l'échantillon. Les côtes du bord d'attaque sont anastomosées.

En vue postérieure, un profond canal occupe toute la longueur de l'aiguillon. L'extension de son ouverture réelle est sans doute inférieure à celle observée ici puisque l'échantillon est altéré.

L'aiguillon MCD 75 est accompagné d'une dent de type « *Orodus* ». Ce type d'association a déjà été signalée par HLAVIN (1972) et, pour lui, ils constitueraient les restes d'un même animal.

### *Ctenacanthus* sp. (Pl. II, 1-4 ; fig. 12)

MATÉRIEL : Hamar Laghdad ; plate-forme du Tafilalet. MCD 172 : 1 ; MCD 173 : 2, 3 et 4 avec MCD 5.

AGE : Famennien supérieur ; zone à *Palmatolepis rhomboidea* ou à *P. marginifera* (fig. 19).

## DESCRIPTION

Ces dents sont caractérisées par un grand nombre de cuspides, supérieur à six et de l'ordre de la dizaine. Leur section est elliptique avec le grand axe orienté vers les côtés. Les cuspides sont ornées labialement de douze plis qui suivent la courbure des pointes et de six côtes linguales. La partie sommitale de la couronne s'incurve fortement vers le côté lingual (pl. II, 2).

La racine est de type anaulacorhize par l'abondance et la répartition sporadique des pores. Le contour de la base esquisse une demi-ellipse dont le grand axe passe par le côté lingual. La limite entre la surface basale et la surface labiale est accidentée par un fort bourrelet ou « tablier » (non recouvert d'émail) de forme elliptique en vue basale. Il engendre ainsi dans la partie médiane de la surface basilaire un sillon parallèle au plan défini par les cuspides.

En coupe, la disposition des tissus est du type orthodonte (fig. 12). On distingue nettement des zones de croissance au sein de l'orthodentine. La base osseuse est richement vascularisée ;

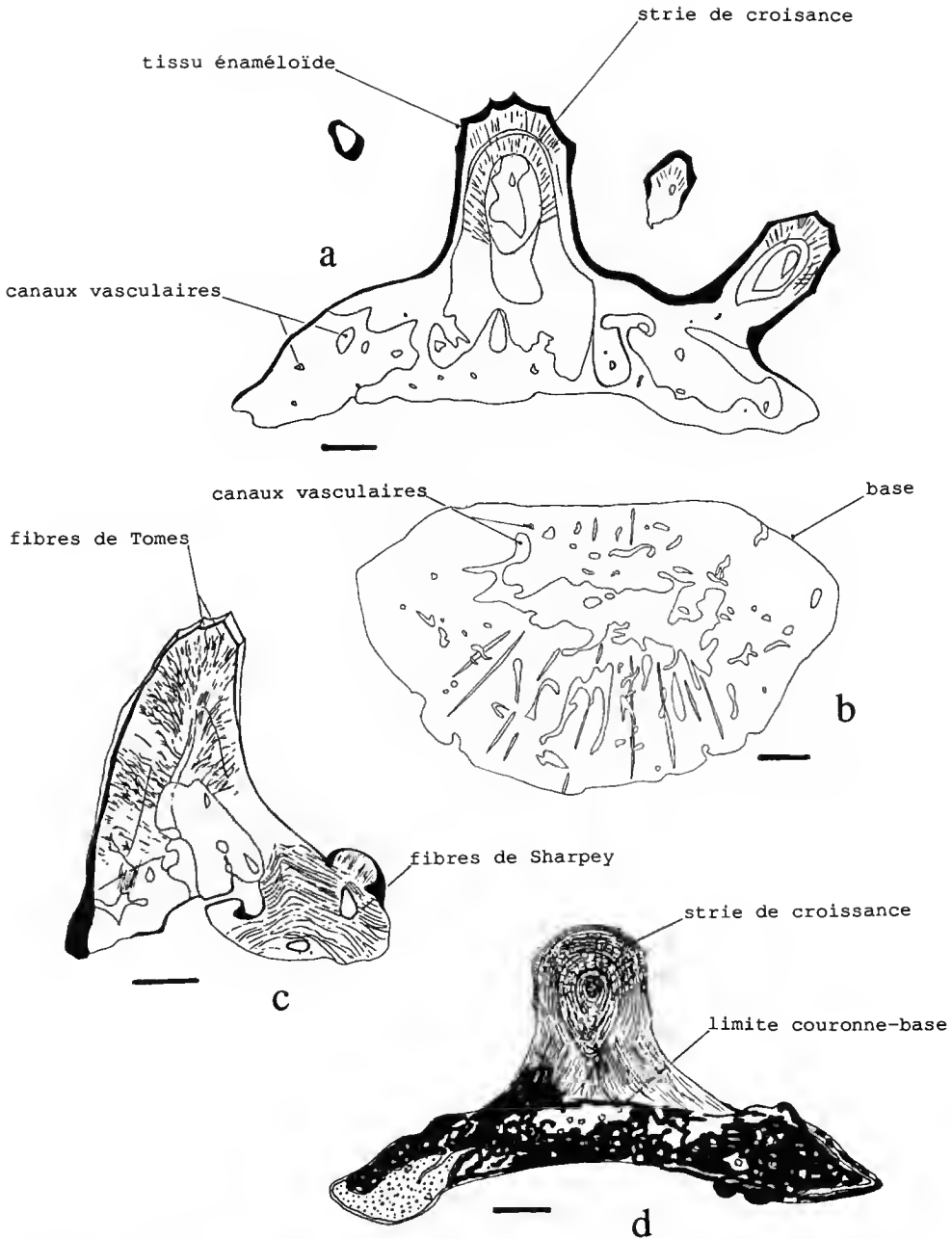


FIG. 12. — *Ctenacanthus* sp., avec MCD 5 (pl. II, 1-2-3-4) (échelle : 0,2 mm). a, coupe longitudinale ; on visualise la convergence des canaux alimentant l'orthodentine vers le centre de la cavité pulpaire des cuspidés ; l'intervalle entre deux crénulations est de 0,1 mm (MCD 197). b, coupe transversale de la base : le réseau des canaux vasculaires est nettement visible (MCD 198). c, coupe sagittale ; les canaux de l'orthodentine et les fibres de Sharpey sont mis en évidence (MCD 199). d, coupe longitudinale ; attribuée à cette forme avec une légère réserve (MCD 200).

d'autre part, elle présente une très légère concavité tournée vers le bas et un réseau de fibres de Sharpey. En coupe sagittale, on voit que les cuspides surplombent la « racine » et forment un angle de 60° avec elle. L'existence de rides à la surface des cuspides engendre un contour crénelé.

**Ctenacanthus ? sp.**

(Pl. III, 4, 6, 9)

MATÉRIEL : Hamar Laghdad ; plate-forme du Tafilalet. MCD 181 : 4 ; MCD 182 : 6 ; MCD 183 : 9 (écailles) avec MCD 5.

AGE : Famennien supérieur ; zone à *Palmatolepis rhomboidea* ou à *P. marginifera* (fig. 19).

DESCRIPTION

En vue coronale, l'écaille a un contour subrectangulaire et chaque flammèche présente une arête longitudinale. La couronne est incurvée vers l'arrière, où elle constitue un plateau. Le col est assez haut (environ 0,5 mm) par rapport à la couronne (1 mm) ; on remarque des forams latéraux et postérieurs. L'agglutinement des lepidomoria se fait aussi bien antéro-postérieurement que latéralement. Ceci matérialise les directions de croissance à partir d'un centre situé à l'avant.

Superfamille PROTACRODONTOIDEA Zangerl, 1981

Genre PROTACRODUS Jaekel, 1921

ESPÈCE-TYPE : *P. venustus* Jaekel, 1921 ; Dévonien supérieur, Allemagne (voir aussi GROSS, 1938).

**Protacrodus sp.**

(Pl. I, 9, 11 ; fig. 13)

MATÉRIEL : Hamar Laghdad ; plate-forme du Tafilalet. MCD 170 (dent) avec MCD 5.

AGE : Famennien supérieur ; zone à *Palmatolepis rhomboidea* ou à *P. marginifera* (fig. 19).

DESCRIPTION

Les représentants de cette forme ont six cuspides, typiquement aplaties labio-lingualement et à section en amande effilée (fig. 18), ce qui donne un aspect très aigu aux bords latéraux

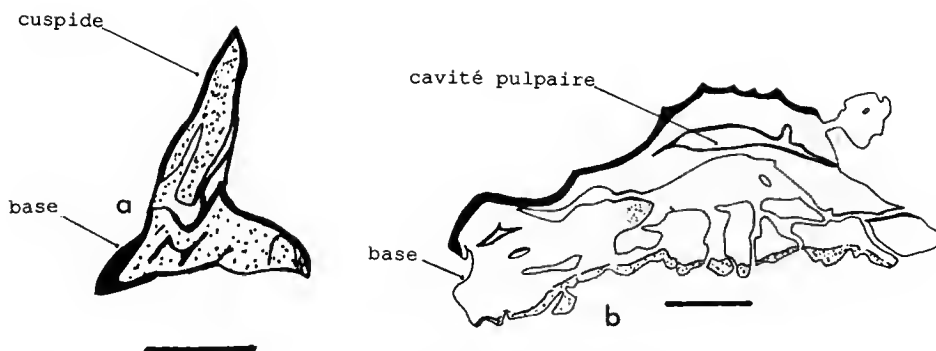


FIG. 13. — *Protacrodus* sp., avec MCD 5 (pl. I, 9-11) (échelle : 0,2 mm) : a, coupe sagittale ; on note l'aplatissement labio-lingual de la dent (MCD 201). b, coupe transversale (MCD 202).

(pl. I, 9, 11). Cela correspond sans doute à une action coupante des dents ? Le plan défini par les cuspides forme un angle de  $57^{\circ}$  avec celui de la base, avec une légère inclinaison vers le côté lingual. Chaque cuspide est séparée de sa voisine par une échancrure peu profonde. L'ornementation est limitée à cinq plis verticaux de chaque côté en moyenne. La base a une forme quadrangulaire bien définie et appartient au type hémiaulacorhize.

Une coupe sagittale montre qu'une cuspide forme avec le plan de la base un angle aigu. D'autre part, la largeur labio-linguale de la cuspide est très faible par rapport à celle de la base, ce qui illustre l'aplatissement noté en morphologie (fig. 13a). La cuspide ne surplombe pas la base mais est en léger retrait. La partie basale est modérément concave. La dent est peut-être du type orthodonte.

Ordre SYMMORIIDA Zangerl, 1981

Famille STETHACANTHIDAE Lund, 1974

Genre STETHACANTHUS Newberry, 1889

ESPÈCE-TYPE : *Physonemus altonensis* St-John and Worthen, 1875.

**Stethacanthus thomasi** Turner, 1982

(Pl. II, 10, 11 ; fig. 14)

MATÉRIEL : Hamar-Laghdad ; plate-forme du Tafilalet. MCD 177 (dent) avec MCD 5.

AGE : Famennien supérieur ; zone à *Palmatolepis rhomboidea* ou à *P. marginifera* (fig. 19).

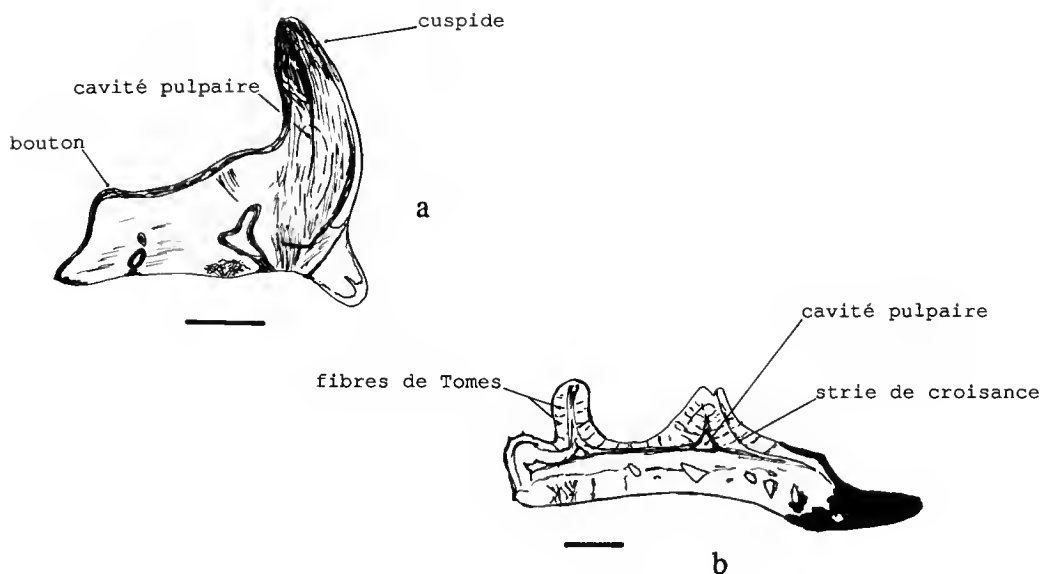


FIG. 14. — *Stethacanthus thomasi*, avec MCD 5 (pl. II, 10-11) (échelle : 0,2 mm) : a, coupe sagittale (MCD 203). b, coupe transversale (MCD 204).

#### DESCRIPTION

La couronne des dents de cette espèce est souvent détériorée, cependant il est possible de déceler quelques caractères. En effet, elle comprend généralement cinq cuspides présentant entre elles une faible échancrure. La section d'une cuspid marginale est circulaire ; quant à la cuspid principale, sa section est ovale (fig. 18). Des plis espacés apparaissent labialement, tandis que la face linguale compte environ douze plis. Le plan de la couronne ne surplombe pas le bord labial de la base du fait de l'existence d'un léger bourrelet. Un « tablier » orne le côté labial ; il délimite sur la face basale un sillon assez profond.

La base est de type hémiaulacorhize puisqu'on note la présence de foramens médians aussi bien sur la surface basale que sur le côté linguale. Un épais bourrelet linguale surplombe le foramen « médio-interne » *sensu* CASIER (1947).

En coupe, on note un angle de 70° entre le plan de la couronne et celui de la base (fig. 14). Le bourrelet linguale et l'extension linguale de la base sont visibles en coupe sagittale (fig. 14a). La dent est sans doute du type orthodonte.

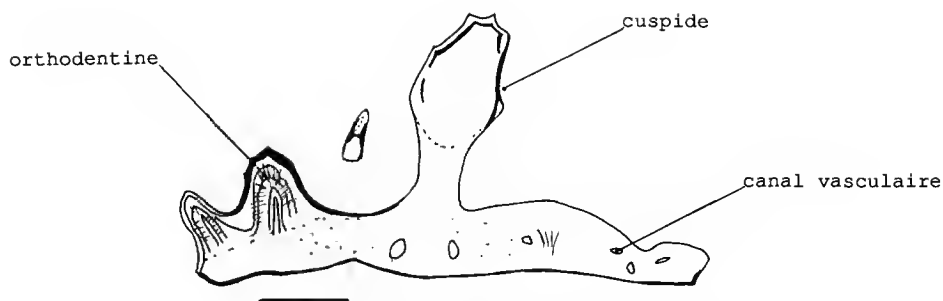


FIG. 15. — *Stethacanthus* ? sp., avec MCD 5 (pl. II, 5-6-7) (échelle : 0,2 mm) : coupe transversale (MCD 205).

### ***Stethacanthus* ? sp. A**

(Pl. II, 5-7 ; fig. 15)

MATÉRIEL : Hamar Laghdad ; plate-forme du Tafilalet. MCD 174 = 5 ; MCD 175 = 6 et 7 (dents) avec MCD 5.

AGE : Famennien supérieur ; zone à *Palmatolepis rhomboidea* ou à *P. marginifera* (fig. 19).

#### DESCRIPTION

Sept cuspidés constituent la couronne de chaque dent. La cuspidé médiane est haute ; les deux cuspidés marginales, un peu plus basses, sont encadrées chacune par deux petites cuspidés annexes (pl. II, 6). L'ensemble de la couronne est vertical par rapport à la base. Les cuspidés adjacentes à la principale forment chacune un angle d'environ  $11^{\circ}$  avec le plan de symétrie de la dent, tandis que les suivantes font un angle de  $22^{\circ}$ , puis de  $27^{\circ}$  avec la cuspidé principale. Les plis de la face labiale sont peu marqués, par contre sur la face linguale l'ornementation est plus nette.

La base a un contour subtriangulaire. On note la présence d'un « tablier » labial localisé sous la cuspidé principale. Le bord lingual est légèrement retroussé et présente un pore médio-interne caractéristique d'une base hémiaulacorhize.

Une coupe transversale fait apparaître des zones de croissance de l'orthodentine (fig. 15).

### ***Stethacanthus* ? sp. B**

(Pl. II, 8-9)

MATÉRIEL : Hamar Laghdad ; plate-forme du Tafilalet. MCD 176 : 8 et 9 (dents) avec MCD 5 (toit crânien de *Dunkleosteus marsaisi*).

AGE : Famennien supérieur ; zone à *Palmatolepis rhomboidea* ou à *P. marginifera* (fig. 19).

## DESCRIPTION

Les éléments de la couronne de ces dents sont au nombre de cinq. La cuspide principale domine les pointes marginales et fait un angle moyen de  $14^{\circ}$  avec les premières cuspides marginales ; les cuspides les plus latérales font un angle de  $25^{\circ}$  avec le plan de symétrie de la dent. Un tablier lingual souligne la base de la grande pointe qui est ornée de six plis espacés (pl. II, 9). Ces dernières n'atteignent ni le tablier ni la partie sommitale de la cuspide. La face linguale est plissée. La cuspide est caractérisée par un aplatissement labio-lingual concentré sur ses bords latéraux. La base a une forme ovale. Sa surface coronale est ponctuée de foramens disposés au hasard ; on est donc en présence d'une base de type anaulacorhize.

Ordre Incertae sedis

Famille Incertae sedis

Genre **CLADOLEPIS** Wells, 1944

ESPÈCE-TYPE : *C. gunnelli* Wells, 1944 ; Dévonien moyen, États-Unis (voir aussi GROSS, 1973).

**Cladolepis** sp.

(Pl. III, 1-2 ; fig. 16)

MATÉRIEL : Jbel Mfis. MCD 178 (écaille) avec MCD 150.

## DESCRIPTION

La couronne de ces écailles est une suite d'environ dix flammèches apposées côte à côte et bien distinctes, ce qui donne un bord postérieur crénelé. Frontalement, deux ou trois autres « lepidomoria » fusionnent. Les languettes s'incurvent vers l'arrière dans la partie haute. Elles

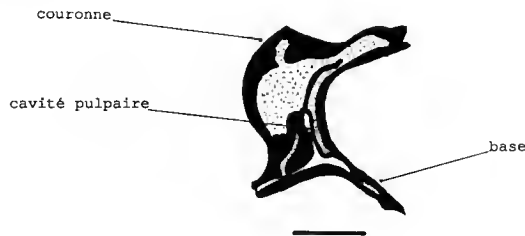


FIG. 16. — *Cladolepis* sp., avec MCD 150 (pl. III, 1-2) (échelle : 0,2 mm) : le bord frontal de l'animal est donné par la convexité de l'écaille, tournée vers la gauche sur la figure (MCD 206).

présentent toutes une arête acérée. En vue coronale, apparaît une dissymétrie ; il s'agit donc d'une écaille des flancs.

La base est concave et ovale. Sa partie antérieure déborde par rapport à la couronne. Il se produit l'inverse postérieurement et, en vue coronale, la base est masquée par la couronne à l'arrière.

Une coupe sagittale (fig. 16) met en évidence la forte convexité de la partie antérieure et la concavité de la partie postérieure ainsi que celle de la base. L'écaille présente une juxtaposition des cavités pulpaire, aussi bien latéralement que post-frontalement.

#### Forme hybodontide

(Pl. III, 5, 7)

MATÉRIEL : Hamar Laghdad ; plate-forme du Tafilalet. Respectivement MCD 183 et MCD 184 (écailles) avec MCD 5 (toit crânien de *Dunkleosteus marsaisi*).

AGE : Famennien supérieur ; zone à *Palmatolepis rhomboidea* ou à *P. marginifera* (fig. 19).

#### DESCRIPTION

Ce type d'écaille est caractérisé par l'absence de col (REIF, 1978). La couronne est le résultat de fusions de lepidomoria dont l'extrémité postérieure est pointue. La croissance semble se faire du centre vers les bords et de l'avant vers l'arrière. En effet, il existe médialement une dépression correspondant à des flammèches relativement petites. Les bords latéraux sont séparés du bord frontal par des arêtes. Le bord frontal de la couronne correspond pratiquement à une diagonale de la base. Cette dernière, en forme de losange en vue coronale, est convexe vers le bas. Sur une autre écaille, très proche, les lepidomoria se présentent sous la forme de lamelles assez larges, plus petites au centre, donc probablement plus jeunes. La couronne dessine un demi-cercle avec les lepidomoria les plus latéraux constituant une demi-circonférence. La base est elliptique et renflée.

#### Forme hybodontide ?

(Pl. III, 10 ; fig. 17)

MATÉRIEL : Hamar Laghdad ; plate-forme du Tafilalet. MCD 185 (écaille) avec MCD 5 (toit crânien de *Dunkleosteus marsaisi*).

AGE : Famennien supérieur ; zone à *Palmatolepis rhomboidea* ou à *P. marginifera* (fig. 19).

#### DESCRIPTION

La couronne de cette écaille se présente comme une succession de tubercules à cannelures fortes et pratiquement verticaux. Cette écaille ne présente pas de col. La base est carrée en vue

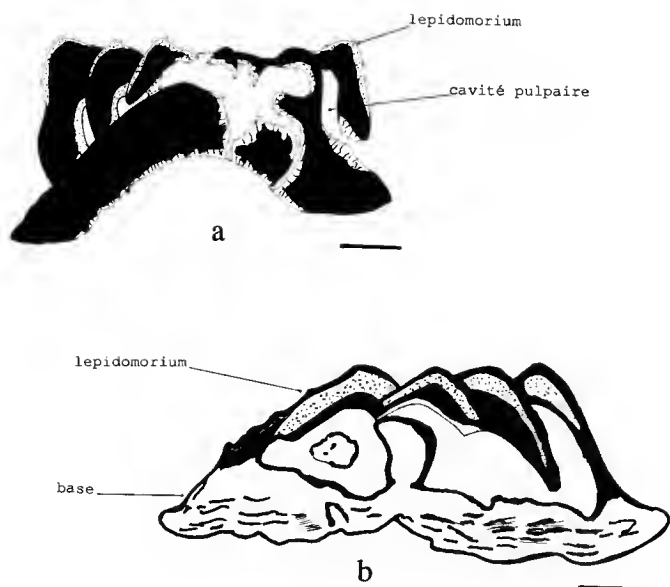


FIG. 17. — Forme hybodontide ?, avec MCD 5 (pl. III, 10) (échelle : 0,2 mm) : a, coupe d'une écaille à base concave : les lepidomoria les plus petits sont situés au centre (MCD 207). b, coupe au travers d'une écaille dont la base est plane (MCD 208).

coronale ; elle est fortement convexe en vue latérale, mais la coupe effectuée dans une écaille considérée comme identique montre une base concave vers le bas (fig. 17).

Forme indet.

(Pl. III, 11)

MATÉRIEL : Hamar Laghdad ; plate-forme du Tafilalet. MCD 187 (écaille) avec MCD 5 (toit crânien de *Dunkleosteus marsaisi*).

AGE : Famennien supérieur ; zone à *Palmatolepis rhomboidea* ou à *P. marginifera* (fig. 19).

#### DESCRIPTION

Le contour de la base est grossièrement circulaire. Les lepidomoria sont sous forme de pointes dirigées vers l'arrière du corps. Il semble exister une polarité suivant la taille des pointes : les plus petites situées à l'avant sont sans doute les plus jeunes et inversement. Sur les plus grands tubercules des carènes sont visibles.

Sous-classe ACANTHODII Owen, 1846  
Ordre ISCHNACANTHIDA Berg, 1940  
Famille ISCHNACANTHIDAE Woodward, 1891

Ischnacanthiforme gen. et sp. indet.  
(Pl. III, 8)

MATÉRIEL : Hamar Laghdad ; plate-forme du Tafilalet. MCD 186 (dent) avec MCD 5 (toit crânien de *Dunkleosteus marsaisi*).

AGE : Famennien supérieur ; zone à *Palmatolepis rhomboidea* ou à *P. marginifera* (fig. 19).

#### DESCRIPTION

La spirale dentaire présentée est constituée d'une file de sept cuspides nettement distinctes. Une deuxième rangée semble s'esquisser mais les cuspides ont dû se briser. La concavité des cuspides et l'enroulement de la base indiquent le côté lingual. La base semble s'élargir dans sa partie inférieure et présente un petit rebord.

Classe indet.

Os dentigère ?  
(Pl. III, 12)

MATÉRIEL : Hamar Laghdad ; plate-forme du Tafilalet. MCD 188 avec MCD 5.

AGE: Famennien supérieur ; zone à *Palmatolepis rhomboidea* ou à *P. marginifera* (fig. 19).

#### DESCRIPTION

Deux rangées de denticules sont implantées sur une base osseuse de forme quadrangulaire. On dénombre 9 cuspides qui sont toutes incurvées du même côté. Leur concavité indique sans doute le bord lingual.

#### CONCLUSION

Outre la présentation de deux aiguillons, la presque totalité du matériel étudié consiste en une microfaune abondante de Sélaciens.

caractères formes	nombre cuspidés	angle entre cusp. b cusp. h entre cusp.	forme section cusp.	ornementation stries	hauteurs relatives	section sagittale	tablier	bourrelets	forme base L/l	type base	croquis
THRINACODUS FEROX	3 échcr.	30°		2 lab.	=		non		lab. ling. 3,8	?	
PHOEBODUS POLITUS	3 échcr.	1ère cusp. 16° 2ème cusp. 34° 6,4		3 lab.	3 =		non	sur base	lab. ling. 2	?	
PHOEBODUS MAROCENSIS	5 échcr.	1ère cusp. 24° 2ème cusp. 38° 9		10 lab. 13 ling. spatule	2		non	torus ling. léger lab.	lab. ling. 2	anulac.	
PROTACRODUS SP	6			5 chaque côté	1,8		non	léger lab.	cor. bas. 3,2	hémiaulac.	
PHOEBODUS ? SP	5	1ère cusp. 20° 2ème cusp. 36° 5,6		7 lab.	1,8 1,5		non		bas. lab. 2,1	hémiaulac.	
CTENACANTHUS SP	7 échcr.	1ère cusp. 0° 3ème cusp. 16° 4ème cusp. 38° 8		12 lab. 6 ling.	1,8 2 1,3		oui	base lab. ling.	bas. lab. 3,8	anulac.	
STETHACANTHUS ? SP A	7			5 ling.	3,3 1,7		oui		bas. lab. 2,8	hémiaulac.	
STETHACANTHUS ? SP B	5	1ère cusp. 13° 2ème cusp. 25° 13		6 lab. 10 ling.	3,6 3,3		oui	retroucement ling.	cor. lab. 1,7	anulac.	
STETHACANTHUS THOMASII	5			12 ling.			oui	lab. petit ling. épais	bas. lab. 2,5	hémiaulac.	

FIG. 18. — Tableau récapitulatif des critères de classification des dents.

h : hauteur; L : longueur; l : largeur; cusp. : cuspidé; échcr. : échancrure; lab. : labial; ling. : lingual; cor. : coronale; bas. : base; anulac. : anulacorchize; hémiaulac : hémiaulacorchize. (Les croquis des dents ne sont pas à l'échelle.)

L'angle entre les cuspidés est calculé d'une part entre la cuspidé principale et la première cuspidé marginale, d'autre part entre la cuspidé principale et la deuxième cuspidé marginale.

Dans la deuxième colonne, le dernier nombre en bas à droite représente le rapport h cusp./h entre cusp. Le rapport entre la cuspidé principale et les cuspidés marginales détermine les hauteurs relatives.

EPOQUE	AGE	DCB	ZONE CONODONTE		LOCALITES
			NOUVELLE ZONATION	ANCIENNE ZONATION	
CARB.	INF.	MA			
DEVONIEN SUPERIEUR FAMENNIEN	0		sulcata		Oued Chebbi Jbel Debouâa Hamar Laghdad
			sup.	inf. Proto gnathodus	
			moy.	sup.	
			inf.	moy.	
		-1	sup.	inf.	
		-2	moy.	inf.	
			inf.		
		-3	sup.	moy.	
			inf.		
		-4	sup.	sup.	
			inf.	moy.	
				inf.	
		-5	sup.	sup.	
		inf.	inf.		
	-6	sup.			
		inf.			
	-7	term.			
		sup.			
	-8	moy.			
		inf.			
	-9	sup.			
		moy.			
	-10				

FIG. 19. — Tableau synthétique des zones de Conodontes reprenant les données exposées par ZIEGLER et SANDBERG (1984, 1990). Les datations des échantillons ont été réalisées par BULTYNCK.

MCD 145 : Jbel Debouâa : zone à *Palmatolepis velifer* ou à *P. styriacus*.

MCD 17 : Oued Chebbi : de la zone à *Palmatolepis marginifera* à la zone à *P. costatus*.

MCD 5 : Hamar Laghdad : zone à *Palmatolepis rhomboidea* ou à *P. marginifera*.

L'étude morphologique des dents et des écailles a été complétée par une analyse histologique. Quant aux aiguillons, ils ont été classés uniquement en fonction de leur forme et de leur ornementation.

Les nouvelles données quant aux associations fauniques aboutissent à quelques conclusions. En effet, HLAVIN (1972) considérait que les deux types de dentition « *Orodus* » et « *Cladodus* », ne se trouvant jamais ensemble, auraient appartenu à des genres différents. Cette hypothèse est aujourd'hui infirmée. De plus, *Ctenacanthus venustus* (MCD 75) et *Orodus venustus* constituaient pour lui, les restes d'un même animal. Dans notre matériel, la présence simultanée de l'aiguillon *Ctenacanthus venustus* (MCD 75) avec trois dents de *Thrinacodus ferox*?, deux dents de *Phoebodus politus*?, une dent d'« *Orodus* », une dent « cladodonte » indéterminée, une dent de *Protacrodus*? et enfin des écailles de *Cladolepis*, va à l'encontre de ce type de conclusion.

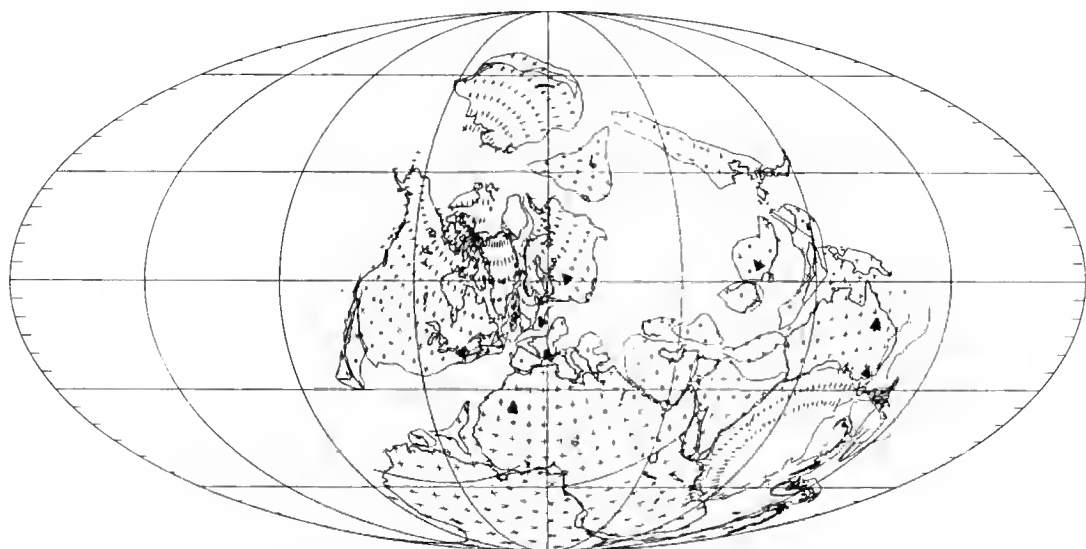


Fig. 20. — Localités où ont été retrouvées des dents de *Thrinacodus ferox* reportées sur un modèle paléobiogéographique (SCOTESE et MCKERROW, 1990).

*Ctenacanthus clarki* est considéré par MAISEY (1981) comme proche de *Ct. compressus*. Ce dernier possède des dents « cladodontes » d'après DEAN (1909). Or, on a trouvé dans le bloc contenant MCD 150 outre une dent de *Phoebodus politus*?, une énorme dent hémiaulacorhize (peut-être de *Xenacanth*) et quelques écailles, mal conservées, de *Cladolepis* ou d'*Orodus*.

LEHMAN (1977) identifie l'échantillon MCD 104 comme étant *Orodus cinctus*. Je les rapporterais plutôt à *Orodus varicostatus* St-John and Worthen, 1875. Ces dents auraient été associées à *Ct. wrighti*.

Les dents de *Thrinacodus ferox* sont associées à celles de *Phoebodus politus* dans le bloc MCD 17; peut-être appartiennent-elles à la même dentition puisqu'elles ont une morphologie assez proche (fig. 18).

Les microrestes, outre leur intérêt en systématique, sont des outils précieux pour tester les modèles paléobiogéographiques. Ainsi, les localités où ont été récoltées des dents de *Thrinacodus ferox* dans les niveaux fameniens et tournaisiens sont reportées sur le modèle extrait de SCOTESE et MCKERROW (1990) (fig. 20). Les points sont essentiellement situés dans la zone tropicale de l'époque, ce qui n'est pas contradictoire avec la répartition actuelle des Sélaciens bien qu'ils occupent des niches écologiques variées.

#### Remerciements

M. BULTYNCK a daté une partie du matériel à l'aide des Conodontes, qu'il en soit remercié. Je témoigne ma reconnaissance à MM. BLIECK, GOUJET, JANVIER et LELIÈVRE pour leur disponibilité et leurs précieuses remarques. Mme NETTER a assuré la frappe du manuscrit.

RÉFÉRENCES BIBLIOGRAPHIQUES

- AGASSIZ, J. R. L., 1833-1844. — Recherches sur les poissons fossiles. Imprimerie de Petit Pierre, Neufchâtel, 5 vol.
- CAPPETTA, H., 1986. — Types dentaires adaptatifs chez les Sélaciens actuels et post-Paléozoïques. *Palaeovertebrata*, **16** (2) : 57-76.
- 1987. — Chondrichthyes II. Mesozoic and Cenozoic Elasmobranchii. In : H. P. SCHULTZE, ed., *Handbook of Paleichthyology*. Fischer Verlag, Stuttgart, New York. **3B** : 193 p.
- CASIER, E., 1947a. — Constitution et évolution de la racine dentaire des Euselachii. I — Note préliminaire. *Bull. Mus. r. Hist. nat. Belg.*, **23** (13) : 1-15.
- 1947b. — Constitution et évolution de la racine dentaire des Euselachii. II — Etude comparative des types. *Bull. Mus. r. Hist. nat. Belg.*, **23** (14) : 1-32.
- 1947c. — Contribution et évolution de la racine dentaire des Euselachii. III — Evolution des principaux caractères morphologiques et conclusions. *Bull. Mus. r. Hist. nat. Belg.*, **23** (15) : 1-45.
- COMPAGNO, L. J. V., 1970. — Systematics of the genus *Hemitriakis* (Selachii : Carcharhinidae), and related genera. *Proc. Calif. Acad. Sci.*, **38** (4) : 63-98.
- CRASQUIN, S., 1984. — Ostracodes du Dinantien. Systématique — Biostratigraphie — Paléoécologie (France, Belgique, Canada). Thèse 3ème cycle, Université des Sciences et Techniques de Lille, 2 vol., texte : 238 p., 109 figs, atlas : 68 p., 23 pl.
- DEAN, B., 1909. — Studies on fossil Fishes (Sharks, Chimaeroids and Arthrodires). *Mém. Am. Mus. nat. Hist.*, **9** (5) : 210-287, 65 figs, 16 pl.
- DERYCKE, C., 1990. — Application de la cathodoluminescence à la paléohistologie. *C. r. Acad. Sci., Paris*, **310** (11) : 1561-1565, 1 fig.
- DUFFIN, C. J., and D. J. WARD, 1983. — Neoselachian Sharks' Teeth from the Lower Carboniferous of Britain and the Lower Permian of the U.S.A. *Palaeontology*, **26** (1) : 93-110, 6 figs, 1 tab., pl. 13-14.
- EASTMAN, C. R., 1902. — Some Carboniferous cestraciont and acanthodian sharks. *Bull. Mus. comp. Zool. Harv. Univ.*, **39** : 55-99.
- GINTER, M., 1990. — Late Famennian shark teeth from the Holy Cross Mts, Central Poland. *Acta geol. pol.*, **40** (1-2) : 69-81.
- GOUJET, D., 1976. — Poissons. In : H. LARDEUX, ed., *Les schistes et calcaires éodévoniens de Saint-Cénére (Massif Armoricaïn, France)*. *Mém. Soc. géol. minér. Bretagne*, **19** (328) : 313-323, pl. 61-63.
- GROSS, W., 1938. — Das Kopfskelett von *Cladodus wilchungensis* Jaekel. 2. Part : Der Kieferbogen, Anhang : *Protacrodus vetustus* Jaekel. *Senckenbergiana*, **20** : 123-145.
- 1973. — Kleinschuppen, Flossenstacheln und Zähne von Fischen aus Europäischen und Nordamerikanischen Bonebeds des Devons. *Palaeontographica*, A, **142** (4-6) : 51-155, 35 figs, pl. 26-36.
- HLAVIN, W., 1972. — New associations of fossil sharks from the Cleveland shale Upper Devonian (Famennian). *G.S.A. Northeast. Sect. Abstr.*, **4** (1) : 21.
- HOLLARD, H., 1958. — Découverte de Goniatites tournaisiennes dans le Maïder (Province du Tafilalet, Maroc). *C. r. Acad. Sci., Paris*, **247** : 789-792.
- 1967. — Le Dévonien du Maroc et du Sahara nord-occidental. In : D. H. OSWALD, ed., *Int. Symp. Devonian System*, **1**. *Alberta Soc. Petrol. Geol.* : 203-244.
- KARATAJUTE-TALIMAA, V., 1973. — *Elegestolepis grossi* gen. et sp. nov., ein neuer Typ der Placoidschuppen aus dem Oberen Silur der Tuwa. *Palaeontographica*, A, **143** (1-6) : 35-50, 3 figs, pl. 3.

- KARATAJUTE-TALIMAA V., L. T. NOVITSKAYA, C. S. ROZMAN and J. SODOV, 1990. — *Mongolepis* — novýj nod elasmobranchij iz nijnego silura Mongolii (*Mongolepis* — un nouveau genre d'Elasmobranchie du Silurien inférieur de Mongolie). *Paleontol. J.*, **1** : 76-86.
- LEHMAN, J. P., 1977. — Nouveaux Arthrodires du Tafilalet et de ses environs. *Ann. Paléontol., Vertébrés*, **63** : 105-132.
- LONG, J. A., 1990. — Late Devonian Chondrichthyans and other microvertebrate remains from northern Thailand. *J. Vertebr. Paleontol.*, **10** (1) : 59-71, 10 figs.
- MAISEY, J. G., 1975. — The interrelationships of phalacanthous selachians. *N. Jb. Geol. Paläont., Mh.* **9** : 553-567.
- 1979. — Finspine morphogenesis in squalid and heterodontid sharks. *Zool. J. Linn. Soc.*, **2** : 161-183, 12 figs.
- 1981. — Studies on the Paleozoic Selachian genus *Ctenacanthus* Agassiz. N° 1 — Historical review and revised diagnosis of *Ctenacanthus*, with a list of referred taxa. *Am. Mus. Novit.*, **2718** : 122, 10 figs.
- 1982a. — Studies on the Paleozoic Selachian genus *Ctenacanthus* Agassiz. N° 2 — *Bythiacanthus* St-John and Worthen, *Amelacanthus* new genus, *Eunemacanthus* St-John and Worthen, *Sphenacanthus* Agassiz, and *Wodnika* Münster. *Am. Mus. Novit.*, **2744**, 24 p., 11 figs.
- 1982b. — The anatomy and interrelationships of Mesozoic Hybodont sharks. *Am. Mus. Novit.*, **2724** : 1-48, 17 figs.
- 1984. — Studies on the Paleozoic Selachian genus *Ctenacanthus* Agassiz. N° 3 — Nominal species referred to *Ctenacanthus*. *Am. Mus. Novit.*, **2774** : 1-20.
- MARKERT, F., 1896. — Die Flossenstacheln von *Acanthias*. Ein Beitrag zur Kenntnis der Hautsubstanz gebilde der Elasmobranchier. *Zool. Jb., Abt. Anat. Ontog. Tiere*, **9** : 665-722.
- NEWBERRY, J. S., 1889. — The Paleozoic fishes of North America. *U. S. Geol. Surv., Monogr.*, **16** : 1-228.
- REIF, W. E., 1974. — Morphogenese und Musterbildung des Hautzähnechenskelettes von *Heterodontus Lethaia*, **7** : 25-42.
- 1978a. — Protective and hydrodynamic function of the dermal skeleton of elasmobranchs in Paleocology ; constructions, sedimentology, diagenesis and association of fossils ; report 1976-1978. A. SEILACHER, ed. *N. Jb. Geol. Paläont., Abh.* **157** (1-2) : 133-141.
- 1978b. — Types of morphogenesis of the dermal skeleton in fossil sharks. *Palaeontol. Z.*, **52** (12) : 110-128, 10 figs, 2 pl.
- 1982. — Morphogenesis and function of the squamation in sharks. *N. Jb. Geol. Paläont., Abh.* **164** : 172-183, 7 figs.
- SCOTESE, C. R., and W. S. MCKERROW, 1990. — Revised World maps and introduction. In : W. S. MCKERROW & C. R. SCOTESE, eds, Palaeozoic Palaeogeography and Biogeography. *Geol. Soc. Mem.*, **12** : 1-21.
- ST-JOHN, O., and A. H. WORTHEN, 1875. — Descriptions of fossil fishes. *Geol. Surv. Illinois, Paleontol.*, **6** : 245-488.
- STENSIÖ, E. A., 1962. — Origine et nature des écailles placoides et des dents. In : Problèmes actuels de Paléontologie. *Colloques int. Cent. Nat. Rech. Scient.*, **104** : 75-85, 3 pl.
- THIES, D., and W. E. REIF, 1985. — Phylogeny and evolutionary ecology of Mesozoic Neoselachii. *N. Jb. Geol. Paläont., Abh.* **169** : 333-361.
- TURNER, S., 1982. — Middle Palaeozoic Elasmobranch remains from Australia. *J. Vertebr. Paleontol.*, **2** (2) : 117-131.
- 1983. — Taxonomic note on « *Harpago* ». *J. Vertebr. Paleontol.*, **3** (1) : 38.
- TURNER, S., and G. C. YOUNG, 1987. — Shark teeth from the Early-Middle Devonian Cravens Peak Beds, Georgina Basin, Queensland. *Alcheringa*, **11** : 233-244.

- TWAY, L. E., and J. ZIDEK, 1983. — Catalog of Late Pennsylvanian ichthyoliths, part I. *J. Paleontol.*, **2** (4) : 414-438.
- WANG SHITAO, and S. TURNER, 1985. — Vertebrate microfossils of the Devonian-Carboniferous boundary, Muhua section, Guizhou province. *Vertebr. Palasiat.*, **23** (3) : 223-234, 1 fig., 3 pl., 1 tabl.
- WELLS, J. W., 1944. — Fish remains from the Middle Devonian bone beds of the Cincinnati Arch region. *Palaeontogr. A.*, **2**, **16** : 46 p.
- WENDT, J., T. AIGNER and J. NEUGEBAUER, 1984. — Cephalopod limestone deposition on a shallow pelagic ridge : the Tafilalet Platform (Upper Devonian, eastern Anti-Atlas, Morocco). *Sedimentology*, **31** : 601-625.
- WILLIAMS, M. E., 1985. — The « cladodont level » sharks of the Pennsylvanian black shales of central North America. *Palaeontographica, A*, **190** : 83-158, 31 figs, 18 pl., 1 tabl.
- ZANGERL, R., 1968. — The morphology and the developmental history of the scales of the Paleozoic sharks *Holmesella?* sp. and *Orodus*. In : T. ØRVIG, ed., Current Problems of Vertebrate Phylogeny. Nobel Symposium, **4** : 399-412.
- 1981. — Paleozoic Elasmobranchii. Chondrichthyes I. In : H.P. SCHULTZE, ed., Handbook of Paleichthyology. Fischer Verlag, Stuttgart, New York. **3A**, 115 p.
- ZIEGLER, W., and C. SANDBERG, 1984. — Important candidate sections for stratotype of conodont based Devonian-Carboniferous boundary. In : E. PAPROTH and M. STREEL, ed., The Devonian-Carboniferous Boundary. *Cour. Forsch.-Inst. Senckenberg*, Frankfurt a. M., **67** : 231-239, 6 figs., 2 pl.
- 1990. — The Late Devonian Standard Conodont Zonation. *Cour. Forsch.-Inst. Senckenberg*, Frankfurt a. M., **121** : 1-115, 17 pl., 11 text-fig., and 7 tab.

PLANCHE I

1. — *Orodus* sp. MCD 163 avec l'aiguillon MCD 75 : vue labiale ; la couronne présente trois tubercules et de fines ridules parcourent sa base.
2. — *Orodus varicostatus* ? MCD 104 : vue linguale ; la base, concave vers le bas, est perforée d'une multitude de petits foramens.
3. — *Thrinacodus ferox*. MCD 164 avec MCD 17 : vue latérale ; les cuspides ont une forme en crochet et la base est allongée vers le côté lingual.
- 4, 7, 8. — *Phoebodus marocensis* nov. sp. MCD 165 (holotype), 166 et 167 avec MCD 5 (toit crânien de *Dunkleosteus marsaisi*) : 4, vue labiale ; l'ornementation des cuspides est nettement visible. 7, vue latéro-labiale ; la partie sommitale de la couronne, située à gauche, présente une sorte de spatule. 8, vue linguale ; de fines stries convergent vers le haut des cuspides.
5. — *Phoebodus* sp. MCD 168 avec MCD 17 : vue labiale ; une des petites cuspides marginales est cassée.
6. — *Phoebodus politus*. MCD 169 avec l'aiguillon MCD 150 : vue latérale ; les cuspides sont en forme de S.
- 9, 11. — *Protacrodus* sp. MCD 170 avec MCD 5 : 9, vue linguale ; laissant apparaître un pore médian. 11, vue labiale ; des foramens, disposés sous les cuspides, sont visibles sur la base.
- 10, 12. — *Phoebodus* ? sp. MCD 171 avec MCD 5 : 10, vue basale ; un pore central très gros est visible. 12, vue labiale ; les cuspides sont disposées en éventail.

(Toutes les échelles = 0,5 mm, sauf celle de la fig. 7 qui est à 0,1 mm.)

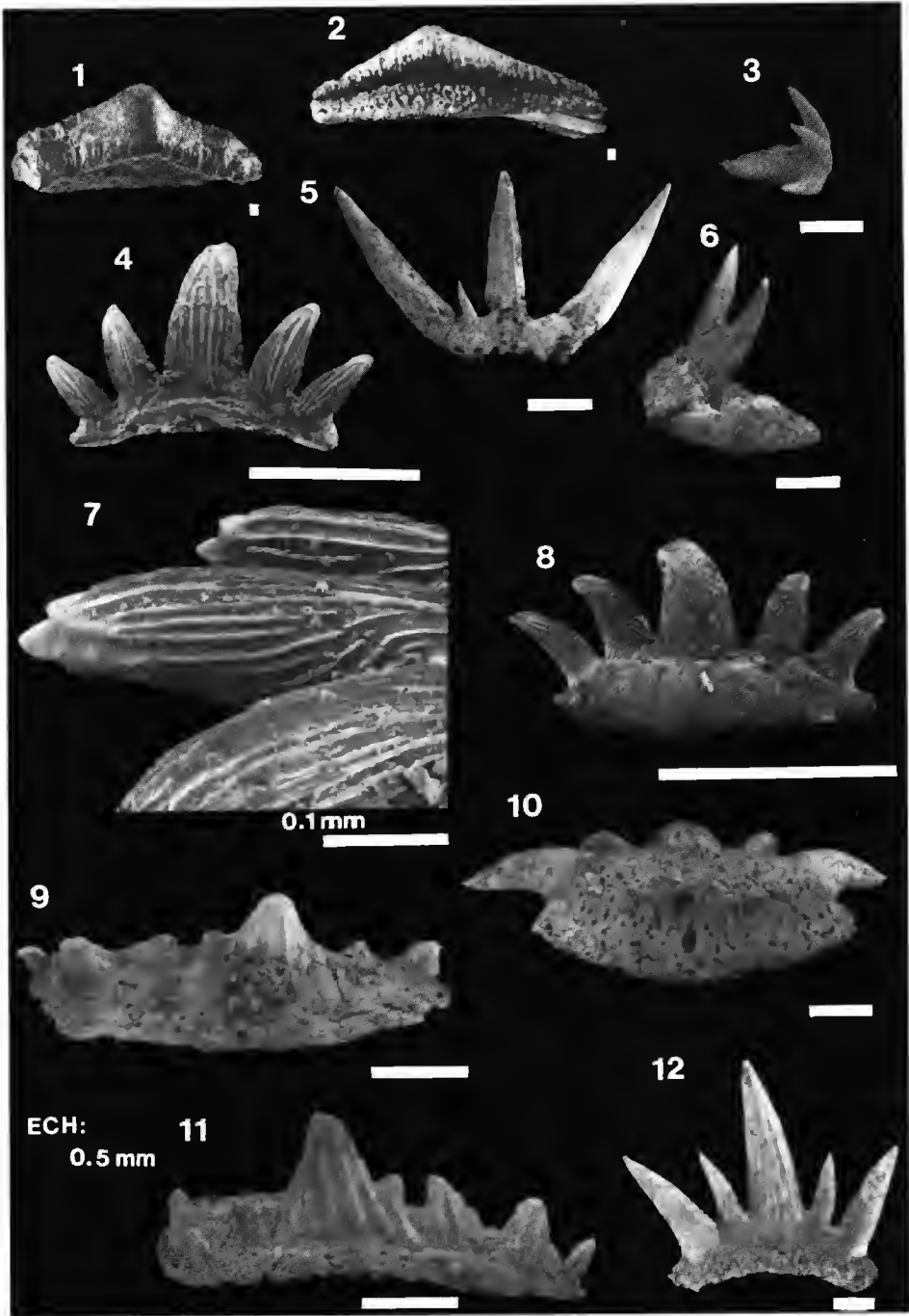


PLANCHE I

PLANCHE II

- 1-4. — *Ctenacanthus* sp. Avec MCD 5 (toit crânien de *Dunkleosteus marsaisi*) : 1, vue linguale ; de nombreux foramens soulignent la base (MCD 172). 2, vue labio-latérale ; les stries suivent la courbure des cuspidés (MCD 173). 3, vue labiale ; la couronne présente un grand nombre de cuspidés (MCD 173). 4, vue basale ; le « tablier » est visible du côté labial, au centre, sous la cuspide principale (MCD 173).
- 5-7. — *Stethacanthus*? sp. A. MCD 5 : 5, vue linguale ; un pore médian justifie la dénomination de base hémiaulacorhize (MCD 174). 6, vue labiale ; le « tablier » est localisé sous la cuspide principale (MCD 175). 7, vue basale ; la base présente de nombreux pores dont un se trouve au centre, le côté labial est orienté vers le haut de la planche (MCD 175).
- 8-9. — *Stethacanthus*? sp. B. MCD 176 avec MCD 5 : 8, vue linguale de la cuspide principale ; l'extrémité est cassée, les carènes latérales de la cuspide sont mises en évidence. 9, vue labiale ; un « tablier » labial est visible sous la cuspide principale.
- 10-11. — *Stethacanthus thomasii*. MCD 177 avec MCD 5 : 10, vue linguale ; un foramen principal médian apparaît sur cette face sous le bourrelet, il s'agit donc bien d'une base hémiaulacorhize. 11, vue basale ; un foramen au centre perce la base qui est donc de type hémiaulacorhize.

(Toutes les échelles = 0,5 mm, sauf celle de la fig. 8 qui est à 0,1 mm.)

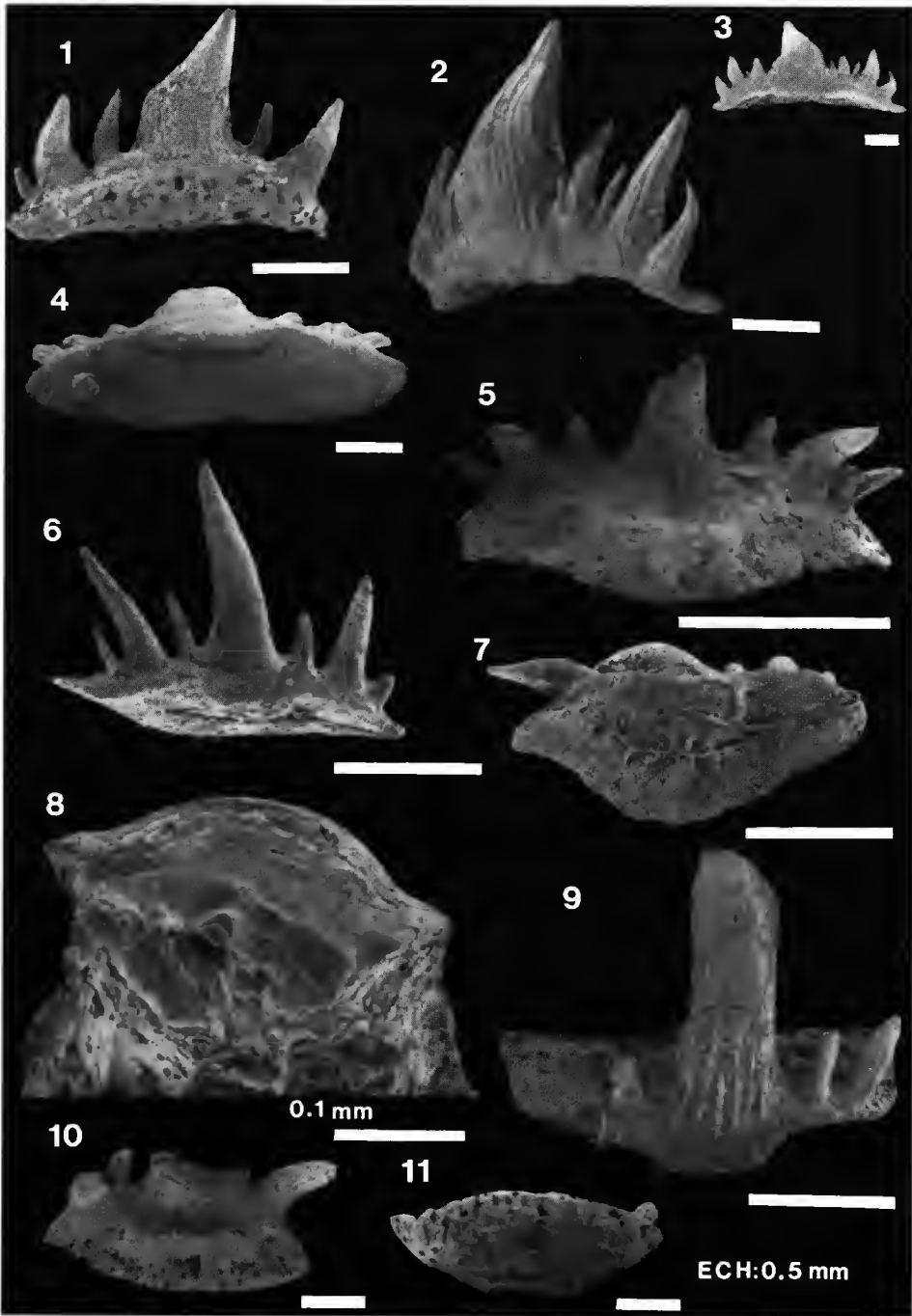


PLANCHE II

PLANCHE III

- 1-2. — *Cladolepis* sp. MCD 178 avec l'aiguillon MCD 150 : 1, vue coronale ; le bord antérieur est orienté vers le bas et la dissymétrie de la couronne par rapport à un axe antéro-dorsal apparaît. 2, vue latérale ; le bord antérieur convexe est orienté vers la droite de la planche.
3. — *Hercynolepis* ? sp. MCD 179 avec MCD 5 (toit crânien de *Dunkleosteus marsaisi*) : vue latérale ; les éléments de la couronne s'alignent sur deux files.
- 4, 6, 9. — *Ctenacanthus* ? sp. Avec MCD 5 : 4, vue latérale ; la face frontale de l'écaille est à gauche (MCD 180). 6, vue latérale ; le bord frontal est orienté vers la droite (MCD 181). 9, vue latérale ; le bord frontal est orienté vers la droite et des pores sont visibles sur le col (MCD 182).
- 5, 7. — Forme hybodontide. Avec MCD 5 : 5, vue latéro-coronale ; l'avant de l'écaille est orienté vers la droite de la planche ; le col est peu développé (MCD 183). 7, vue coronale ; la partie antérieure de l'écaille est dirigée vers le bas de la planche (MCD 184).
10. — Forme hybodontide ? (MCD 185) avec MCD 5 : vue latérale ; les éléments les plus jeunes sont localisés au centre de la couronne ; la base est convexe vers le bas.
8. — Ischnacanthiforme gen. et sp. indét. MCD 186 avec MCD 5 (?) : vue latérale ; il s'agit d'une dent symphysaire transformée en spirale. Les sept cuspides de la rangée sont nettement séparées.
11. — Écaille de Chondrichthyens MCD 187 avec MCD 5 : vue coronale ; les pointes des « lépidomoria » sont orientées vers l'arrière de l'animal.
12. — Os dentigère. MCD 188 avec MCD 5 (?) : vue linguale ; la courbure des deux rangées de cuspides semblent indiquer le côté lingual.
13. — *Ctenacanthus clarki*. MCD 150 (même spécimen que sur la planche IV) : vue latérale ; le bord dorsal (à gauche) présente des épines.
14. — *Ctenacanthus venustus*. MCD 75 (même spécimen que sur la planche V) : vue latérale ; détail de l'ornementation.  
(Toutes les échelles = 0,5 mm.)

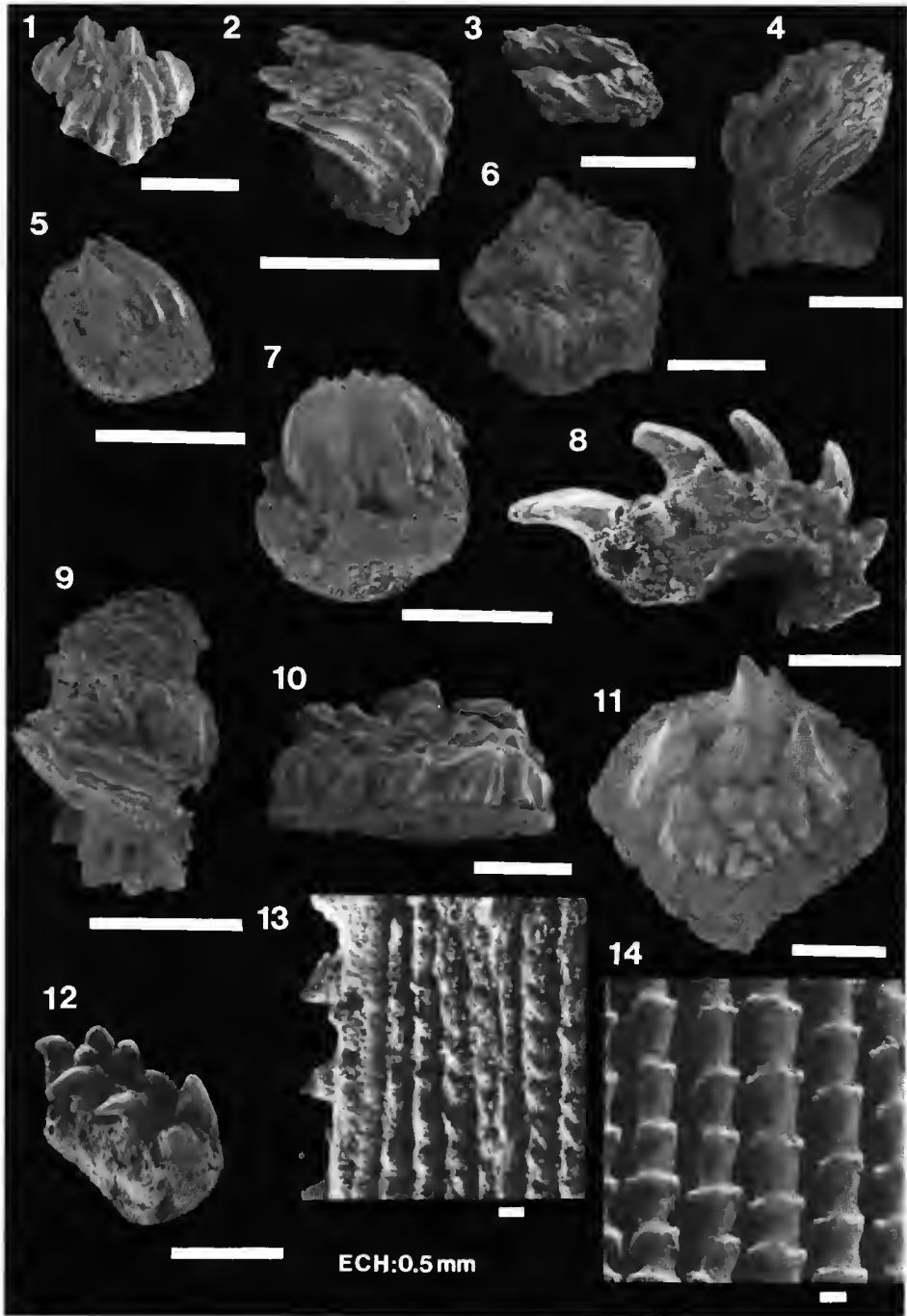


PLANCHE III

PLANCHE IV

1-2-3. — *Ctenacanthus clarki*. MCD 150 : 1, vue frontale ; mettant en évidence la biconvexité de l'aiguillon. 2, vue latérale gauche ; le bord frontal est orienté vers la gauche de la planche. 3, vue dorsale ; le canal est ouvert sur une grande longueur.

(Toutes les échelles = 1 cm.)



*PLANCHE IV*

PLANCHE V

1-2-3. — *Ctenacanthus venustus*. MCD 75 : 1, vue frontale ; les rides s'anastomosent. 2, vue latérale gauche ; le bord antérieur est dirigé vers la gauche de la planche. 3, vue dorsale ; l'extension réelle que pouvait avoir le sillon n'est plus visible puisque l'échantillon est altéré.

(*Toutes les échelles = 1 cm.*)



*PLANCHE V*



## Atlas photographique (MEB) des Metatheria et de quelques Eutheria du Paléocène inférieur de la formation Santa Lucía à Tiupampa (Bolivie)

par Larry G. MARSHALL et Christian DE MUIZON

**Résumé.** — La faune de mammifères du Paléocène inférieur de Tiupampa (Bolivie) est la plus ancienne connue dans le Tertiaire d'Amérique du Sud. Les Metatheria et quelques Eutheria de ce site sont illustrés sous forme d'un atlas de photos réalisées en microscopie électronique à balayage.

**Resumen.** — La fauna de mamíferos del Paleoceno inferior de Tiupampa (Bolivia) es la más antigua conocida en el Terciario de Sudamérica. Los Metatheria y algunos Eutheria de esta localidad están ilustrados en un atlas de fotografías realizadas con microscopio electrónico de barrido.

**Abstract.** — The mammal fauna of the early Paleocene of Tiupampa (Bolivia) is the oldest known in the Tertiary of South America. The Metatheria and some Eutheria of that locality are illustrated in an atlas of SEM photographs.

L. G. MARSHALL, *Institute of Human Origins, 2453 Ridge Road, Berkeley, California, 94709, USA.*

C. DE MUIZON, *URA 12 du CNRS, Institut de Paléontologie, Muséum national d'Histoire naturelle, 8, rue Buffon, 75005 Paris, France.*

En 1982, une expédition française, américaine et bolivienne découvrait une faune de mammifères exceptionnellement riche à Tiupampa (Bolivie), à environ 95 km au sud de Cochabamba. Les mammifères proviennent d'une formation de couches rouges reconnue maintenant comme étant la formation Santa Lucía, d'âge Paléocène inférieur (GAYET *et al.*, 1991). Initialement, la formation ayant produit la faune fut rapportée à la formation El Molino, d'âge Maastrichtien (MARSHALL *et al.*, 1983; MUIZON *et al.*, 1983). Les mammifères de Tiupampa constituent la faune-type de l'étage tiupampéen (MARSHALL, 1989; ORTIZ JAUREGUIZAR & PASCUAL, 1989; PASCUAL & ORTIZ JAUREGUIZAR, 1990) qui est la plus ancienne faune mammalienne connue dans le Tertiaire sud-américain.

La faune de mammifères de ce gisement a été partiellement décrite et publiée : MARSHALL *et al.* (1983), MUIZON *et al.* (1984), MARSHALL *et al.* (1985), MUIZON & MARSHALL (1987a), MUIZON & MARSHALL (1987b), MUIZON & MARSHALL (1987c), MARSHALL & MUIZON (1988), MUIZON & MARSHALL (1991) et MUIZON & MARSHALL (1992). La plupart des Marsupiaux et certains Placentaires décrits dans ces travaux ont été photographiés au microscope électronique à balayage, tandis que presque toutes les photos publiées ont été réalisées par des procédés optiques. Le but de ce travail est de présenter un atlas de toute la documentation disponible en

microscopie électronique de façon à permettre une meilleure accessibilité à l'information scientifique. La systématique des Métathériens suivie dans ce travail est en partie celle proposée par MARSHALL *et al.* (1989).

Selon l'opinion du premier auteur, L. G. MARSHALL (voir commentaire ci-dessous), la liste faunique des espèces présentées ici peut s'énoncer comme suit :

Classe Mammalia

Infra-classe Metatheria

Ordre Sparassodonta

Famille HATHILIACINIDAE.

*Allqokirus australis* Marshall & Muizon, 1988

Ordre Deltatheroidea

Famille indet.

*Jaskhadelphys minutus* Marshall & Muizon, 1988 (voir commentaire ci-dessous)

Ordre Peradectia

Famille PERADECTIDAE

Sous-famille PERADECTINAE

*Peradectes austrinum* (Sigé, 1971)

Sous-famille CAROLOAMEGHINIINAE

*Roberthoffstetteria nationalgeographica* Marshall *et al.*, 1983

Ordre Microbiotheria

Famille MICROBIOTHERIIDAE

*Khasia cordillerensis* Marshall & Muizon, 1988

Ordre Didelphimorphia

Famille DIDELPHIIDAE

Sous-famille DIDELPHINAE

*Pucadelphys andinus* Marshall & Muizon, 1988

*Incadelphys antiquus* Marshall & Muizon, 1988

*Mizquedelphys pilpinensis* Marshall & Muizon, 1988

Sous-famille EOBRAZILINAE

*Tiulordia floresi* Muizon & Marshall, 1988

Ordre Paucituberculata

Famille KOLLPANIIDAE

*Kollpania tiupampina* Marshall & Muizon, 1988 (voir commentaire ci-dessous)

Ordre indet.

Famille indet.

*Audinodelphys cochabambensis* Marshall & Muizon 1988 (voir commentaire ci-dessous)

Infra-classe Eutheria

Ordre Leptictida

Famille PALAEORYCTIDAE?

cf. *Cimolestes* sp.

Le second auteur de ce travail (C. DE MUIZON, 1991) exprime une opinion différente concernant certains points de la classification présentée ici. C. DE MUIZON considère que :

1) *Jaskhadelphys minutus* n'est pas un Deltatheroidea mais un Didelphimorphia et que cette espèce doit être rangée dans une famille nouvelle;

2) *Andinodelphys cochabambensis* appartient bien à la famille des Didelphidae et à la sous-famille des Didelphinae, comme l'ont exprimé MARSHALL & MUIZON (1988);

3) le spécimen-type de *Kollpania tiupampina* (YPFB Pal 6235) n'appartient pas à l'Infra-classe des Metatheria, Ordre des Paucituberculata, mais doit être attribué à une dent lactéale (D4 gauche) de Condylarthra.

Les arguments sur lesquels reposent ces trois interprétations sont présentés dans un autre travail (MUIZON, 1991).

La numérotation des dents jugales des Marsupiaux utilisée ici est celle employée par MARSHALL & MUIZON (1988) où les prémolaires sont désignées par P1, P2 et P3; la dent déciduale est la M1, et les molaires définitives sont les M2, M3, M4 et M5.

*Abréviations* : c, canine inférieure; m, molaire inférieure; M, molaire supérieure; p, prémolaire inférieure; P, prémolaire supérieure; MNHN, Muséum national d'Histoire naturelle, Paris; YPFB Pal, Collections de Paléontologie de Yacimientos Petrolíferos y Fiscales de Bolivia, Santa Cruz, Bolivia.

Les photos en microscopie électronique ont été prises par Christiane WEBER-CHANCOGNE, URA 12 du CNRS, Institut de Paléontologie, Muséum national d'Histoire naturelle, Paris.

#### Remerciements

Cette étude a été réalisée grâce à huit subventions de l'Action Spécifique « Paléontologie Sud-américaine » (N° 1337) du MNHN, trois subventions de la « National Geographic Society » (2467-82, 2908-84, 3381-86), une subvention du « Gordon Barbour fund », Department of Geological and Geophysical Sciences, Princeton University, deux subventions de la « National Science Foundation » (EAR-8804423, INT-8814059), une subvention de recherche collaborative de l'OTAN (86/0013) et deux contrats de professeur associé octroyés par le MNHN, Paris, à L. G. MARSHALL.

#### RÉFÉRENCES

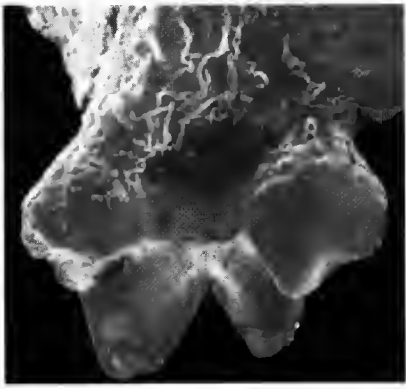
- GAYET, M., L. G. MARSHALL et T. SEMPÈRE, 1991. — The Mesozoic and Paleocene vertebrates of Bolivia and their stratigraphic context : a review. *Revta técnica Yacim. Petrol. fisc. Bolivia*, **12** (3-4) : 393-433.
- MARSHALL, L. G., 1989. — The K-T boundary in South America : on which side is Tiupampa? *Natl. Geogr. Res.*, **5** (3) : 268-270.
- MARSHALL, L. G., J. A. CASE et M. O. WOODBURNE, 1989. — Phylogenetic relationships of the families of marsupials. *Curr. Mammalogy*, **2** : 433-502.
- MARSHALL, L. G., et C. DE MUIZON, 1988. — The dawn of the age of mammals in South America. *Natl. Geogr. Res.*, **4** (1) : 23-55.
- MARSHALL, L. G., C. DE MUIZON, M. GAYET et B. SIGÉ, 1985. — The « Rosetta stone » for mammalian evolution in South America. *Natl. Geogr. Res.*, **1** : 274-288.
- MARSHALL, L. G., C. DE MUIZON et B. SIGÉ, 1983. — Late Cretaceous mammals (Marsupialia) from Bolivia. *Géobios*, **16** : 739-745.
- MUIZON, C. DE, 1991. — La fauna de mamíferos de Tiupampa (Paleoceno inferior, Formación Santa Lucía, Bolivia). *Revta técnica Yacim. Petrol. fisc. Bolivia*, **12** (3-4) : 575-623.

- MUIZON, C. DE, M. GAYET, A. LAVENU, L. G. MARSHALL et C. VILLARROEL, 1983. — Late Cretaceous vertebrates including mammals from Bolivia. *Géobios*, **16** (6) : 747-753.
- MUIZON, C. DE, et L. G. MARSHALL, 1987a. — Le plus ancien Pantodonte (Mammalia) du Crétacé supérieur de Bolivie. *C. r. Acad. Sci., Paris*, sér. II, **304** (5) : 205-208.
- MUIZON, C. DE, et L. G. MARSHALL, 1987b. — Le plus ancien Condylarthre (Mammalia) sud-américain (Crétacé supérieur, Bolivie). *C. r. Acad. Sci., Paris*, sér. II, **304** : 771-774.
- MUIZON, C. DE, et L. G. MARSHALL, 1987c. — Deux nouveaux Condylarthres (Mammalia) du Maastrichtien de Tiupampa (Bolivie). *C. r. Acad. Sci., Paris*, sér. II, **304** : 947-950.
- MUIZON, C. DE, et L. G. MARSHALL, 1991. — Nouveaux Condylarthres du Paléocène inférieur de Tiupampa. *Bull. Mus. natl. Hist. nat.*, Paris, 4<sup>e</sup> sér., **13**, sect. C (3-4) : 279-326.
- MUIZON, C. DE, et L. G. MARSHALL, 1992. — *Alcidedorbignya inopinata* (Mammalia, Pantodonta) from the Early Paleocene of Bolivia : phylogenetic and paleobiogeographic implications. *J. Paleont* (sous presse).
- MUIZON, C. DE, L. G. MARSHALL et B. SIGÉ, 1984. — The mammal fauna from the El Molino Formation (Late Cretaceous-Maastrichtian) at Tiupampa, South-Central Bolivia. *Bull. Mus. natl. Hist. nat.*, Paris, 4<sup>e</sup> sér., **6**, sect. C, (4) : 327-351.
- ORTIZ JAUREGUIZAR, E., et R. PASCUAL, 1989. — South American land-mammal faunas during the Cretaceous-Tertiary transition : evolutionary biogeography. *Contrib. Simp. Cretacico Amer. Lat.* Parte A : Eventos y registro sedimentario (Buenos Aires, 6-9 junio 1969) : 231-252.
- PASCUAL, R., et E. ORTIZ JAUREGUIZAR, 1990. — Evolving climates and mammal faunas in the Cenozoic of South America. *J. Hum. Evol.*, **19** : 32-50.

---

PLANCHE I

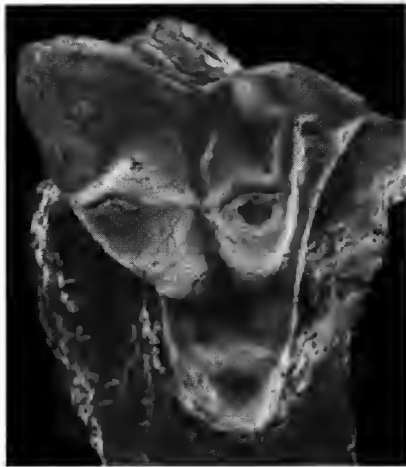
- A-C. — *Allgokirus australis*, YPFB Pal 6104 (type), fragment de maxillaire droit avec la M3 : A, vue labiale ; B, vue occlusale ; C, vue linguale.
- D-F. — *Allgokirus australis*, YPFB Pal 6190, m4? gauche isolée : D, vue labiale ; E, vue occlusale ; F, vue linguale.



A



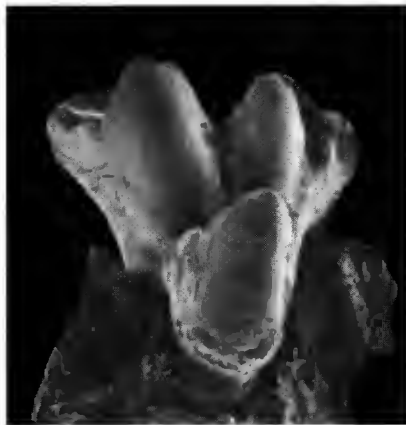
D



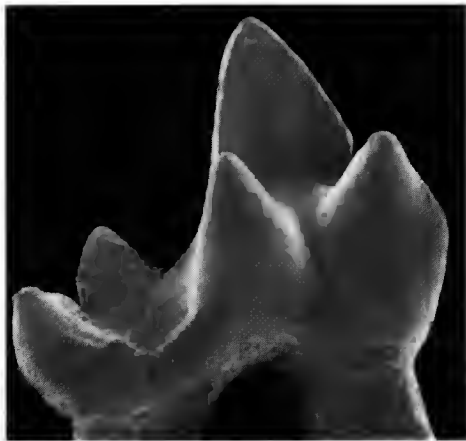
B



E



C



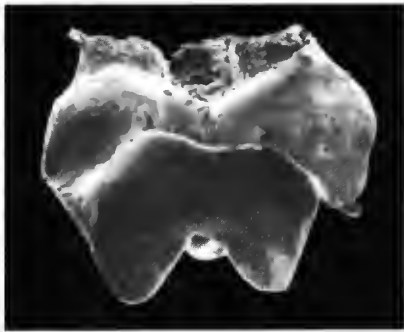
F

1mm

PLANCHE I

PLANCHE II

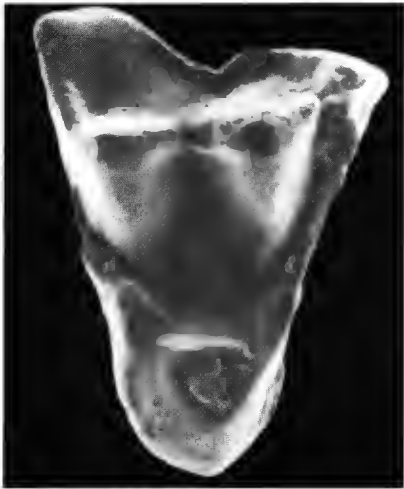
- A-C. — *Khasia cordillerensis*, YPFB Pal 6133 (type), M4 droite isolée : A, vue latérale ; B, vue occlusale ; C, vue linguale.  
D-F. — *Khasia cordillerensis*, YPFB Pal 6134, m3 ou m4 droite : D, vue labiale ; E, vue occlusale ; F, vue linguale.



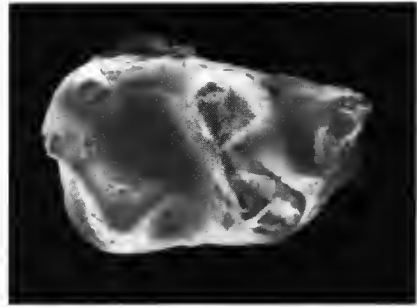
A



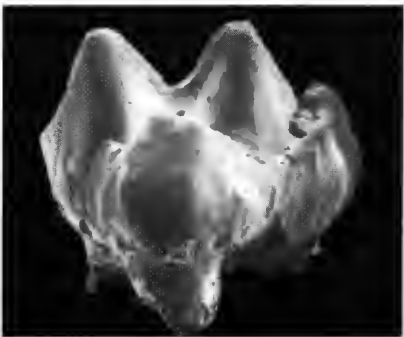
D



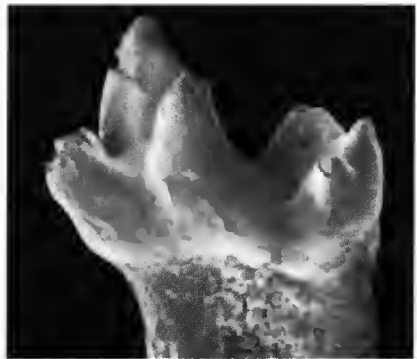
B



E



C



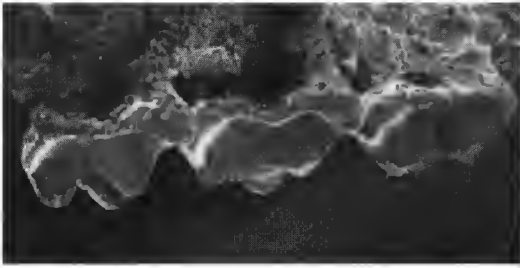
F

1mm

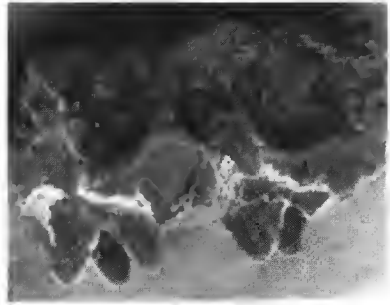
*PLANCHE II*

PLANCHE III

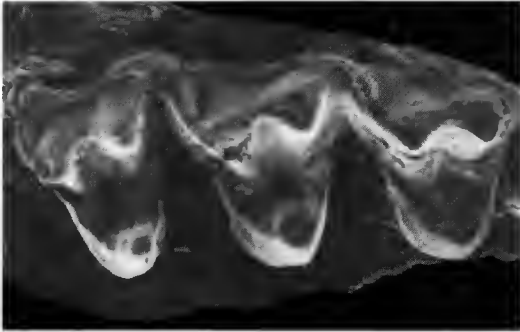
- A-C. — *Khasia cordillerensis*, YPFB Pal 6486, fragment de maxillaire droit avec M2-4 : A, vue labiale ; B, vue occlusale ; C, vue linguale.
- D-F. — *Jaskhadelphys minutus*, YPFB Pal 6195 (type), fragment de maxillaire droit avec M3-4 ? : D, vue labiale ; E, vue occlusale ; F, vue linguale.



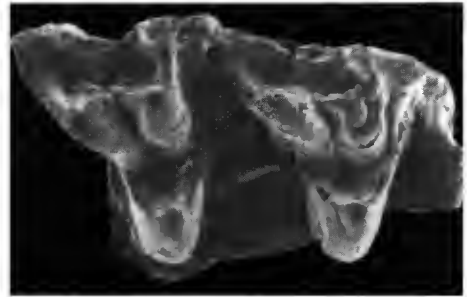
A



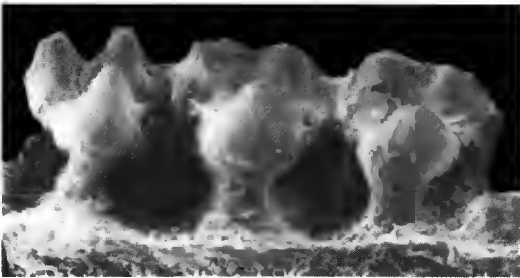
D



B

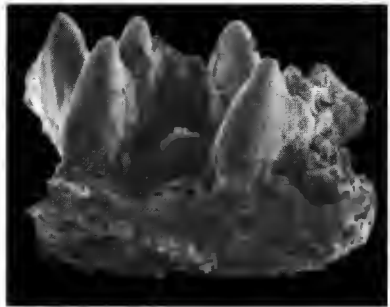


E



C

1mm



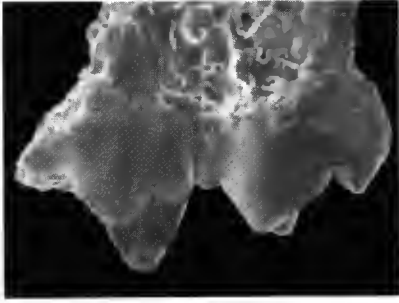
F

1mm

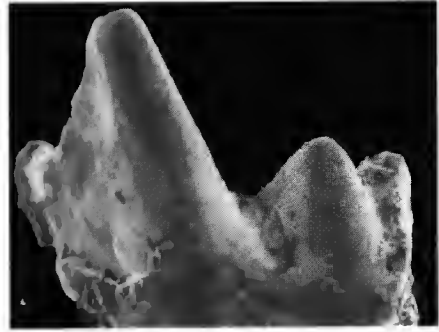
PLANCHE IV

A-C. — *Andinodelphys cochabambensis*, YPFB Pal 6192 (type), M4? droite isolée : A, vue labiale ; B, vue occlusale ; C, vue linguale.

D-F. — *Andinodelphys cochabambensis*, YPFB Pal 6194, m4? gauche isolée : D, vue labiale ; E, vue occlusale ; F, vue linguale.



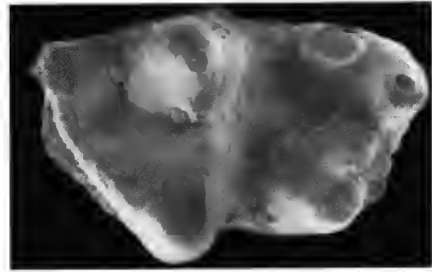
A



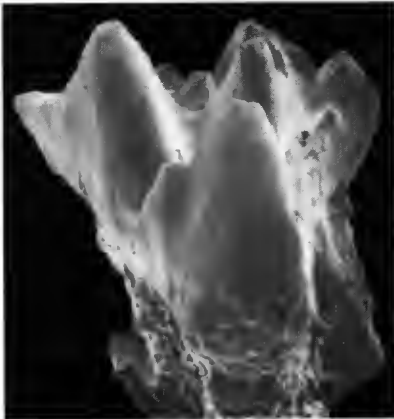
D



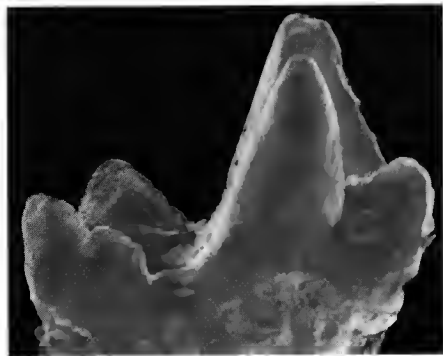
B



E



C



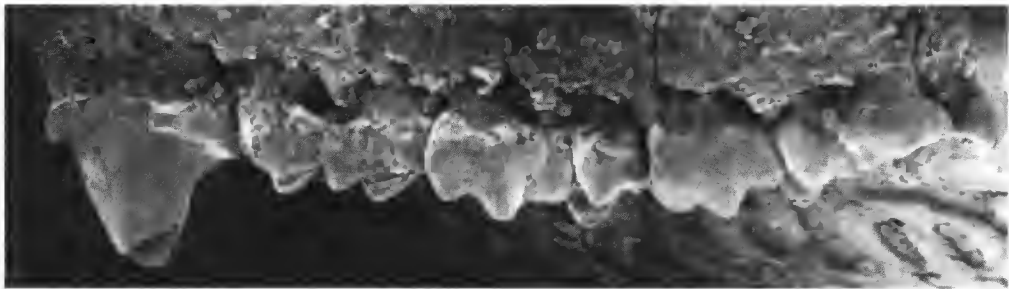
F

1 mm

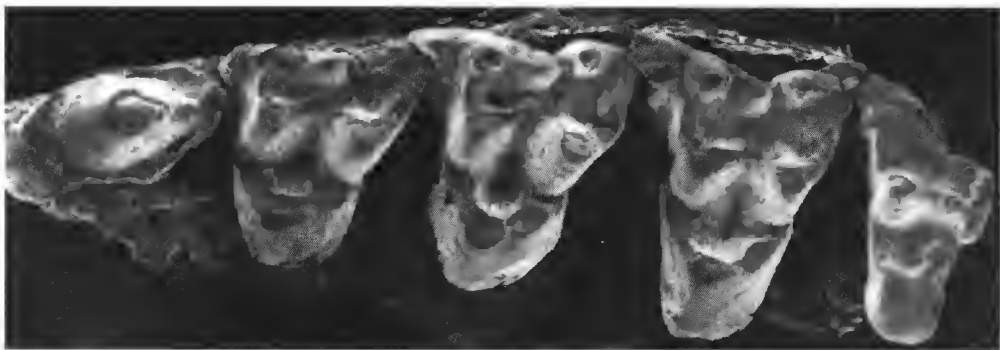
*PLANCHE IV*

PLANCHE V

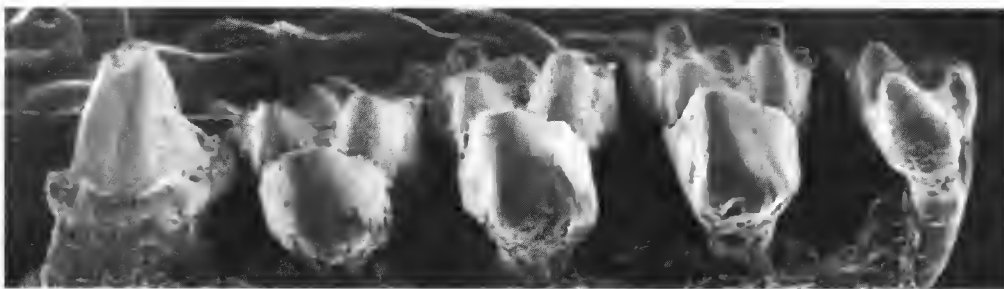
A-C. — *Pucadelphys andinus*, YPFB Pal 6470, maxillaire gauche avec P3-M5 : A, vue labiale ; B, vue occlusale ; C, vue linguale.



A



B



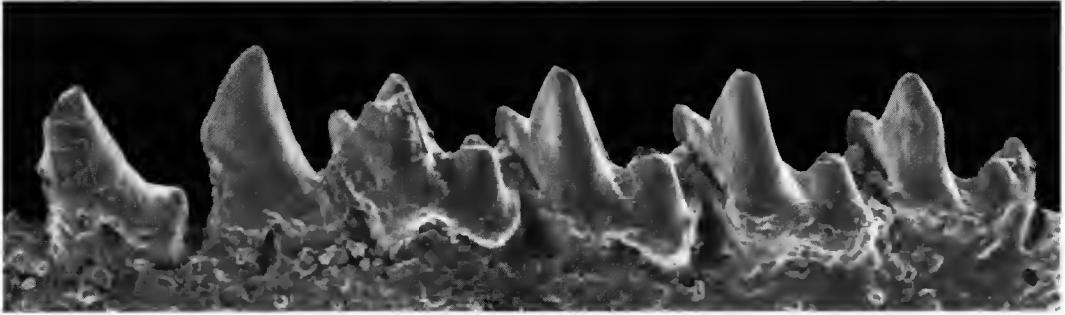
C

1mm

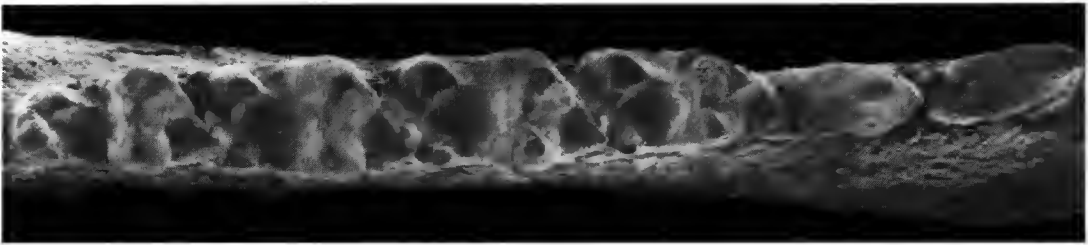
*PLANCHE V*

PLANCHE VI

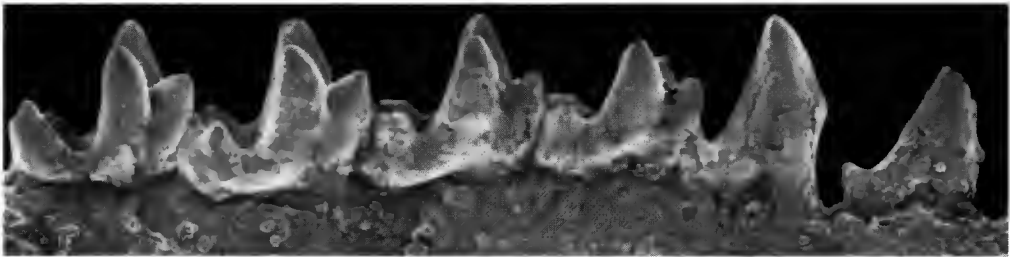
A-C. — *Pucadelphys andinus*, YPFB Pal 6109, dentaire gauche avec p2-m5 : A, vue labiale ; B, vue occlusale ; C, vue linguale.



A



B

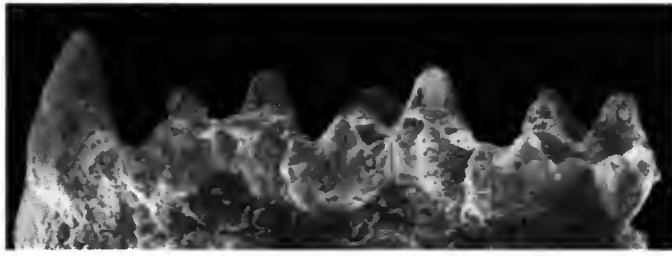


C

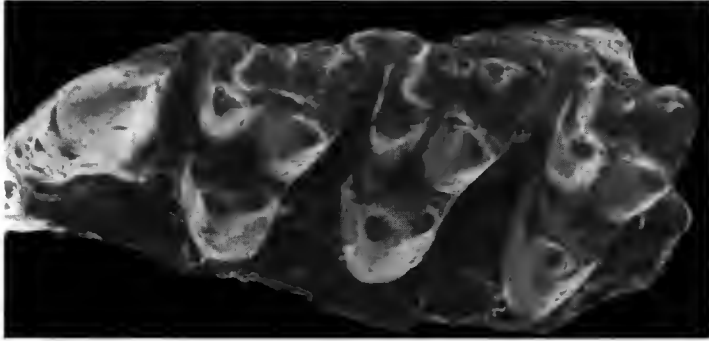
1mm

PLANCHE VII

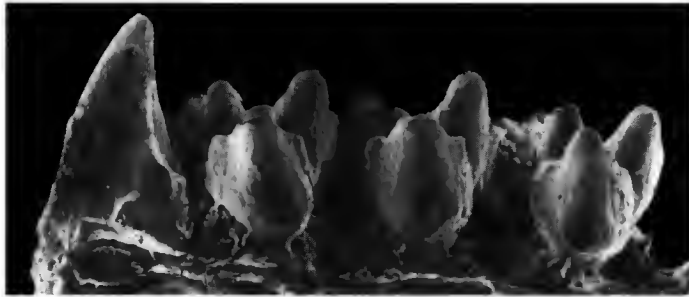
A-D. — *Mizquedelphys pilpinensis*, YPFB 6196 (type), maxillaire gauche avec P3-M4 : A, vue labiale ; B, vue occlusale ; C, vue linguale ; D, vue postéro-linguale.



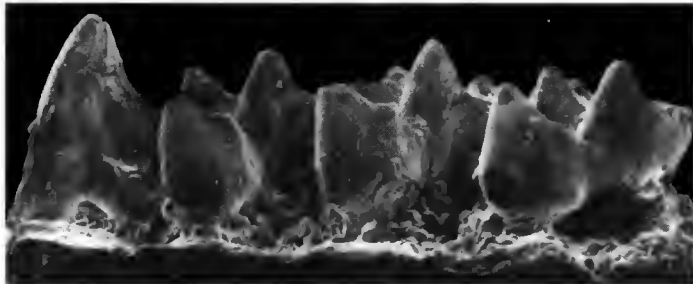
A



B



C



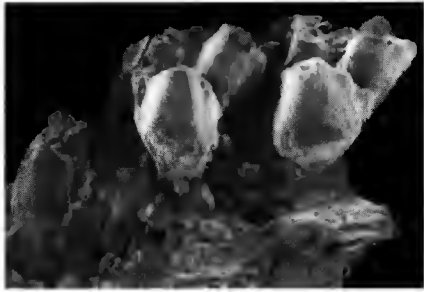
D

1 mm

*PLANCHE VII*

PLANCHE VIII

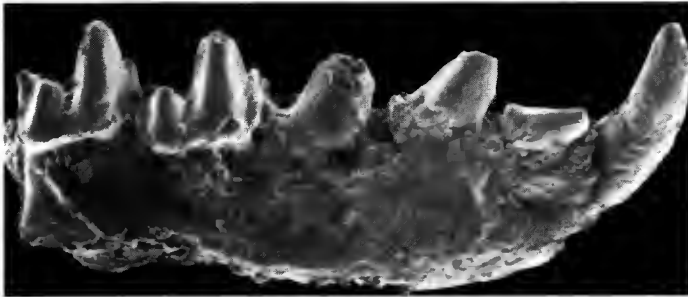
A-B. — *Tiulordia floresi*, YPFB Pal 6191 (type), maxillaire gauche avec M3-4 : A, vue linguale ; B, vue occlusale.  
C-E. — *Tiulordia floresi*, YPFB Pal 6191 (type), dentaire gauche avec c-m3 : C, vue labiale ; D, vue occlusale ; E, vue linguale.



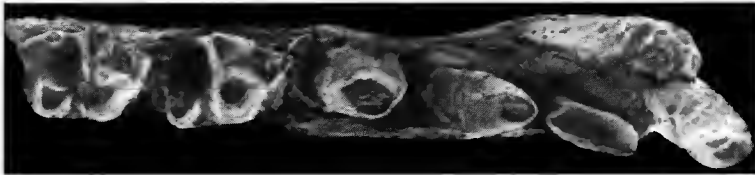
A



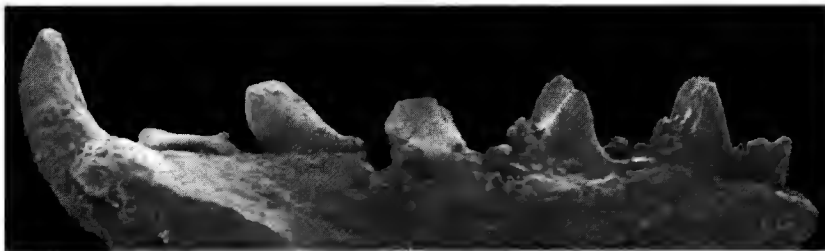
B



C



D



E

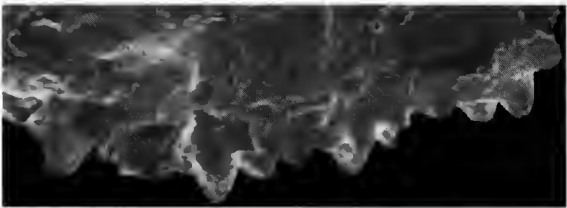
1mm

*PLANCHE VIII*

PLANCHE IX

- A-C. — *Inca delphys antiquus*, YPFB Pal 6251 (type), maxillaire droit avec M1-M4 (M4 en éruption) : A, vue labiale ; B, vue occlusale ; C, vue linguale.
- D-F. — *Inca delphys antiquus*, YPFB Pal 6251 (type), maxillaire gauche avec P1-2 et M1-4 (M4 en éruption) : D, vue labiale ; E, vue occlusale ; F, vue linguale.

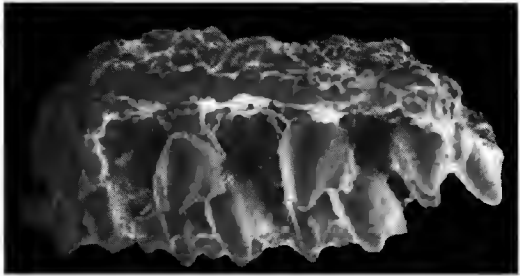
PLANCHE IX



A

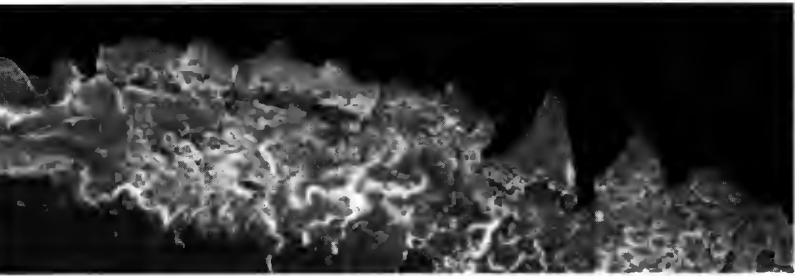


B

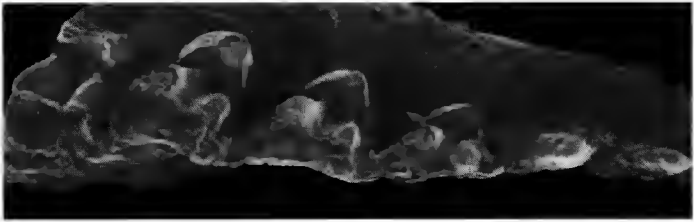


C

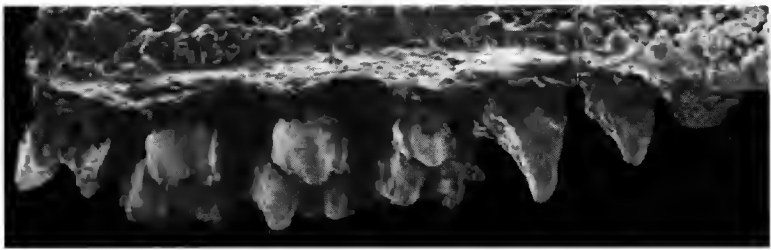
1mm



D



E



F

PLANCHE X

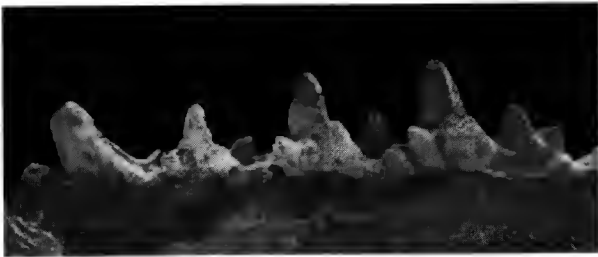
- A-C. — *Incadelphys antiquus*, YPFB Pal 6251 (type), dentaire droit avec p2 et m1-4 (m4 en éruption) : A, vue labiale ; B, vue occlusale ; C, vue linguale.
- D-F. — *Peradectes austrinum*, YPFB Pal 6132, molaire supérieure gauche isolée (M3 ou M4), dont manque l'angle antéro-labial de la couronne : D, vue labiale ; E, vue occlusale ; F, vue linguale.



A

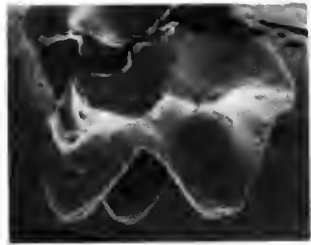


B



C

1mm



D



E

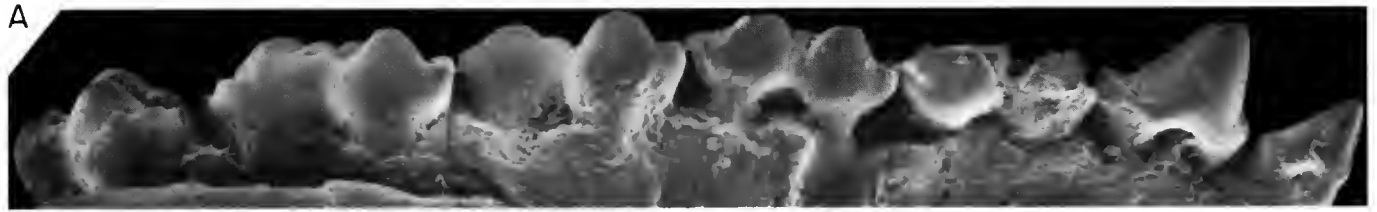


F

1mm

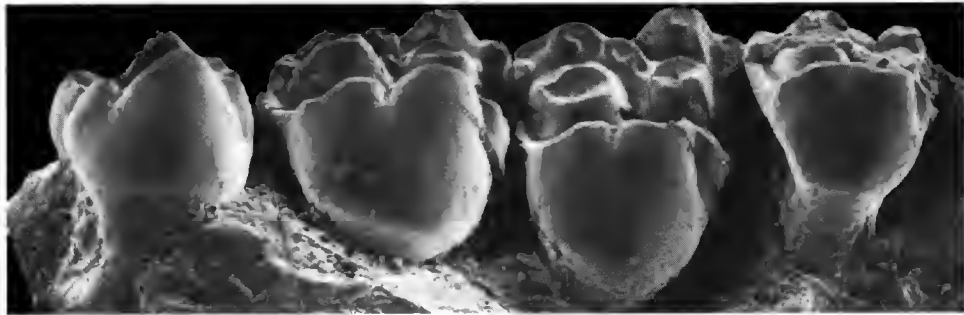
PLANCHE XI

A-C. — *Roberthoffstetteria nationalgeographica*, MNHN Vil 99 (type), maxillaire droit avec P1-M5 (la couronne de la P3 est brisée) : A, vue labiale ; B, vue occlusale ; C, vue linguale.



B

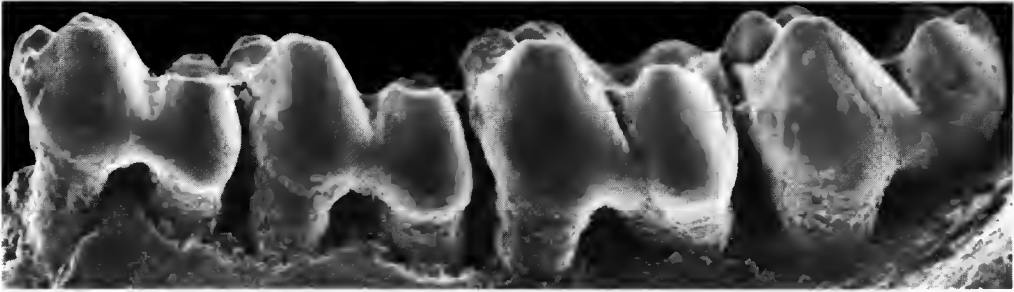
1mm



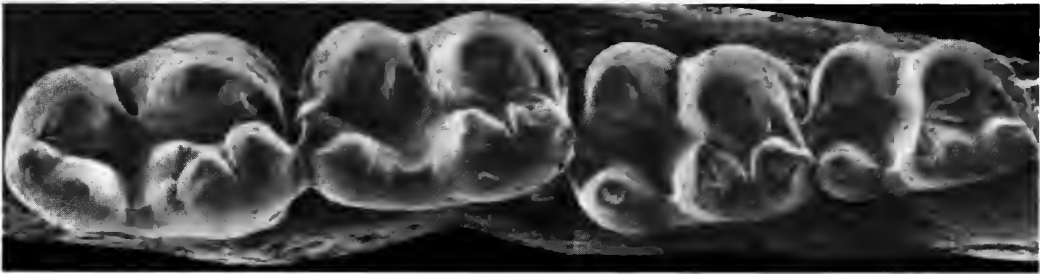
C

PLANCHE XII

A-C. — *Roberthoffstetteria nationalgeographica*, MNHN Vil 100, dentaire gauche avec m2-m5 : A, vue labiale ; B, vue occlusale ; C, vue linguale.



A



B



C

1mm

PLANCHE XIII

A-C. — *Kollpania tiupampina*, YPFB Pal 6135 (type), M4? gauche isolée : A, vue labiale; B, vue occlusale; C, vue linguale.

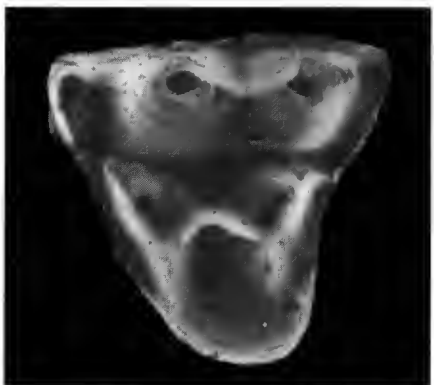
D-F. — Cf. *Cimolestes*, YPFB Pal 6131, m2 gauche isolée : D, vue labiale; E, vue occlusale; F, vue linguale.



A



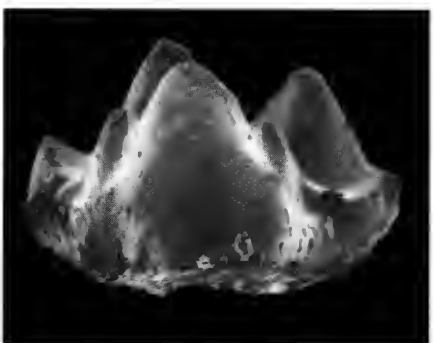
D



B



E



C



F

1 mm

1 mm



## **GEOCORES : Inventaire informatisé des roches et sédiments marins conservés au Muséum national d'Histoire naturelle**

par Jean-Pierre CAULET, Pierre CLÉMENT et Pierre-Jean GIANNESINI

**Résumé.** — L'inventaire informatisé des sédiments océaniques déposés dans les collections du Muséum recense les descriptions géographiques, lithologiques et stratigraphiques qui caractérisent les matériaux stockés. Il renferme en outre des indications sur l'état de conservation et les recherches déjà entreprises. Son but est de faciliter la gestion scientifique et pédagogique de la collection. Les données proviennent des observations réalisées par L. LECLAIRE, Y. BASSIAS, J.-P. CAULET, P. CLÉMENT, M. DENIS-CLOCCHIATTI, F. FRÖHLICH, P.-J. GIANNESINI et les équipes des différentes campagnes à la mer.

*GEOCORES* : A computerized information file for marine rocks and marine sediments from the collections of the Muséum national d'Histoire naturelle. Abridged english version : p. 103-108.

J.P. CAULET, P. CLÉMENT, P.-J. GIANNESINI, *Laboratoire de Géologie, Muséum national d'Histoire naturelle, 43, rue Buffon, 75005 Paris (URA 723 du CNRS).*

---

*Ce catalogue est un témoignage de l'engagement et de l'enthousiasme envers la géologie marine de Lucien LECLAIRE, Professeur au Muséum national d'Histoire naturelle, fondateur de la lithothèque marine. Son œuvre se poursuit.*

### INTRODUCTION

La lithothèque marine du Muséum national d'Histoire naturelle (Laboratoire de Géologie) comprend à ce jour 3 720 m de carottes de sédiments et 20 tonnes de nodules, enroulements polymétalliques et roches diverses.

Ces matériaux proviennent principalement des grands fonds de l'océan Indien et, pour une moindre part, de la mer Rouge et de l'Atlantique Nord. Ils ont été récoltés au cours de 481 carottages à piston, 51 carottages boîtes, 64 dragages et 43 chalutages. A cela s'ajoutent 30 caméras sous-marines (plus de 3 000 photographies en noir et blanc et couleur), associées généralement aux opérations de prélèvements.

Cette lithothèque est le fruit du développement des programmes de géologie marine associant surtout le Territoire des Terres Australes et Antartiques Françaises et le Muséum national d'Histoire naturelle depuis 1972. Les opérations évoquées ci-dessus ont été exécutées

au cours de vingt campagnes océanologiques (19 avec le « Marion Dufresne » et 1 avec le « Suroît »), le plus souvent en collaboration avec des équipes de géophysiciens, de biologistes, de géochimistes et d'océanographes hydrodynamiciens. Amorcée en 1973, lors de la campagne d'essais des appareillages du « Marion Dufresne », la collection de sédiments et de roches marines s'est poursuivie au fil des campagnes océanologiques en fonction de l'avancement de l'étude des grands corps sédimentaires de l'océan Indien.

La construction, en 1975, d'une première chambre froide, puis en 1984 d'une extension plus importante, dans les locaux du Laboratoire, a permis le stockage à l'état frais des matériaux meubles ainsi qu'une partie témoin des roches et nodules à oxydes polymétalliques. L'organisation des campagnes s'étant inspirée des formules retenues par les différentes Institutions océanographiques américaines et le Deep Sea Drilling Project, une description lithologique et stratigraphique préliminaire a été systématiquement réalisée à bord pour les différents échantillons prélevés. L'ensemble de ces données joint à celui des descripteurs habituels (localisation, profondeur, état de conservation, etc.) a été informatisé dans une banque de données enregistrée sous le nom de GEOCORES.

En valorisant l'information potentiellement disponible dans les prélèvements, mais non acquise ou non utilisée dans les thèmes de recherche actuellement en cours, la lithothèque marine et la banque GEOCORES peuvent servir à concevoir et réaliser de nouveaux objectifs scientifiques. Elle autorise aussi l'illustration pédagogique concrète des campagnes et doit permettre de limiter les actions redondantes au niveau des prélèvements sur le terrain.

Cet inventaire informatisé des prélèvements conservés au Muséum fait suite à celui publié en 1984 (J.-P. CAULET, P. CLÉMENT et P. MILLELIRI). Les informations disponibles à l'époque ont été d'abord mises à jour et complétées. De nouvelles données résultant des dernières campagnes océanographiques du « Marion Dufresne » ont été ensuite intégrées. Des modifications ont été enfin apportées pour des raisons pratiques de gestion ; en particulier, certains prélèvements ont été renumérotés selon l'engin de prélèvement (drague, chalut, caméra sous-marine), suivant l'ordre chronologique.

L'ambition de ce catalogue des roches et sédiments marins conservés au Muséum est donc de mettre à la disposition de tous les utilisateurs intéressés une description succincte mais utile des matériaux disponibles et de leurs principales caractéristiques sédimentologiques. Présenté sous forme de listings relatifs à chacune des campagnes océanographiques et accompagné de cartes des routes suivies (avec position des stations), il doit donner aux chercheurs la possibilité de trier rapidement les échantillons à demander en communication et ouvre la voie à une consultation informatisée dans le cadre du Centre Informatique du Muséum.

Pour une plus large diffusion au sein de la communauté scientifique internationale, une version anglaise simplifiée est adjointe au texte français.

La publication en cours des rapports de mission vient compléter les observations déjà disponibles au travers de GEOCORES (voir liste annexe).

## I. NATURE DU MATÉRIEL CONSERVÉ — CONDITIONS DE STOCKAGE

### 1. Échantillons conservés à basse température

Avec un volume de 220 m<sup>3</sup>, la lithothèque froide (composée de deux chambres), installée au laboratoire de Géologie, permet de conserver, à 4° C et 84 % d'humidité, 3,7 km de carottes disposées sur 228 clayettes d'accès facile.

D'une façon générale, les sédiments entreposés restent à l'état « frais » sauf ceux qui ont été prélevés longtemps avant la mise en route de la lithothèque marine ou qui proviennent de navires dépourvus d'encintes réfrigérées.

Le matériel stocké comprend :

#### a — *Les carottes de sédiments*

Elles sont de deux types :

— grandes carottes à piston, prélevées au moyen d'un carottier type Kullenberg amélioré;

— carottes « pilotes », courtes, obtenues par un petit carottier à gravité servant de contrepoids au grand carottier à piston.

Les grandes carottes (jusqu'à 53 m) existent en deux largeurs : 6 cm et 10 cm. Toutes sont conservées dans leur chemise plastique d'origine, sous forme de deux demi-sections. Tronçonnées à bord en sections de 1,5 m de long au moins, les carottes sont en effet séparées longitudinalement en demi-sections. Une moitié de la carotte est destinée au « travail », l'autre moitié est conservée en « archive ».

Les deux moitiés de chaque section sont enfermées, à bord, dans des étuis plastiques avec une éponge saturée d'eau. Le stockage de ces étuis est effectué dans des enceintes à 4° C à bord, puis au Laboratoire (chambre froide de travail; chambre froide d'archives).

#### b — *Les coffres et prélèvements des carottiers à grande section*

Les sédiments, avec ou sans nodules polymétalliques, prélevés par les carottiers à grande section (soit de type AET : un quart de mètre carré sur 1 m de haut; soit de type SIPAN : un mètre carré sur 1 m de haut) sont stockés au froid sous plusieurs formes :

— coffres en PVC transparent renfermant une tranche complète de sédiment (épaisseur moyenne de 10 cm); ces coffres sont remplis, scellés, dès l'arrivée du matériel sur le pont et conservés ensuite dans des conditions identiques à celles des carottes;

— prélèvements volumétriques de tailles variées effectués à l'aide de seringues dès l'ouverture des carottiers à grande section; enfermés dans des boîtes plastiques, ces échantillons sont d'accès plus aisé que ceux disposés dans les coffres;

— boîtes plastiques de tailles variées renfermant du sédiment, emplies et stockées comme les coffres.

## 2. Matériel conservé à température ambiante

a — *Nodules polymétalliques et roches draguées ou chalutées.*

Ces matériaux sont stockés dans des bailles ou des boîtes plastiques en lithothèque à température ambiante.

Quelques échantillons sont toutefois conservés en lithothèque froide à titre de témoins.

b — *Nodules et croûtes interstratifiés dans les carottes et conservés dans des boîtes plastiques.*

c — *Débris de sédiments récupérés dans l'ogive ou dans le core-catcher des carottiers et également stockés dans des boîtes plastiques.*

## II. DESCRIPTION DES SÉDIMENTS — RÉSUMÉ DES TECHNIQUES EMPLOYÉES

### 1. Description visuelle des sédiments

La description visuelle des carottes est en général réalisée dès l'ouverture des sections à bord.

Les principales unités lithologiques sont grossièrement distinguées d'après leur couleur et leur texture. La couleur est notée selon les codes de la Rock Color Chart. L'analyse texturale est basée sur des paramètres tels que la granulométrie, l'état d'hydratation, le degré de compaction et de lithification.

La nature des contacts entre les unités successives (contact progressif, net...) est ensuite enregistrée, de même que la présence de bancs interstratifiés, laminations, bancs de nodules, etc.

Une attention spéciale est apportée à la recherche des remaniements, ou des terriers, ou des traces de fouissage, etc.

L'état de conservation est noté, de même que la présence éventuelle de lessivages ou de perturbations mécaniques dues soit à l'ouverture des chemises, soit au mauvais fonctionnement du carottier (pistonnage).

Toutes ces observations sont inscrites sur une fiche spéciale puis résumées dans GEOCORES.

### 2. Étude lithologique des sédiments

Une première étude lithologique est faite immédiatement à bord, à partir de frottis pour les échantillons meubles (au moins un par unité lithologique définie par description visuelle) et de lames minces pour les éléments rocheux.

Des analyses complémentaires sont ensuite effectuées au Laboratoire, de manière à connaître les paramètres physiques (densité, porosité...), les taux de  $\text{CaCO}_3$  pour recalculer l'estimation semi-quantitative effectuée à bord sur frottis, et éventuellement la diffraction X et la microsonde pour l'identification des fractions cristallines et définir les affinités pétrographiques et géochimiques des roches.

Les données ainsi recueillies permettent de déterminer les composants principaux, secondaires et remarquables des échantillons répertoriés dans GEOCORES.

### 3. Étude stratigraphique

Après les observations préliminaires effectuées à bord, la stratigraphie est ensuite affinée au laboratoire.

Les niveaux étudiés en frottis sont généralement datés grâce aux nannofossiles ou aux Radiolaires. Dans le premier cas, les âges sont donnés selon la biozonation de MARTINI (1971), modifiée par M. DENIS-CLOCCHIATTI pour le Quaternaire. Pour les Radiolaires, les biozonations de RIEDEL et SANFILIPPO (1978), PETRUSHEVSKAYA (1975), CAULET (1979), JOHNSON *et al.* (1989), ont été utilisées en fonction de la latitude.

Quelquefois, les âges ont été déterminés à l'aide des Foraminifères. Certains âges absolus ont été fournis par les méthodes isotopiques, et plus rarement par des mesures paléomagnétiques.

Dans tous les cas, il a été reporté dans GEOCORES l'âge le plus ancien trouvé pour chaque échantillon.

L'ensemble de ces données lithologiques et stratigraphiques est résumé sur les « logs » publiés dans les rapports de missions, dont certains sont en cours de publication (voir annexe) ou dans les catalogues descriptifs accompagnant la collection.

## III. NUMÉRISATION DES DONNÉES — SIGNIFICATION DES CODES

Les indications nécessaires à l'identification et à la gestion des échantillons de la lithothèque sont réparties en dix-huit rubriques codées, présentées sous forme de listings s'inspirant de divers modèles existant dans différentes lithothèques.

Ces rubriques sont, de gauche à droite :

— LEG : Code à quatre chiffres identifiant le navire (les deux premiers chiffres) et le leg ou la campagne océanographique (les deux derniers chiffres).

MD = « Marion Dufresne »

SU = « Suroît »

CH = « Charcot »

— ECHANT : Code à huit caractères identifiant l'échantillon :

a) Les deux premiers sont des caractères alphanumériques qui précisent le préleveur utilisé :

- PS = carottier à piston petite section (diamètre 6 cm)
- GS = carottier à piston grande section (diamètre 10 cm)
- DR = drague à roches
- DS = drague Sanders
- AT = carottier boîte type AET (1/4 de m<sup>2</sup>)
- SI = carottier boîte type SIPAN (1 m<sup>2</sup>)
- CP = chalut à perche
- BL = chalut blake
- CS = caméra sous-marine
- PL = préleveur libre type CNEXO.

b) Les six derniers sont des chiffres reproduisant le plus fidèlement possible le numéro d'échantillon attribué à bord. Ils donnent l'année du prélèvement (troisième et quatrième caractères) et le numéro affecté en séquence logique depuis la mise en service du navire ou de l'engin préleveur.

— ST : Code à deux chiffres indiquant le numéro de station déterminé à bord. Plusieurs prélèvements peuvent avoir été effectués sur la même station.

— DATE : Code à six chiffres donnant le jour, le mois et l'année du prélèvement.

— LAT : Code à cinq chiffres indiquant la latitude en degrés, minutes et dixièmes de minutes. Le signe - correspond aux latitudes Sud, les latitudes Nord étant positives.

— LONG : Code identique à cinq chiffres indiquant la longitude (le signe - a été adopté pour les longitudes Ouest, les longitudes Est étant positives).

— MAR : Code à trois chiffres donnant le carré de Marsden (voir Annexe) où se situe le prélèvement.

— PROF : Code à quatre chiffres pour la profondeur en mètres.

— LCAR : Code à quatre chiffres donnant la longueur en cm de la carotte.

— LPVD : Code à quatre chiffres indiquant :

- a) soit la longueur en cm de la carotte prélevée par le carottier pilote
- b) soit le poids en kg du matériel récolté par dragage ou chalutage
- c) soit le nombre de photographies sous-marines réussies dans le cas de la mise en œuvre d'un système de prises de vues sous-marines.

— G : Code à un chiffre décrivant la province physiographique :

- 0 = plaine abyssale
- 1 = ride aséismique
- 2 = zone de fracture
- 3 = ride
- 4 = pente continentale
- 5 = plateau continental

- 6 = delta ou cône sous-marin
- 7 = seamount
- 8 = fosse
- 9 = autre

— SEDI : Code à cinq chiffres décrivant les principales caractéristiques des matériaux carottés ou dragués :

Colonnes 1 et 2 : composants principal et secondaire :

- 1 = argile pure
- 2 = argile silteuse ou sableuse
- 3 = calcaire ( $> 66\% \text{ CaCO}_3$ )
- 4 = carbonate ( $< 66\% \text{ CaCO}_3$ )
- 5 = silice biogène
- 6 = silicates
- 7 = sables à Forams/Ptéropodes
- 8 = silt, sable détritique
- 9 = matériel minéralisé
- 0 = autre

Colonne 3 : description visuelle :

- 1 = finement lité
- 2 = contacts progressifs entre les unités lithologiques
- 3 = contacts nets
- 4 = contacts irréguliers ou perturbés
- 5 = lithologie uniforme
- 6 = cycles d'alternance lithologique
- 7 = sédiment partiellement consolidé
- 8 = perturbations à l'ouverture
- 9 = plus qu'une des observations précédentes
- 0 = autres

Colonne 4 : observations spéciales :

- 1 = granulo-classement ou cross-bedding
- 2 = nombreuses marbrures ou burrowing
- 3 = nodules polymétalliques, cuirasses, encroûtements
- 4 = granules ou graviers
- 5 = coques ou coquilles
- 6 = pyrite
- 7 = zéolithes
- 8 = verre volcanique
- 9 = plus qu'une des observations précédentes
- 0 = aucune

Colonne 5 : observations spéciales :

- 1 = basalte, socle
- 2 = glauconie
- 3 = sel ou évaporites

- 4 = silex, cherts
- 5 = blocs-roches
- 6 = phosphates
- 7 = matière organique
- 8 = plus qu'une des observations précédentes
- 9 = autre
- 0 = aucune

— AGE : Code à quatre chiffres donnant l'âge de la base de la carotte ou, à défaut, l'âge le plus ancien relevé. Toutes les datations sont traduites selon l'échelle biostratigraphique à Cocolithes « MARTINI, 1971 » :

Colonne 1 : grandes divisions stratigraphiques :

- 1 = Néogène et Quaternaire
- 2 = Paléogène
- 3 = Crétacé supérieur

Colonnes 2 et 3 : biozonations « MARTINI, 1971 » pour les Nannofossiles (deux chiffres utilisés) :

NP 1 à NP 25 pour le Paléogène

NN 1 à NN 21 pour le Néogène et le Quaternaire

Colonne 4 : types de datation utilisés :

- 1 = Nannofossiles
- 2 = Radiolaires
- 3 = Foraminifères
- 4 = âges paléomagnétiques
- 5 = âges isotopiques
- 6 = plus qu'un indicateur microfossile
- 7 = méthodes physiques et biostratigraphiques

— HT : Code à deux chiffres énumérant le nombre de biozonations à Cocolithes absentes entre le sommet et la base de la carotte ou entre le niveau le plus récent et le niveau le plus ancien.

— NSTA : Code à quatre chiffres donnant le nombre de demi-sections travail (2 colonnes de gauche) et archive (2 colonnes de droite) stockées dans la carothèque.

— NSTP : Code à quatre chiffres signalant le nombre de demi-sections travail ou archive en mauvais état de conservation.

— CBOC : Code à quatre colonnes. La première à gauche correspond au nombre de coffres réalisés pour les carottiers grande section. La deuxième indique le nombre de boîtes plastiques renfermant des échantillons de carottes. La troisième signale si des sédiments ont été recueillis dans l'ogive et la quatrième dans le core-catcher. Dans le cas des dragues à roches et des chaluts, un seul code à plusieurs chiffres donne le nombre de bailles ou de boîtes recueillant le prélèvement. Les blocs de taille importante ou stockés en vrac ne sont pas répertoriés dans cette rubrique.

— LB : Code à deux chiffres indiquant le nombre de laboratoires ayant reçu des échantillons du matériel récolté. La liste de ces laboratoires est fournie par le fichier GEUTIL.

#### IV. UTILISATION DE LA BANQUE GEOCORES

La banque peut être interrogée à partir de chacune des dix-huit rubriques affichées. Cette interrogation n'est effective pour l'instant qu'à partir du Laboratoire de Géologie du Muséum.

GEOCORES est implanté sur l'ordinateur central du Muséum national d'Histoire naturelle et son interrogation sera possible dans le cadre général du fonctionnement de la « Banque de données du Muséum ».

Le conservateur de la lithothèque marine du Muséum, au Laboratoire de Géologie, 43, rue Buffon, 75005 Paris, peut fournir, sur demande, tous les renseignements nécessaires quant aux conditions de consultation et de prêt des échantillons (Tél. : 40.79.34.71 — Fax : 40.79.37.39).

#### Remerciements

Les auteurs remercient le Territoire des Terres Australes et Antarctiques Françaises pour le soutien technique et financier apporté dans la réalisation des campagnes océanographiques du « Marion Dufresne ».

Nos remerciements tout particuliers vont à Denis S. CASSIDY, Conservateur de la lithothèque marine de l'Université de Floride, Tallahassee, pour ses innombrables suggestions et sa critique détaillée du manuscrit.

#### PUBLICATIONS TAAF « RAPPORTS DES CAMPAGNES À LA MER » À BORD DU « MARION DUFRESNE »

- FRÖHLICH, F., 1984 : MD 35/DRAKAR n° 83-02
- CAULET, J. P., 1987 : MD 44/INDUSOM n° 85-04
- BLANC, G., 1987 : MD/HYDROTHERM n° 85-05
- LECLAIRE, L., 1988 : MD 48/NASKA n° 86-01
- LECLAIRE, L., 1990 : MD 39/RIDA n° 84-02
- CAULET, J. P. (sous presse) : MD 65/SHIVA

#### RÉFÉRENCES CITÉES

- CAULET, J. P., 1979. — Les dépôts à Radiolaires du Pliocène supérieur et du Pléistocène dans l'Océan Indien central : une nouvelle zonation biostratigraphique. *Mém. Mus. natl. Hist. nat.*, Paris, sér. C, 43 : 119-141.
- CAULET, J. P., P. CLÉMENT et P. MILLELIRI, 1984. — Inventaire informatisé des roches et sédiments marins conservés au Muséum national d'Histoire naturelle. *Bull. Mus. natl. Hist. nat.*, Paris, 4<sup>e</sup> sér., 6, sect. C, (3) : 215-243.

- JOHNSON, D., *et al.*, 1989. — Pliocene-Pleistocene Radiolarian events and magnetostratigraphic calibrations for the tropical Indian Ocean. *Mar. Micropaleontol.*, **14** : 33-66.
- MARTINI, E., 1971. — Standard Tertiary and Quaternary calcareous nannoplankton zonation. Plank. Conf. Second. Roma, 1970. Proc. FARINACCI A. (ed.), *Tecno-Scienza*, **2** : 739-785.
- PETRUSHEVSKAYA, M., 1975. — Cenozoic Radiolarians of the Antarctic. Leg 29, DSDP. *Initial Reports of the Deep Sea Drilling Project*, Washington, **29**.
- RIEDEL, W., et A. SANFILIPPO, 1978. — Stratigraphy and evolution of tropical Cenozoic radiolarians. *Micropaleontol.*, **24** (1).
- Rock Color Chart, 1979. — Prep. by the Rock Color Chart Committee, dist. by the Geological Society of America, Boulder, Colorado.

**GEOCORES : a computerized information file**  
**for marine rocks and marine sediments**  
**from the collections of the Muséum national d'Histoire naturelle**  
*(An abridged English version)*

A — SCOPE AND FORMAT OF THIS REPORT

Today, the marine sample collection, deposited at the Laboratoire de Géologie, contains 481 piston cores, 51 box-cores (0,25 and 1 m<sup>2</sup> size), 64 dredges and 43 trawls (over 20 tons of rocks and manganese nodules). All cores (for a total length of 3 720 m), and some rock and manganese nodule samples, are stored in a 4° Celsius, high moisture depository. Most samples are originating from the Indian Ocean and the Red Sea.

The primary objective of this report is to convey gross characteristics of the samples to interested investigators. This report presents only computer listings of the sampling stations and location maps of ship's tracks and stations. A summary of the general description (location, depth, length or volume, lithology, age...) has been put into a digital form to allow rapid retrieval. All descriptions are grouped according to ship and cruise leg. They are chronologically arranged for each leg.

Detailed lithologic and stratigraphic descriptions of core and dredge samples are separately published (see annexe).

B — SUMMARY OF DESCRIPTION PROCEDURES

All cores in the Muséum collection, except the box-cores, were obtained with conventional PVC core liner. These cores have been split and stored at 4° C in polystyrene D-tubes with moisture-saturated spongy material. The box-cores were obtained without the use of core liner inside the core barrels. Upon recovery these cores were extended into PVC boxes of different sizes. One ten centimeters large slice of the sediment from each box-core was sealed in a PVC box.

The following is a summary of the description procedures used in preparing this report.

We have attempted to apply uniform procedures in completing the core descriptions and microscope analysis of smear slides.

1. *Visual description*

The entire core is laid out in the correct order of sections, and proper labeling is verified. The core is then subdivided into units, which may be distinguished from each other by lithology, color, texture, or special features.

Contacts between units are described. Colors are described by comparison with the Rock Color Chart.

Textural notation includes descriptive parameters such as grain size and the amount of dehydration, compaction and lithification.

Graded bedding, laminations and bioturbations are observed and noted.

Poor core recovery, washed sediments, or piston disturbed sections are also included as special features.

## 2. *Smear slide analysis*

Smear slides are prepared and analysed from the top and the bottom of each core, at intervals of approximately 1,5 meter within the core, and from each major lithologic unit when closer sampling is required. Smear slides are examined during each cruise through a polarizing binocular microscope, commonly with a magnification of 100x to 600x. The slide is first scanned at low power for a general indication of its composition. The describer estimates the percentages of the various components, using standardized smear slides and frequent comparisons between describers, in order to give some assurance that percentages are being estimated with some degree of consistency.

However, the data tabulated on the smear slide forms should be used only qualitatively as an indication of the relative proportion of various components, and how the relative abundance of each component appears to change within a given core.

## C — CORE BIOSTRATIGRAPHY

Calcareous microfossil and/or radiolarian assemblages have been examined to assign a biostratigraphic age to the top or bottom of each section from each core. An attempt was made to determine the specific nannofossil or radiolarian zones. In cores with bottom sediments barren of microfossils, the basal age is assumed to be the same as the age of the deepest microfossil-bearing level.

## D — DIGITIZATION OF GEOLOGICAL SAMPLE DATA

All logistical information about geological samples in the Muséum core collection is stored on disk and accessible through computer program **GEOCORES**. In addition to these data, a summary of the descriptive information of each core has been put into digital form to allow rapid retrieval. Stored information about the samples may be retrieved according to combinations of any of the following parameters : ship, leg and station number, sample number, date, latitude and longitude limits, Mardsen square number(s), water depth interval, core length or dredge volume, specific or general sampling device, physiographic province, rock or sediment type, age (base of the core). Additional information can be obtained about recovery, and previous studies.

The following summary explains the coded terms used in the computer listings of samples in this report.

— LEG : Ship and leg codes (2 digits each one) :

MD = "Marion Dufresne"

SU = "Suroit"

CH = "Jean Charcot"

- ECHANT : Sample number. The first two digits refer to the sampling device :
  - PS = 6cm diameter piston core
  - GS = 10cm diameter piston core
  - DR = rock dredge
  - DS = epibenthic sledge
  - AT = AET box-core (0,25 m<sup>2</sup>)
  - SI = SIPAN box-core (1 m<sup>2</sup>)
  - CP = beam trawl
  - BL = blake trawl
  - CS = camera
  - PL = CNEXO free grabs
- ST : Station number
- DATE : Sampling date (day, month, year)
- LAT : Latitude in degrees, minutes and decimals. South latitudes are negative.
- LONG : Longitudes in degrees, minutes and decimals. West longitudes are negative.
- MAR : Marsden square number.
- PROF : Depth in meters.
- LCAR : Piston core length in centimeters.
- LPVD : Pilot core length in centimeters, or dredge/trawl sample in kilograms, or total number of pictures (underwater camera).
- G : Physiographic province :
  - 0 = abyssal plain
  - 1 = aseismic oceanic rise or ridge
  - 2 = fracture zone
  - 3 = ridge
  - 4 = continental or insular slope
  - 5 = continental or insular shelf
  - 6 = delta or cone
  - 7 = seamount
  - 8 = trench
  - 9 = other
- SEDI : Rock or sediment type. A five digit code has been utilized to produce a rough description for each sediment sample listed.

The first and second digits refer to the primary and secondary sediment types found with the sample. Both digits are from the following list :

  - 1 = microfossil barren clay
  - 2 = silty/sandy clay
  - 3 = calcareous ooze (> 66 % CaCO<sub>3</sub>)
  - 4 = calcareous clay (< 66 % CaCO<sub>3</sub>)
  - 5 = siliceous ooze
  - 6 = siliceous clay

- 7 = foraminiferal sand, pteropod sand
- 8 = inorganic silt, sand
- 9 = mineral clay
- 0 = other

The third digit explains the relationships of the sediment types to one another :

- 1 = finely interbedded
- 2 = gradational contacts
- 3 = sharp contacts
- 4 = irregular or disturbed contacts
- 5 = entire core of uniform lithology
- 6 = lithologic cycles
- 7 = partially lithified sediment
- 8 = disturbed
- 9 = more than one of the above
- 0 = other

The fourth and the fifth digits are used to designate special features occurring within the sample. The fourth digit is from the following list :

- 1 = graded-bedding, or cross-bedding
- 2 = extensive mottling, or burrowing
- 3 = manganese nodules, coatings, and mineral crusts
- 4 = granules, or pebbles
- 5 = shells, or shell fragments
- 6 = pyrite-rich sediment
- 7 = zeolites
- 8 = volcanic glasses
- 9 = more than one of the above
- 0 = none

The fifth digit is from the following list :

- 1 = basalt
- 2 = glauconite-rich sediment
- 3 = evaporite
- 4 = cherts
- 5 = blocks, or rocks
- 6 = phosphates
- 7 = organic matter
- 8 = more than one of the above
- 9 = other
- 0 = none

— AGE : Basal age.

A four-digit code has been utilized to give a tentative age to the bottom of each core, or to the deepest microfossil-bearing sample in each core.

The first digit refers to one of the systems, or periods, from the following list :

- 1 = Neogene and Quaternary
- 2 = Paleogene
- 3 = Cretaceous

The second and the third digits refer to one of the nannozones from the standard nannofossil biozonation (MARTINI, 1971).

The fourth digit is used to designate how the age was obtained :

- 1 = Nannofossils
- 2 = Radiolaria
- 3 = Foraminifera
- 4 = palcomagnetic age
- 5 = isotopic age
- 6 = more than one microfossil index
- 7 = physical and paleontological index

- HT : Number of hiatuses. A two digit code gives the number of nannozones lacking between the top and the bottom of the core, or between the youngest and the oldest levels.
- NSTA : Total number of half-sections (working and archive halves).
- NSTP : Number of disturbed half-sections (working and archive halves).
- CBOC : Total number of sampling boxes. The first digit gives the number of sampling PVC boxes for box-cores. The second digit is the number of sampling boxes for piston-cores. The last two digits are used for the core-catcher samples (piston-core and pilot). For dredges and trawls, a single numeral gives the total number of sampling boxes used to store the material.
- LB : Number of Research Institutes which have requested material from the sample. A complete list of Institutes, or scientists, having requested samples from the collection is available through the file GEUTIL.

#### E — PROCEDURES FOR OBTAINING SEDIMENT SAMPLES AND ADDITIONAL CORE DATA

The Lithothèque marine du Muséum is prepared to furnish sediment samples and data to interested scientists who express a legitimate interest and need. Sediment sampling is normally permitted in reasonable quantities, though sampling of recently acquired cores (taken during the preceding two years) is subject to the approval of the appropriate cruise chief scientist, or collector of the samples.

##### 1. *Procedures for requesting samples*

Procedures and forms for obtaining samples will be sent on request by the Conservateur de la Lithothèque marine, Laboratoire de Géologie, 43, rue Buffon, 75005 Paris (Tel. : 33.1.40.79.34.71 — Fax : 33.1.40.79.37.39).

A request for samples should include a brief summary of the type of research to be undertaken. The names of associated investigators should be given, and the nature of their research.

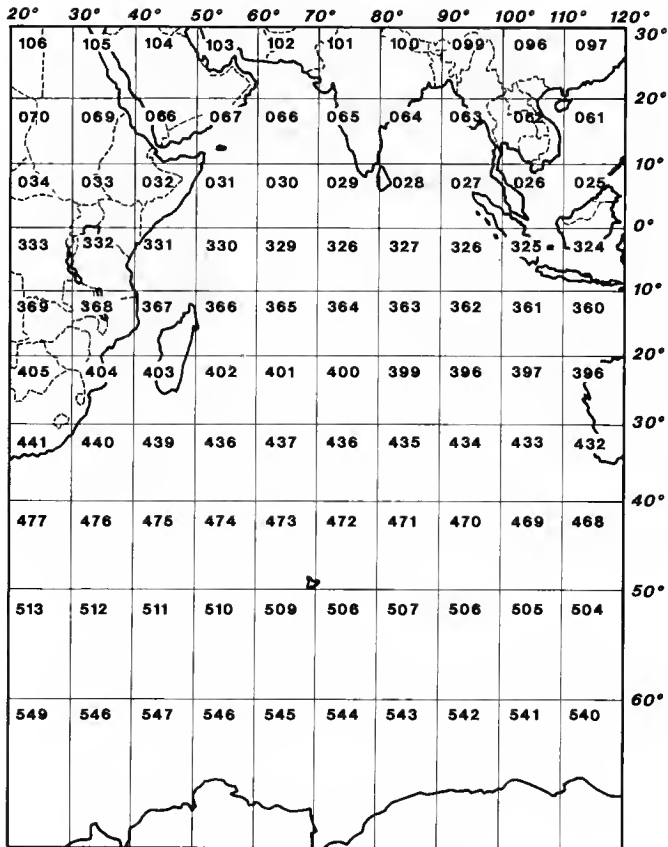
2. *Responsibilities of persons receiving samples*

Published papers should acknowledge the source of samples and the appropriate grant or funding agency which supported the cruise recovering the samples.

Copies of all published papers, reports or data summaries utilizing Muséum samples should be sent to the Conservateur de la Lithothèque marine.

Recipients of samples should not co-opt the services of other investigators or undertake research projects which differ substantially from work originally proposed, without obtaining the approval of the Conservateur de la Lithothèque.

MARSDEN

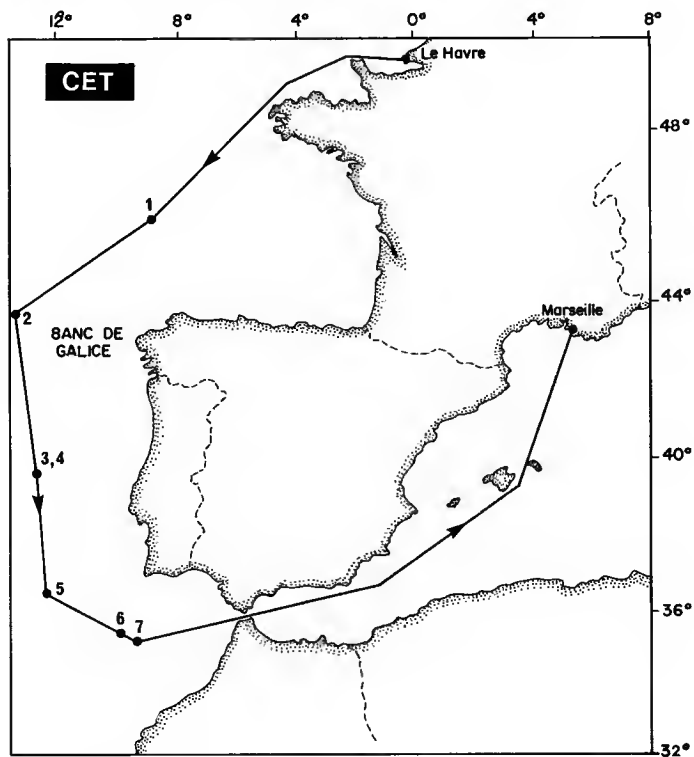
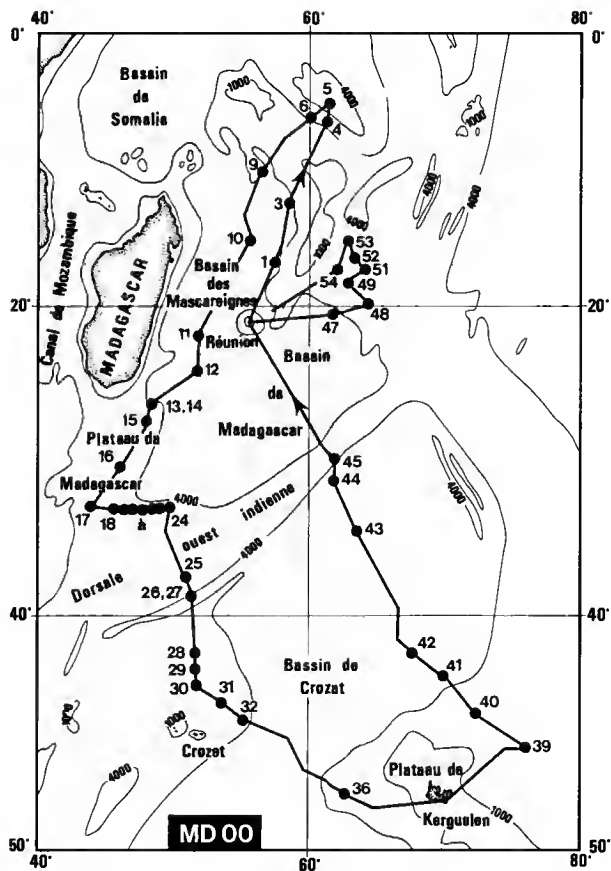


**Campagne OSIRIS I - MD00 (29 avril - 7 juin 1973)**

LEG	ECHANT	ST	DATE	LAT.	LONG.	MAR	PROF	LCAR	LPVD	G	SEDI	AGE	HT	NSTA	NTAP	CBOC	LB
MD00	PS 730001	01	290473	-16.479	57.043	366	4400	0998	0000	0	37150	1161	00	0707	0202	0001	00
MD00	PS 730002	03	300473	-12.122	58.277	366	4200	0057	0000	0	37290	1191	00	0100	0100	0300	00
MD00	PS 730003	04	020573	-5.491	61.048	329	3930	1440	0000	0	35290	1163	00	1007	0101	0000	00
MD00	PS 730004	05	020573	-4.581	61.387	329	3440	1720	0070	0	35290	1181	00	1303	0000	0003	03
MD00	PS 730005	06	020573	-5.452	60.182	329	4075	2446	0000	0	35290	1161	01	1716	0808	0202	00
MD00	DR 730001	09	040573	-9.363	56.245	330	2660	0000	0001	0	37080	2191	00	0000	0000	0100	01
MD00	PS 730006	10	060573	-15.056	55.315	366	4370	2730	0109	0	35290	1181	00	2018	0000	0101	01
MD00	PS 730007	11	070573	-22.078	51.447	402	4940	1407	0030	0	23400	1201	00	1108	0404	0500	00
MD00	PS 730008	12	080573	-24.417	51.427	402	4875	0000	0110	0	12500	0000	00	0101	0000	0301	01
MD00	PS 730009	13	090573	-26.486	48.392	403	4630	0000	0109	0	13300	1211	00	0101	0101	0200	01
MD00	PS 730010	14	090573	-26.493	48.459	403	4570	0703	0060	0	18300	1091	11	0605	0101	0511	02
MD00	PS 730011	15	100573	-27.420	47.351	403	2565	1270	0050	1	37590	1141	04	1007	0101	0401	02
MD00	PS 730012	16	100573	-30.487	45.338	439	1930	0584	0030	1	37590	1191	00	0404	0404	0300	01
MD00	DR 730002	17	110573	-33.090	44.000	439	0500	0000	0000	1	00000	0000	00	0000	0000	0000	00
MD00	PS 730013	18	110573	-33.365	45.068	439	1065	0420	0000	1	37590	1201	00	0303	0101	0301	01
MD00	PS 730014	19	120573	-33.377	46.006	439	2100	0437	0000	1	37590	1191	00	0303	0000	0110	01
MD00	PS 730015	20	120573	-33.384	46.210	439	2180	0526	0060	1	37590	1191	00	0603	0101	0100	00
MD00	PS 730016	21	120573	-33.385	47.027	439	3160	0000	0109	1	37590	1211	00	0101	0101	0100	00
MD00	PS 730017	22	120573	-33.386	47.136	439	3315	0527	0143	1	37590	1191	00	0505	0000	0100	02
MD00	PS 730018	23	120573	-33.393	47.442	439	3780	1033	0202	0	37590	1191	00	1105	0505	0000	01
MD00	PS 730019	24	130573	-33.362	49.161	439	4228	1250	0196	0	37300	1101	04	1109	0202	0000	01
MD00	PS 730020	25	140573	-37.430	50.340	438	2070	0559	0000	3	00000	0000	00	0402	0000	0300	00
MD00	PS 730021	26	140573	-38.415	50.441	438	3680	0000	0086	3	00000	1201	00	0101	0000	0000	00
MD00	PS 730022	27	150573	-38.419	50.331	438	3680	1519	0245	3	37590	1191	00	1411	0101	0200	01
MD00	PS 730023	28	150573	-42.129	51.191	474	3925	0000	0197	0	53200	1201	00	0202	0000	0100	01
MD00	PS 730024	29	160573	-43.011	51.154	474	2910	0090	0150	1	53700	1201	00	0201	0000	0201	00
MD00	PS 730025	30	160573	-43.483	51.171	474	3300	1500	0000	1	53200	1201	00	0000	0000	0101	01
MD00	PS 730026	31	170573	-44.595	53.167	474	3440	2000	0082	1	53200	1211	00	1200	0200	0001	01
MD00	PS 730027	32	170573	-46.006	55.000	474	3920	1034	0000	0	00000	1201	00	0707	0000	0000	00
MD00	PS 730028	36	190573	-49.259	61.455	073	2650	0558	0000	1	35290	1141	05	0404	0404	0000	01
MD00	DR 730003	39	220573	-47.060	75.450	472	4350	0000	0001	0	00030	0000	00	0000	0000	0100	00
MD00	PS 730029	40	230573	-45.175	72.510	472	3925	0000	0208	0	00000	1211	00	0302	0000	0000	00
MD00	PS 730030	41	240573	-43.283	70.068	472	4205	1955	0223	0	53390	0000	00	1615	0707	0002	02
MD00	PS 730031	42	250573	-42.010	67.360	473	4200	0100	0000	0	35430	1201	00	0000	0000	0201	00
MD00	PS 730032	43	270573	-34.327	63.319	437	4261	0750	0052	0	36330	1121	01	0000	0000	0100	00
MD00	PS 730033	44	280573	-31.218	61.511	437	4100	0795	0000	3	36330	1161	02	0101	0000	0100	00
MD00	DR 730004	45	280573	-29.540	61.560	401	4065	0000	0010	3	00030	0000	00	0000	0000	0100	01
MD00	PS 730034	47	020673	-20.307	61.573	401	3510	0840	0000	3	36330	1011	12	0604	0000	0000	00
MD00	DR 730005	47	020673	-20.307	61.573	401	3510	0000	0003	3	00030	0000	00	0000	0000	0000	00
MD00	PS 730035	48	030673	-19.423	64.362	365	2770	1203	0000	0	00000	1161	00	1211	0000	0000	00
MD00	PS 730036	49	040673	-18.248	63.104	365	3390	1836	0000	0	00000	1121	02	1417	0000	0000	00
MD00	PS 730037	51	040673	-17.249	64.337	365	3070	1538	0000	0	36500	1091	04	1110	0000	0100	01
MD00	PS 730038	52	050673	-16.454	63.187	365	3830	1234	0000	0	00000	1141	02	0906	0000	0000	00
MD00	PS 730039	53	050673	-15.450	63.000	365	3680	1845	0000	0	00000	1181	00	1312	0000	0000	01
MD00	PS 730040	54	050673	-16.351	62.222	365	3100	0940	0000	0	36330	1011	13	0605	0101	0000	00

**Campagne MDCE (19 août - 30 août 1974)**

LEG	ECHANT	ST	DATE	LAT.	LONG.	MAR	PROF	LCAR	LPVD	G	SEDI	AGE	HT	NSTA	NTAP	CBOC	LB
MDCE	PS 740041	01	210874	45.543	-8.575	145	4800	0600	0030	0	04000	0000	00	0604	0000	0000	00
MDCE	PS 740042	02	230874	43.438	-13.360	146	3950	0945	0020	9	00000	0000	00	0808	0101	0000	00
MDCE	PS 740043	03	250874	39.450	-12.545	110	2990	0816	0005	0	11000	0000	00	0606	0000	0000	00
MDCE	PS 740044	04	250874	39.442	-12.490	110	3190	0420	0010	0	11700	0000	00	0403	0000	0000	00
MDCE	PS 740045	05	260874	36.332	-12.281	110	3690	0750	0005	0	00000	0000	00	0505	0000	0000	00
MDCE	PS 740046	06	270874	35.227	-9.463	109	3140	0520	0010	0	00000	0000	00	0505	0000	0000	00
MDCE	PS 740047	07	270874	35.109	-9.352	109	4220	0750	0040	0	00000	0000	00	0707	0000	0000	00

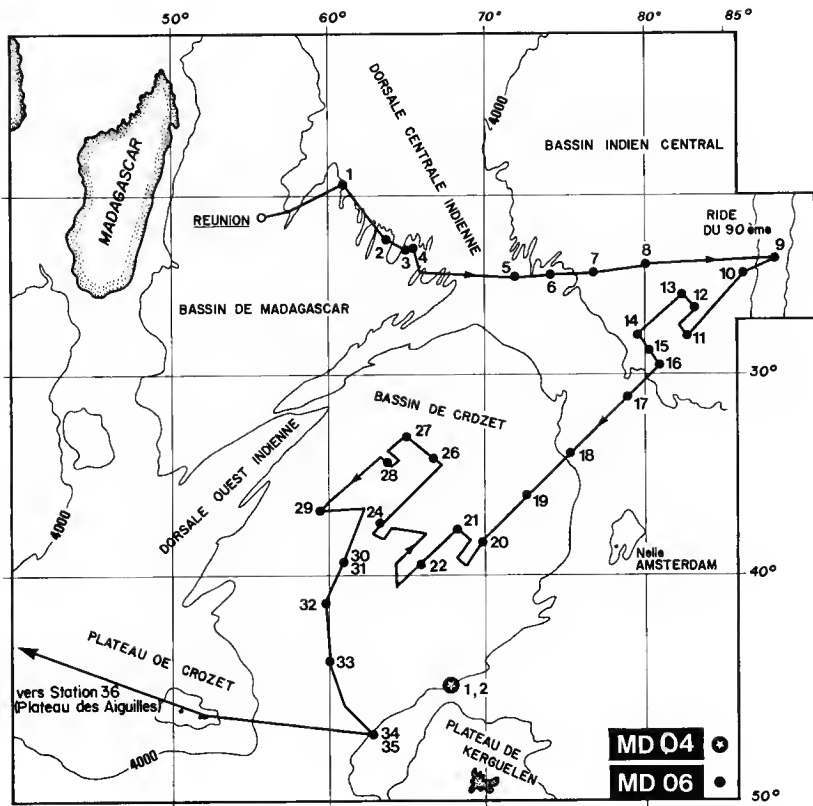


**Campagne BENTHOS - MD04 (12 février - 23 mars 1975)**

LEG	ECHANT	ST	DATE	LAT.	LONG.	MAR	PROF	LCAR	LPVD	G	SEDI	AGE	HT	NSTA	NTAP	CBOC	LB
MD04	PS 750048	01	120275	-44.306	67.211	473	4181	0000	0167	0	45200	0000	00	0201	0000	0000	00
MD04	PS 750049	02	120275	-44.290	67.170	473	4194	0000	0140	0	45230	0000	00	0302	0000	0000	00

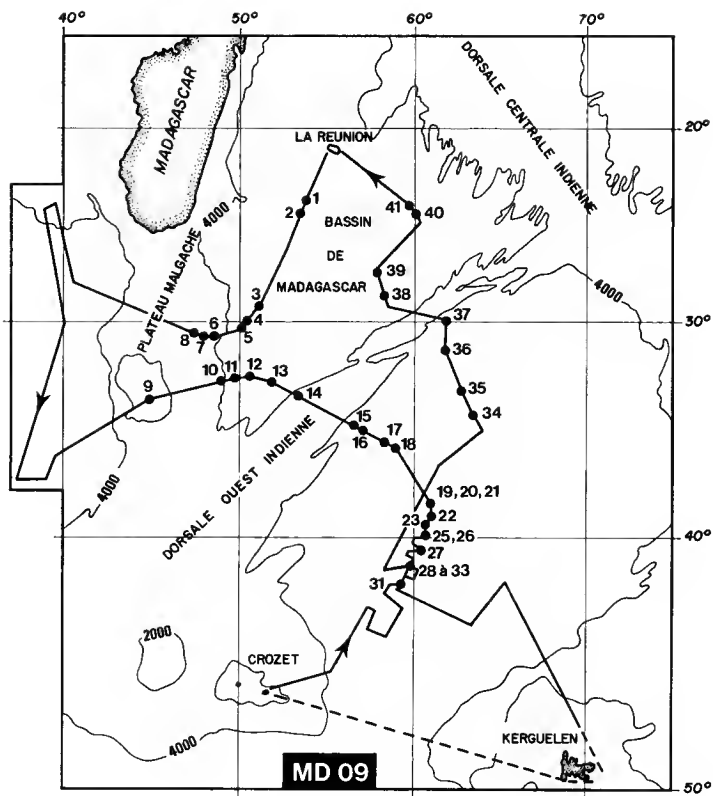
**Campagne NOSICAA - MD06 (28 mai - 05 juillet 1975)**

LEG	ECHANT	ST	DATE	LAT.	LONG.	MAR	PROF	LCAR	LPVD	G	SEDI	AGE	HT	NSTA	NTAP	CBOC	LB
MD06	PS 750050	01	290575	-19.038	60.410	365	4387	0000	0000	0	00000	0000	00	0000	0000	0010	00
MD06	PS 750051	01	290575	-19.038	60.410	365	4240	0630	0080	0	68380	1000	00	0605	0505	0320	01
MD06	PS 750052	02	300575	-22.213	63.203	401	4190	1425	0100	3	36280	1111	01	1111	0101	0120	01
MD06	PS 750053	03	310575	-23.048	64.394	401	4088	1500	0110	3	36280	1111	00	1212	0304	0320	00
MD06	PS 750054	04	310575	-22.586	65.029	401	3877	0860	0133	3	63380	1101	06	0808	0101	0010	02
MD06	PS 750055	05	010675	-24.375	71.253	400	3020	0617	0000	3	36290	1191	00	0404	0000	0110	01
MD06	PS 750056	06	020675	-24.238	73.358	400	3795	0626	0150	3	36270	1161	00	0705	0100	0010	00
MD06	PS 750057	06	020675	-24.241	73.355	400	3690	0443	0140	3	46270	1151	02	0404	0000	0200	01
MD06	PS 750058	07	030675	-24.185	76.242	400	4260	0100	0020	0	64970	1201	00	0101	0101	0120	00
MD06	PS 750059	08	030675	-23.545	79.339	400	4180	1490	0010	0	46370	2251	16	1110	0707	0400	00
MD06	PS 750060	09	050675	-23.374	87.432	399	2572	0850	0000	3	33590	1141	02	0606	0202	0110	01
MD06	AT 750001	09	050675	-23.380	87.437	399	2550	0040	0000	3	33550	0000	00	0000	0000	0301	00
MD06	PS 750061	10	050675	-24.278	85.463	399	4680	0860	0120	0	64670	1000	00	0808	0000	0120	01
MD06	PS 750062	11	060675	-27.533	82.084	399	4310	0350	0112	0	36390	2251	00	0404	0000	0020	01
MD06	PS 750063	12	070675	-26.199	82.426	399	4358	0115	0000	0	36390	2251	00	0101	0000	0010	00
MD06	PS 750064	13	070675	-25.341	81.517	399	4410	0000	0170	0	64370	1201	00	0202	0000	0000	00
MD06	PS 750065	14	080675	-27.449	79.063	400	4282	0740	0044	0	46390	1131	00	0707	0000	0000	01
MD06	PS 750066	15	090675	-28.354	79.527	400	4340	0600	0110	2	34370	1121	00	0505	0000	0120	00
MD06	PS 750067	16	090675	-29.294	80.337	399	3950	0800	0150	0	36870	1151	00	0707	0000	0010	00
MD06	PS 750068	17	090675	-31.121	78.342	436	3210	0600	0000	3	33590	1191	00	0404	0000	0010	01
MD06	PS 750069	18	100675	-34.099	75.032	436	3585	0700	0020	3	33990	1191	00	0606	0202	0010	01
MD06	PS 750070	19	110675	-36.201	72.180	436	4313	1520	0000	0	35990	1191	00	1111	0303	0000	00
MD06	PS 750071	20	120675	-38.249	69.340	437	4305	1785	0125	0	35690	1191	00	1313	0000	0000	00
MD06	PS 750072	21	130675	-37.557	67.585	437	4260	1680	0000	0	35690	1191	00	1212	0202	0010	00
MD06	PS 750073	22	140675	-39.357	65.444	437	4755	1700	0083	0	54690	1191	00	1313	0404	0020	01
MD06	PS 750074	24	160675	-37.379	63.077	437	4942	1810	0000	2	56190	1162	00	1712	0202	0110	02
MD06	PS 750075	26	170675	-34.234	66.267	437	4725	1750	0065	0	45680	1181	00	1212	0403	0010	01
MD06	PS 750076	27	180675	-33.285	64.564	437	4520	0030	0005	2	64930	0000	00	0101	0000	0310	00
MD06	DR 750006	27	180675	-33.275	64.576	437	4462	0000	0020	2	46030	0000	00	0000	0000	0000	01
MD06	PS 750077	28	190675	-34.315	63.330	437	4702	0240	0000	2	68880	0000	00	0303	0606	0000	00
MD06	PS 750078	28	190675	-34.347	63.306	437	4200	0825	0092	2	46580	1161	00	0707	0000	0120	01
MD06	DR 750007	28	190675	-34.345	63.310	437	4147	0000	0039	2	46030	0000	00	0000	0000	0001	03
MD06	PS 750079	29	200675	-37.012	59.147	438	5025	1620	0000	0	58760	1161	00	1212	0202	0110	01
MD06	AT 750002	29	200675	-37.017	59.165	438	5075	0094	0000	0	56830	1152	00	0000	0000	2300	03
MD06	DS 750001	29	210675	-37.012	59.174	438	4995	0000	0012	0	56030	0000	00	0000	0000	0001	03
MD06	PS 750080	29	210675	-37.027	59.143	438	5000	1160	0012	0	58760	1192	00	0909	0101	0020	00
MD06	PS 750081	30	220675	-39.328	60.519	437	4250	0410	0010	7	66580	1000	00	0404	0000	0020	01
MD06	DR 750008	30	220675	-39.336	60.533	437	4410	0000	0050	2	46030	0000	00	0000	0000	0001	03
MD06	PS 750082	31	230675	-39.374	61.048	437	5230	0520	0000	2	64370	2131	00	0404	0101	0101	00
MD06	PS 750083	32	230675	-41.235	59.428	474	4072	0010	0000	2	40000	0000	00	0000	0000	0010	00
MD06	DR 750009	32	230675	-41.233	59.462	474	3900	0000	0163	2	46030	0000	00	0000	0000	0003	02
MD06	AT 750003	33	240675	-44.028	59.537	474	4820	0081	0000	0	56830	0000	00	0000	0000	3000	01
MD06	DR 750010	33	240675	-44.007	59.570	474	4840	0000	0032	0	56030	0000	00	0000	0000	0002	03
MD06	PS 750084	34	250675	-47.130	62.497	473	3930	0000	0118	1	45630	1211	00	0101	0000	0100	00
MD06	PS 750085	34	260675	-47.126	62.571	473	3930	0000	0098	1	45630	1211	00	0101	0000	0100	00
MD06	PS 750086	34	260675	-47.110	63.023	473	3930	1350	0000	1	54330	1182	00	0909	0000	0000	01
MD06	PS 750087	35	260675	-47.157	62.426	473	3915	0000	0090	1	54330	0000	00	0101	0000	0000	00
MD06	DR 750011	35	260675	-47.165	62.459	473	3910	0000	0098	1	54030	0000	00	0000	0000	0102	02
MD06	DR 750012	36	030775	-37.328	27.008	441	2550	0000	0209	1	00030	0000	00	0000	0000	0003	03



Campagne SESAM - MD09 (30 avril - 10 juin 1976)

LEG	ECHANT	ST	DATE	LAT.	LONG.	MAR	PROF	LCAR	LPVD	G	SEDI	AGE	HT	NSTA	NTAP	CBOC	LB	
MD09	PS	760088	01	010576	-23.506	53.522	402	4575	1675	0113	0	64600	1191	00	1312	0101	0021	01
MD09	PS	760089	02	010576	-24.375	53.269	402	4897	1320	0010	0	26520	0000	00	0909	0000	0121	01
MD09	PS	760090	03	020576	-29.177	51.088	402	4897	0960	0005	0	63230	2151	00	0707	0000	0020	00
MD09	PS	760091	04	020576	-30.001	50.335	438	4785	1775	0188	0	63570	1211	00	1414	0000	0021	00
MD09	PS	760092	05	030576	-30.221	50.143	438	4459	0865	0130	0	63200	1211	00	0707	0000	0021	00
MD09	PS	760093	06	030576	-30.473	48.169	439	4222	0845	0130	1	63270	2141	00	0707	0000	0011	00
MD09	AT	760004	06	030576	-30.475	48.155	439	4192	0100	0082	1	33730	1191	00	0101	0000	0650	00
MD09	PS	760094	07	040576	-30.465	48.086	439	3902	0700	0115	1	33570	1191	00	0606	0000	0021	00
MD09	PS	760095	08	040576	-30.355	47.391	439	3195	0550	0030	1	37520	1191	00	0504	0000	0020	00
MD09	PS	760096	09	100576	-33.465	44.562	439	0956	0150	0000	1	77550	1211	00	0302	0000	0000	00
MD09	PS	760097	10	110576	-32.516	48.589	439	4005	1300	0076	1	34970	1151	00	0909	0000	0410	00
MD09	PS	760098	11	110576	-32.450	49.538	439	4160	1210	0020	1	34990	1121	02	0909	0000	0020	00
MD09	PS	760099	12	110576	-32.383	50.471	438	4414	1270	0030	0	33570	2161	00	1009	0604	0121	00
MD09	AT	760005	12	110576	-32.383	50.471	438	4395	0100	0120	0	33530	1191	00	0000	0000	1560	00
MD09	PS	760100	13	120576	-32.561	52.051	438	4460	1710	0120	0	36090	1141	01	1313	0000	0021	01
MD09	PS	760101	14	120576	-33.352	53.355	438	4130	0570	0065	3	33590	1191	00	0505	0000	0010	00
MD09	PS	760102	15	130576	-34.584	56.426	438	4200	0005	0000	3	00030	0000	00	0000	0000	0010	00
MD09	PS	760103	16	130576	-35.133	57.138	438	5100	0100	0150	0	55500	0000	00	0808	0000	0020	01
MD09	PS	760104	17	140576	-35.506	58.276	438	4860	0830	0123	0	66590	1201	00	0707	0000	0020	00
MD09	PS	760105	18	140576	-36.052	59.058	438	4950	1250	0150	0	00000	0000	00	0808	0000	0121	00
MD09	PS	760106	19	150576	-38.432	61.258	437	5220	1720	0000	0	55590	1002	00	1212	0000	0011	00
MD09	AT	760006	20	150576	-38.362	61.065	437	5280	0100	0000	0	55560	1211	00	0000	0000	0100	02
MD09	AT	760007	21	150576	-38.422	61.159	437	5272	0100	0000	0	55530	1205	00	0000	0000	0430	01
MD09	CS	760001	21	150576	-38.417	61.148	437	5250	0000	0239	0	00000	0000	00	0000	0000	0000	00
MD09	PS	760107	22	160576	-39.116	61.098	437	5257	0710	0058	0	56239	0000	00	0605	0201	0271	00
MD09	CS	760002	23	160576	-39.334	60.527	437	4250	0000	0297	2	00000	0000	00	0000	0000	0000	00
MD09	DR	760013	23	160576	-39.334	60.519	437	4200	0000	1087	2	00039	0000	00	0000	0000	0004	02
MD09	PS	760108	25	170576	-39.581	60.495	437	5167	0620	0030	2	65290	0000	00	0505	0000	0210	00
MD09	PS	760109	26	170576	-39.419	60.462	437	4820	0020	0000	2	00009	0000	00	0000	0000	0011	00
MD09	AT	760008	27	180576	-40.382	60.339	473	5205	0100	0000	2	55530	1202	00	0000	0000	0400	02
MD09	PS	760110	28	180576	-41.078	60.158	473	5180	0005	0000	2	00030	0000	00	0000	0000	0001	00
MD09	PS	760111	30	190576	-41.264	60.029	473	4630	0310	0010	2	63390	2131	00	0202	0000	0121	00
MD09	PS	760112	30	200576	-41.251	60.019	473	4125	0440	0000	2	36390	2171	00	0404	0000	0010	00
MD09	PS	760113	31	200576	-42.091	59.198	474	4750	0910	0000	2	66590	1002	00	0707	0000	0010	00
MD09	CS	760003	32	310576	-41.226	59.440	474	4105	0000	0002	2	00000	0000	00	0000	0000	0000	00
MD09	CS	760004	33	310576	-41.200	60.060	473	4500	0000	0081	2	00000	0000	00	0000	0000	0000	00
MD09	DR	760014	34	030676	-34.355	63.311	437	4425	0000	0031	2	00030	0000	00	0000	0000	0001	00
MD09	CS	760006	34	030676	-34.366	63.306	437	4460	0000	0193	2	00000	0000	00	0000	0000	0000	00
MD09	AT	760009	34	020676	-34.365	63.304	437	4425	0085	0000	2	34230	1181	01	0000	0000	1400	02
MD09	CS	760005	34	020676	-34.338	63.304	437	4315	0000	0383	2	00000	0000	00	0000	0000	0000	00
MD09	CS	760007	35	040676	-33.265	62.541	437	4100	0000	0352	2	00000	0000	00	0000	0000	0000	00
MD09	CS	760008	36	040676	-31.227	61.553	437	4207	0000	0315	3	00000	0000	00	0000	0000	0000	00
MD09	AT	760010	36	040676	-31.227	61.553	437	4245	0080	0000	3	34290	1201	00	0000	0000	1800	01
MD09	CS	760009	37	050676	-29.525	61.580	401	4300	0000	0199	3	00000	0000	00	0000	0000	0000	00
MD09	PS	760114	38	060676	-28.371	58.246	402	4447	0116	0013	3	34500	2161	00	0101	0000	0120	00
MD09	CS	760010	38	060676	-28.384	58.230	402	4300	0000	0189	3	00000	0000	00	0000	0000	0000	00
MD09	PS	760115	39	070676	-27.255	57.512	402	4835	0755	0005	0	66570	0000	00	0606	0000	0021	00
MD09	PS	760116	40	070676	-24.258	60.169	401	4400	0010	0005	0	00031	0000	00	0000	0000	0020	00
MD09	DR	760015	40	080676	-24.258	60.169	401	4600	0000	0018	0	00030	0000	00	0000	0000	0001	01
MD09	PS	760117	41	080676	-24.069	59.537	402	4740	0010	0185	0	00030	0000	00	0101	0000	0220	01
MD09	CS	760011	41	080676	-24.074	59.535	402	4680	0000	0083	0	00000	0000	00	0000	0000	0000	00
MD09	AT	760011	41	080676	-24.057	59.553	402	4425	0086	0000	0	63290	0000	00	0000	0000	0810	00

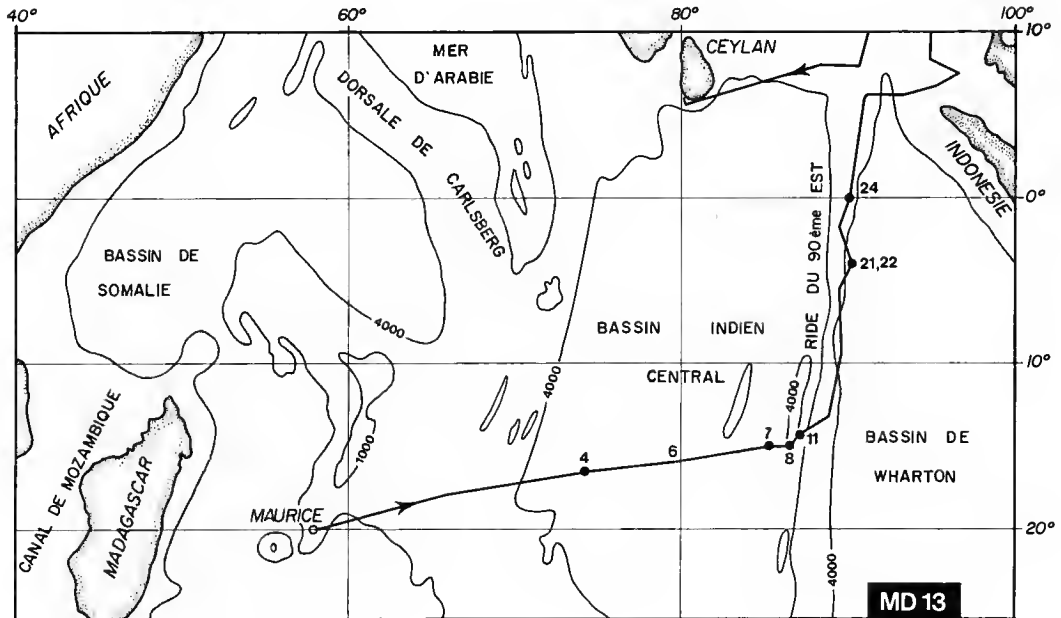
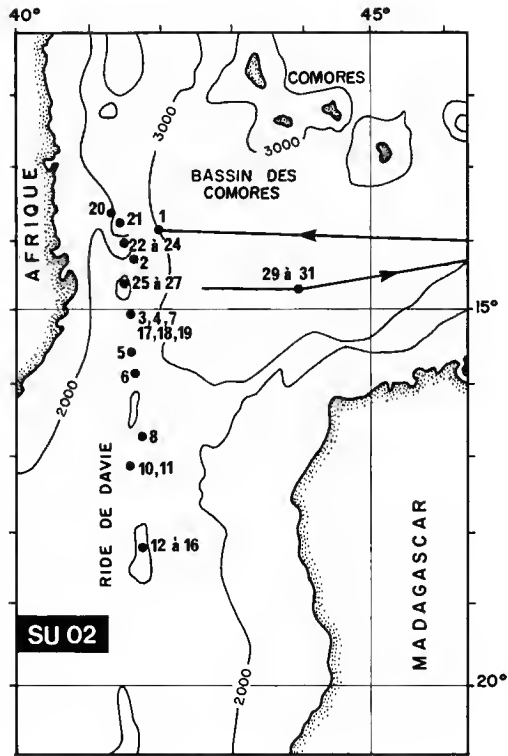


**Campagne INDINOR II - SU02 (19 avril - 27 avril 1977)**

LEG	ECHANT	ST	DATE	LAT.	LONG.	MAR	PROF	LCAR	LPVD	G	SEDI	AGE	HT	NSTA	NTAP	CBOC	LB	
SU02	PS	770001	01	190477	-13.560	41.509	367	2520	0508	0000	3	48570	1191	00	0700	0000	0000	00
SU02	PS	770002	02	190477	-14.098	41.340	367	1110	0100	0000	3	72550	1191	01	0000	0000	0510	00
SU02	DR	770001	02	190477	-14.098	41.340	367	1485	0000	0023	3	00030	0000	00	0000	0000	0001	00
SU02	PS	770003	03	200477	-15.089	41.337	367	1815	0110	0000	3	24390	1111	10	0202	0000	0210	00
SU02	PS	770004	03	200477	-15.089	41.337	367	1807	0093	0000	3	42330	3001	45	0202	0000	0010	02
SU02	PS	770005	04	200477	-14.573	41.328	367	1972	0010	0000	3	00030	0000	00	0000	0000	0010	00
SU02	PS	770006	05	210477	-15.539	41.367	367	1950	0184	0000	3	32390	1051	16	0303	0000	0011	00
SU02	PS	770007	06	210477	-15.529	41.366	367	1930	0012	0000	3	74330	2001	20	0000	0000	0010	00
SU02	PS	770008	07	210477	-16.023	41.365	367	1800	0168	0000	3	46390	1191	00	0202	0000	0010	00
SU02	PS	770009	08	210477	-16.477	41.432	367	0450	0018	0000	3	00890	1191	00	0000	0000	0202	00
SU02	PS	770010	10	220477	-17.111	41.381	367	2050	0249	0000	3	33500	2201	00	0303	0000	0100	00
SU02	PS	770011	11	220477	-17.126	41.389	367	1920	0010	0000	3	46390	1161	05	0000	0000	0110	00
SU02	PS	770012	11	220477	-17.126	41.389	367	2005	0180	0000	3	36390	1021	39	0303	0000	0010	00
SU02	PS	770013	12	230477	-18.128	41.510	367	1100	0010	0000	3	00030	0000	00	0000	0000	0010	00
SU02	PS	770014	13	230477	-18.121	41.479	367	1240	0318	0000	3	36330	1051	16	0505	0000	0110	00
SU02	PS	770015	14	230477	-18.127	41.461	367	1300	0485	0000	3	36500	1191	00	0707	0000	0000	00
SU02	PS	770016	15	230477	-18.130	41.448	367	1265	0015	0000	3	78040	1003	00	0000	0000	0010	00
SU02	PS	770017	16	230477	-18.127	41.493	367	1100	0005	0000	3	00030	1191	00	0000	0000	0001	00
SU02	PS	770018	17	240477	-15.080	41.343	367	1800	0018	0000	3	34330	2201	25	0000	0000	0010	00
SU02	PS	770019	18	240477	-15.092	41.337	367	1935	0139	0000	3	63390	1211	00	0202	0000	0001	00
SU02	PS	770020	19	240477	-15.092	41.337	367	1845	0255	0015	3	46290	3001	07	0303	0000	0110	02
SU02	PS	770021	20	250477	-13.464	41.103	367	1530	0258	0000	3	42280	1141	00	0404	0000	0010	00
SU02	PS	770022	21	250477	-13.514	41.150	367	1590	0298	0000	3	42280	1111	00	0404	0000	0010	00
SU02	PS	770023	22	250477	-14.066	41.244	367	0880	0012	0000	3	00830	1191	00	0000	0000	0001	00
SU02	PS	770024	23	250477	-14.067	41.244	367	0850	0012	0000	3	00090	1191	00	0000	0000	0001	00
SU02	PS	770025	24	250477	-14.076	41.210	367	1100	0040	0000	3	68590	0000	00	0101	0000	0001	00
SU02	PS	770026	25	260477	-14.363	41.306	367	2230	0220	0000	3	42280	1111	03	0303	0000	0001	00
SU02	PS	770027	26	260477	-14.394	41.291	367	2250	0259	0000	3	48640	2201	00	0303	0000	0100	00
SU02	PS	770028	27	260477	-14.399	41.279	367	2800	0164	0000	3	42340	1141	07	0202	0000	0001	00
SU02	PS	770029	29	260477	-14.388	43.535	367	2730	0018	0000	3	00830	1191	00	0000	0000	0001	00
SU02	PS	770030	30	270477	-14.376	43.518	367	2565	0018	0000	3	00830	1191	00	0000	0000	0001	00
SU02	PS	770031	31	270477	-14.403	43.512	367	3400	0131	0000	3	42500	1211	00	0202	0000	0000	00

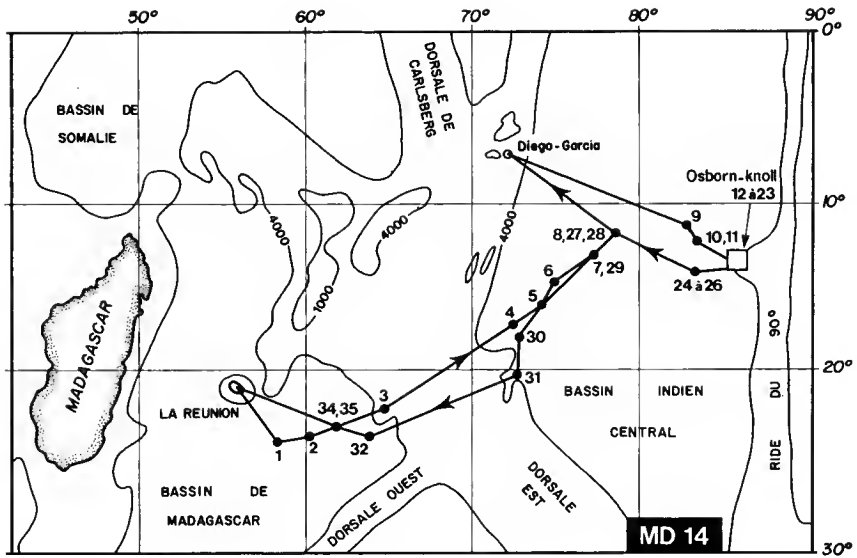
**Campagne OSIRIS II - MD13 (06 mai - 03 juin 1977)**

LEG	ECHANT	ST	DATE	LAT.	LONG.	MAR	PROF	LCAR	LPVD	G	SEDI	AGE	HT	NSTA	NTAP	CBOC	LB	
MD13	PS	770143	04	100577	-16.516	74.403	364	4685	0540	0100	0	36290	2251	00	0500	0000	0011	01
MD13	AT	770014	04	100577	-16.516	74.403	364	4734	0085	0000	0	64390	1211	00	0000	0000	0600	01
MD13	PS	770144	06	120577	-16.086	79.398	364	4894	1450	0081	0	66570	0000	00	1100	0303	0000	00
MD13	PS	770145	07	130577	-15.088	85.228	363	4095	1080	0000	3	35500	2181	23	0800	0000	0100	00
MD13	PS	770146	08	130577	-15.037	85.557	363	3339	1310	0000	3	35500	1191	00	0900	0001	0001	00
MD13	PS	770149	11	140577	-13.368	87.172	363	4595	1231	0000	3	35670	2181	23	0900	0000	0000	00
MD13	PS	770157	21	180577	-4.482	90.023	326	4833	1080	0000	3	65590	1122	00	0802	0101	0211	01
MD13	AT	770015	22	180577	-4.484	90.016	326	4815	0060	0000	3	65589	1182	00	0000	0000	0500	00
MD13	PS	770159	24	190577	0.060	89.477	028	4257	0880	0050	6	45380	1112	04	0700	0000	0000	01



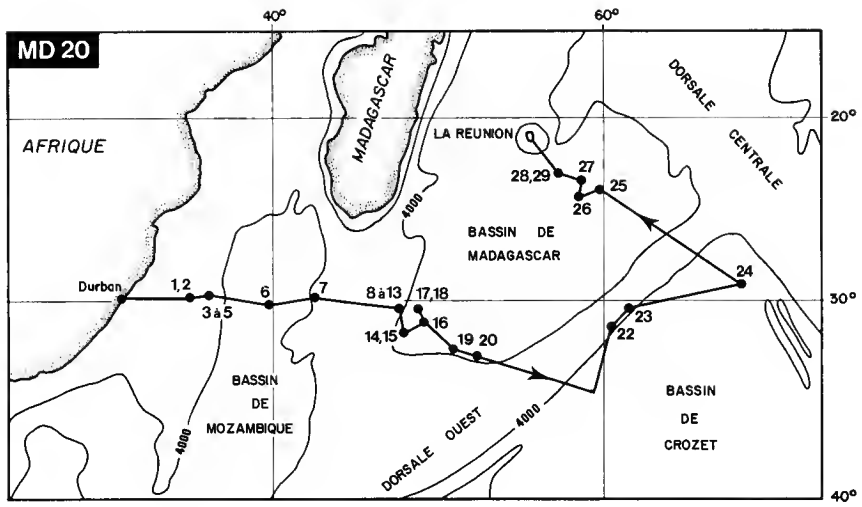
Campagne NEMRODE - MD14 (29 juillet - 03 septembre 1977)

LEG	ECHANT	ST	DATE	LAT.	LONG.	MAR	PROF	LCAR	LPVD	G	SEDI	AGE	HT	NSTA	NTAP	CBOC	LB
MD14	PL 770001	01	300777	-24.214	58.114	402	4950	0000	0000	0	65030	0000	00	0000	0000	0010	01
MD14	AT 770016	01	030877	-24.214	58.070	402	4930	0093	0000	0	65500	1002	00	0000	0000	0920	01
MD14	CS 770012	01	030877	-24.207	58.080	402	5100	0000	0028	0	00000	0000	00	0000	0000	0000	00
MD14	PL 770002	02	040877	-24.063	59.524	402	4400	0000	0000	0	44030	0000	00	0000	0000	0400	01
MD14	AT 770017	02	040877	-24.061	59.556	402	4298	0000	0000	0	00030	0000	00	0000	0000	0000	00
MD14	CS 770013	02	050877	-24.057	59.558	402	4330	0000	0046	0	00000	0000	00	0000	0000	0000	00
MD14	DR 770016	02	050877	-24.060	59.525	402	4740	0000	1250	0	00030	0000	00	0000	0000	0013	01
MD14	SI 770001	02	060877	-24.095	59.498	402	4570	0080	0000	0	64530	1211	00	0000	0000	1500	02
MD14	PL 770003	03	070877	-22.585	64.584	401	4125	0000	0000	3	00030	0000	00	0000	0000	0000	01
MD14	PS 770208	03	070877	-22.590	64.563	401	3870	0010	0000	3	64330	1211	00	0000	0000	0111	00
MD14	PS 770209	03	070877	-22.592	64.577	401	4245	1135	0030	3	64370	1191	00	0907	0101	0220	00
MD14	SI 770002	03	070877	-22.590	64.567	401	4012	0055	0000	3	36540	1211	00	0000	0000	1700	00
MD14	PS 770210	03	080877	-22.580	64.570	401	3846	0073	0056	3	33571	1201	00	0202	0000	0111	00
MD14	CS 770014	03	070877	-22.590	64.567	401	4012	0000	0200	3	00000	0000	00	0000	0000	0000	00
MD14	PS 770211	04	090877	-18.099	72.405	364	4350	0423	0100	0	64390	1111	10	0404	0000	0020	00
MD14	PL 770004	05	100877	-16.514	74.391	364	4580	0000	0000	0	00030	0000	00	0000	0000	0004	01
MD14	PS 770212	05	100877	-16.512	74.398	364	4632	0390	0013	0	64570	0000	00	0303	0000	0220	00
MD14	AT 770018	05	100877	-16.497	74.385	364	4430	0055	0000	0	63390	1111	10	0000	0000	0600	01
MD14	PS 770213	06	110877	-15.007	74.575	364	5093	0940	0125	0	56500	1182	00	0707	0000	0211	01
MD14	CS 770015	06	110877	-15.007	74.575	364	5115	0000	0003	0	00000	0000	00	0000	0000	0000	00
MD14	CS 770016	07	120877	-13.326	76.547	364	5230	0000	0036	0	00000	0000	00	0000	0000	0000	00
MD14	PS 770214	07	120877	-13.324	76.564	364	5220	0620	0050	0	64590	0000	00	0504	0000	0220	01
MD14	PL 770005	07	120877	-13.334	76.581	364	5233	0000	0000	0	00030	0000	00	0000	0000	0102	01
MD14	PL 770006	08	140877	-11.591	78.571	364	5362	0000	0000	0	00030	0000	00	0000	0000	0100	01
MD14	PS 770215	08	140877	-11.595	78.564	364	5150	1200	0100	0	56390	0000	00	0908	0101	0221	01
MD14	PS 770216	09	180877	-11.563	83.001	363	4147	0320	0000	3	35570	1201	00	0303	0000	0010	00
MD14	PS 770217	09	180877	-11.563	83.001	363	4930	1100	0000	3	56390	0000	00	0808	0202	0110	00
MD14	PS 770218	10	190877	-12.293	83.285	363	4425	0810	0070	3	36390	1181	00	0707	0000	0021	00
MD14	PS 770219	11	190877	-12.327	83.372	363	4230	0700	0000	3	35220	2071	32	0505	0101	0000	00
MD14	PS 770220	12	200877	-13.078	85.430	363	4822	0790	0197	3	45680	2151	26	0707	0000	0121	00
MD14	PS 770221	13	200877	-13.119	85.459	363	4560	0660	0032	3	46330	2151	28	0606	0101	0120	01
MD14	PS 770222	14	200877	-13.242	85.507	363	4372	0980	0000	3	36390	1181	00	0707	0101	0110	01
MD14	AT 770019	34	200877	-13.247	85.521	363	4425	0050	0115	3	36390	1181	00	0101	0000	0210	00
MD14	PS 770223	15	210877	-13.451	85.539	363	4205	0194	0000	3	33570	2181	27	0202	0101	0210	00
MD14	PS 770224	16	210877	-13.569	85.533	363	3920	0750	0000	3	35500	1191	00	0505	0000	0010	00
MD14	PS 770225	17	210877	-14.032	85.546	363	3870	0410	0120	3	35500	1201	00	0404	0000	0020	00
MD14	PS 770226	18	210877	-14.190	86.140	363	2532	0330	0000	3	33500	1211	00	0303	0000	0210	01
MD14	PS 770227	19	220877	-14.350	86.431	363	1880	0530	0000	3	35500	1201	00	0404	0000	0010	03
MD14	CS 770017	19	220877	-14.350	86.434	363	1890	0000	0063	3	00000	0000	00	0000	0000	0000	00
MD14	SI 770003	19	220877	-14.350	86.434	363	1890	0010	0000	3	77800	0000	00	0000	0000	0100	00
MD14	PS 770228	20	220877	-14.327	86.189	363	2250	0130	0000	3	73500	1201	00	0101	0000	0010	01
MD14	PS 770229	21	220877	-14.303	85.460	363	3020	0890	0000	3	73500	1191	00	0606	0000	0010	00
MD14	PS 770230	22	220877	-14.287	85.099	363	3915	0970	0000	3	35600	1191	00	0707	0000	0110	01
MD14	PS 770231	23	230877	-14.262	84.338	363	4762	1160	0000	0	56200	1191	00	0808	0000	0000	01
MD14	PS 770232	24	230877	-14.059	83.370	363	4525	0850	0000	0	45390	2171	28	0707	0101	0110	00
MD14	PS 770233	25	230877	-14.020	83.281	363	4522	0500	0000	0	45680	1191	00	0606	0000	0010	00
MD14	PS 770234	26	230877	-14.015	83.332	363	4460	0630	0000	0	64390	2191	25	0504	0000	0110	00
MD14	PL 770007	27	240877	-11.549	78.313	364	5190	0000	0000	0	00030	0000	00	0000	0000	0200	01
MD14	AT 770020	27	240877	-11.541	78.387	364	5100	0100	0070	0	56570	1211	00	0101	0000	1910	03
MD14	DR 770017	28	250877	-11.538	78.361	364	5090	0000	0020	0	00030	0000	00	0000	0000	0000	00
MD14	AT 770021	29	260877	-13.343	76.527	364	5360	0100	0000	0	56530	1002	00	0000	0000	1300	03
MD14	DR 770018	29	260877	-13.333	76.576	364	5200	0000	0021	0	00030	0000	00	0000	0000	0001	01
MD14	PS 770235	30	280877	-18.139	72.249	364	4070	0540	0030	0	46570	1031	13	0404	0101	0321	00
MD14	PS 770236	31	280877	-20.598	72.498	400	4280	0010	0040	0	00871	0000	00	0000	0000	0120	00
MD14	PS 770237	32	300877	-24.151	64.027	401	4635	0880	0036	0	66570	0000	00	0707	0000	0020	00
MD14	AT 770022	32	300877	-24.121	64.052	401	4380	0090	0120	0	63370	1211	00	0101	0000	0600	01
MD14	PS 770238	34	310877	-23.239	62.265	401	4192	0500	0120	0	63291	1191	00	0606	0000	0120	00
MD14	PS 770239	35	310877	-23.232	62.246	401	4200	0930	0048	0	63390	1181	00	0707	0000	0020	00
MD14	DR 770019	35	010977	-23.229	62.239	401	4400	0000	0246	0	00039	0000	00	0000	0000	0004	01
MD14	CS 770018	35	010977	-23.182	62.278	401	4138	0000	0044	0	00000	0000	00	0000	0000	0000	00



Campagne SAFARI I - MD20 (20 août - 26 septembre 1979)

LEG	ECHANF	ST	DATE	LAT.	LONG.	MAR	PROF	LCAR	LPVD	G	SEDI	AGE	HT	NSTA	NTAP	CBOC	LB	
MD20	PS	790263	01	210879	-29.517	34.320	404	2606	0690	0000	1	48500	1191	01	0505	0000	0010	00
MD20	SI	790004	01	210879	-29.524	34.319	404	2601	0010	0000	1	78800	1211	00	0000	0000	0400	01
MD20	PS	790264	02	210879	-29.545	35.005	404	2498	0514	0000	1	48520	3001	46	0505	0000	0210	00
MD20	PS	790265	03	220879	-29.560	35.453	404	2122	0015	0000	1	38830	3001	45	0000	0000	0011	00
MD20	PS	790266	04	220879	-29.543	36.000	404	2124	0774	0000	1	73500	1111	08	0505	0000	0310	00
MD20	PS	790267	05	220879	-29.448	36.221	404	2317	0618	0000	1	73500	1191	00	0404	0000	0010	00
MD20	GS	790268	06	230879	-30.193	40.016	439	4905	0000	0150	0	42800	1211	00	0101	0000	0201	00
MD20	SI	790005	06	240879	-30.223	40.011	439	5042	0077	0096	0	00000	0000	00	0100	0000	1510	00
MD20	CP	790001	06	240879	-30.277	39.474	440	4987	0000	0001	0	00030	0000	00	0000	0000	0001	00
MD20	DS	790002	06	240879	-30.194	39.588	440	4905	0000	0001	0	00000	0000	00	0000	0000	0001	01
MD20	ES	790269	07	260879	-30.333	44.447	439	2307	0750	0300	1	37500	1191	00	0505	0000	0010	00
MD20	SI	790006	07	260879	-30.326	44.437	439	2281	0010	0000	1	00000	0000	00	0000	0000	0300	00
MD20	PS	790270	08	270879	-30.471	48.178	439	4243	0920	0154	1	64370	0000	00	0807	0000	0220	00
MD20	GS	790271	08	270879	-30.464	48.185	439	4305	0590	0137	1	36370	2091	26	0605	0000	0311	00
MD20	SI	790007	08	270879	-30.449	48.194	439	4281	0057	0000	1	35530	0000	00	0000	0000	2900	00
MD20	CP	790002	08	270879	-30.443	48.195	406	4365	0000	0300	1	00030	0000	00	0020	0000	0506	02
MD20	SI	790008	08	280879	-30.387	48.303	439	4610	0020	0000	0	00000	0000	00	0000	0000	0200	00
MD20	GS	790272	08	280879	-30.414	48.274	439	4447	0796	0055	0	64570	1211	00	0707	0000	0021	00
MD20	CP	790003	08	290879	-30.354	48.308	439	4515	0000	0090	0	64030	0000	00	0000	0000	1003	00
MD20	SI	790009	08	290879	-30.407	48.280	439	4450	0000	0000	0	64730	1201	00	0000	0000	1200	00
MD20	DS	790003	08	280879	-30.437	48.219	439	4340	0000	0000	0	00030	0000	00	0000	0000	0002	01
MD20	DS	790004	08	290879	-30.393	48.285	439	4500	0000	0001	0	00000	0000	00	0000	0000	0001	01
MD20	PS	790273	09	290879	-30.470	48.107	439	3942	0026	0162	1	36500	1181	00	0101	0000	0212	00
MD20	PS	790274	09	300879	-30.475	48.105	439	3976	0406	0015	1	36500	2201	22	0303	0000	0221	00
MD20	GS	790275	10	300879	-30.450	48.153	439	4150	0035	0005	1	35530	1141	04	0101	0000	0022	00
MD20	CP	790004	11	310879	-30.391	48.156	439	4035	0000	0001	1	00030	0000	00	0000	0000	0001	00
MD20	GS	790276	12	310879	-30.454	48.156	439	3927	0796	0080	1	38330	1015	12	0707	0000	0030	00
MD20	SI	790010	13	310879	-30.468	48.177	439	4250	0072	0000	1	36330	1201	00	0000	0000	1800	00
MD20	GS	790277	13	310879	-30.472	48.144	439	4092	0453	0005	1	46390	2201	25	0605	0000	0020	00
MD20	CP	790005	13	310879	-30.472	48.144	439	4257	0000	0300	1	00030	0000	00	0000	0000	0207	02
MD20	PS	790278	14	010979	-31.410	48.373	439	4101	0026	0136	1	00000	0000	00	0101	0000	0120	00
MD20	PS	790279	14	010979	-31.397	48.371	439	4042	1020	0010	1	36500	1191	00	0808	0000	0120	00
MD20	GS	790280	15	010979	-31.547	48.309	439	3715	0740	0058	1	35500	1191	00	0606	0000	0020	00
MD20	CP	790006	15	010979	-31.520	48.280	439	3787	0000	0003	0	00700	0000	00	0000	0000	0400	00
MD20	PS	790281	16	030979	-30.502	49.086	439	4717	1108	0005	0	63600	1191	00	0808	0000	0010	00
MD20	CP	790007	16	030979	-30.510	49.000	439	4725	0000	0001	0	00030	0000	00	0000	0000	0001	00
MD20	GS	790282	17	030979	-30.043	48.503	439	4567	1270	0140	0	00000	0000	00	0101	0000	0220	00
MD20	GS	790283	18	040979	-29.497	48.361	403	3621	0640	0000	1	00000	0000	00	0505	0000	0001	00
MD20	CP	790008	18	040979	-29.523	48.347	403	3800	0000	0002	1	00030	0000	00	0000	0000	0003	00
MD20	GS	790284	19	050979	-32.395	50.462	438	4342	0728	0007	0	36330	2091	34	0606	0000	0310	00
MD20	SI	790011	19	050979	-32.395	50.468	438	4140	0000	0007	0	00030	0000	00	0000	0000	0101	00
MD20	SI	790012	19	060979	-32.413	50.463	438	4272	0073	0000	0	46530	1191	00	0000	0000	1400	02
MD20	CP	790009	19	060979	-32.399	50.468	438	4155	0000	0015	0	00030	0000	00	0000	0000	0301	01
MD20	GS	790285	19	060979	-32.395	50.466	438	4343	0750	0000	0	00000	0000	00	0403	0000	0301	00
MD20	CP	790010	19	070979	-32.408	50.457	438	4290	0000	0567	0	00030	0000	00	0000	0000	0309	08
MD20	SI	790013	19	070979	-32.404	50.461	438	4295	0000	0000	0	00030	0000	00	0000	0000	0100	01
MD20	CP	790011	20	080979	-32.420	52.460	438	4538	0000	0002	0	00030	0000	00	0000	0000	0003	00
MD20	PS	790286	22	110979	-31.241	61.469	437	3862	0775	0060	3	36530	1123	06	0706	0000	0020	00
MD20	PS	790287	22	110979	-31.230	61.460	437	3931	0767	0102	3	46530	1143	04	0707	0000	0320	00
MD20	PS	790288	22	120979	-31.227	61.478	437	4215	0010	0000	3	00001	0000	00	0000	0000	0110	00
MD20	GS	790289	22	120979	-31.239	61.463	437	3910	0030	0000	3	00001	0000	00	0000	0000	0120	00
MD20	SI	790014	22	120979	-31.230	61.350	437	5572	0070	0000	3	56500	0000	00	0000	0000	1300	01
MD20	PS	790290	23	130979	-29.520	62.000	401	4110	0494	0000	3	64391	1211	00	0404	0000	0101	00
MD20	PS	790291	23	130979	-29.529	62.028	401	3348	0010	0000	3	00031	0000	00	0000	0000	0001	00
MD20	GS	790292	23	140979	-29.540	61.550	401	4309	0743	0130	3	46390	1081	08	0606	0000	0320	00
MD20	DR	790020	23	140979	-29.520	62.000	401	4000	0000	0702	3	00030	0000	00	0000	0000	0005	00
MD20	PS	790293	24	150979	-28.564	68.222	401	4320	0017	0000	0	00031	0000	00	0000	0000	0011	00
MD20	GS	790294	24	150979	-28.535	68.147	401	4386	0744	0130	0	64390	1181	00	0606	0000	0220	01
MD20	GS	790295	24	160979	-28.542	68.110	401	4170	0765	0000	0	64300	0000	00	0606	0000	0020	00
MD20	DR	790021	24	160979	-28.534	68.223	401	4575	0000	0064	0	00001	0000	00	0000	0000	0001	00
MD20	GS	790296	25	190979	-24.043	59.540	402	4574	0010	0000	0	00091	0000	00	0000	0000	0001	00
MD20	GS	790297	25	190979	-24.040	59.540	402	4653	0010	0010	0	00091	0000	00	0000	0000	0020	00
MD20	GS	790298	26	190979	-24.214	58.097	402	4905	1400	0098	0	00000	0000	00	0101	0000	0220	00
MD20	SI	790015	26	190979	-24.202	58.191	402	4939	0057	0000	0	00000	0000	00	0000	0000	1200	00
MD20	CP	790012	26	200979	-24.230	58.210	402	4890	0000	0125	0	00030	0000	00	0000	0000	0602	04
MD20	CP	790013	26	200979	-24.255	58.189	402	4987	0000	0065	0	00030	0000	00	0000	0000	0201	00
MD20	DS	790005	26	200979	-24.211	58.166	402	5050	0000	0003	0	00000	0000	00	0000	0000	0001	01
MD20	CP	790014	27	210979	-23.288	57.539	402	4740	0000	0030	0	00030	0000	00	0000	0000	0001	01
MD20	GS	790299	27	220979	-23.359	57.589	402	4553	0000	0127	0	60000	0000	00	0501	0000	0120	00
MD20	SI	790016	27	220979	-23.352	57.578	402	4500	0030	0000	0	46930	0000	00	0000	0000	0500	00
MD20	GS	790300	28	230979	-22.406	58.206	402	4849	0650	0000	0	00000	0000	00	0505	0000	0021	00

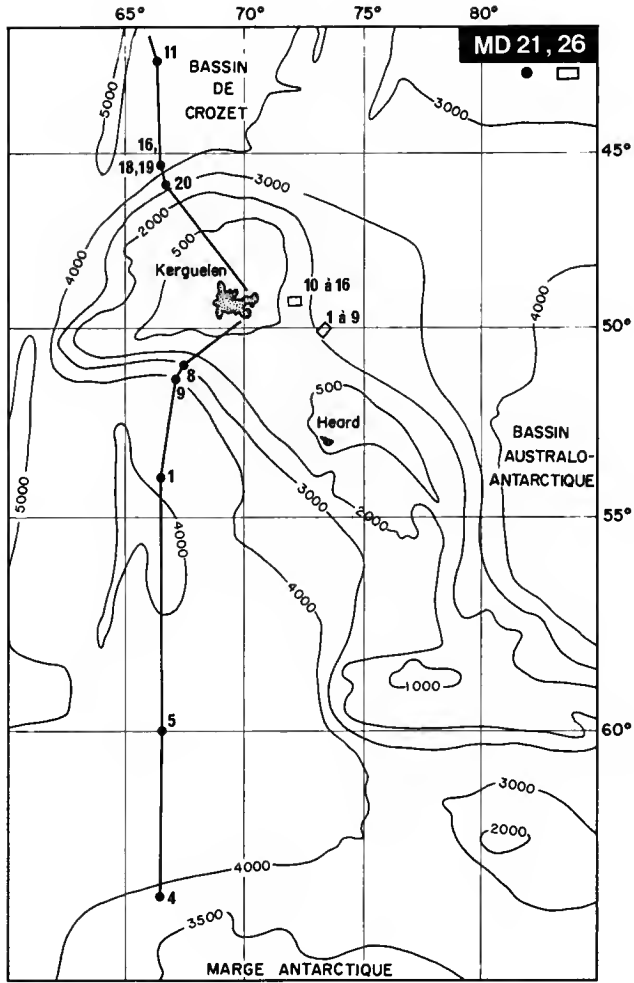


**Campagne ANTIPROD II - MD21 (21 février - 09 avril 1980)**

LEG	ECHANT	ST	DATE	LAT.	LONG.	MAR	PROF	LCAR	LPVD	G	SEDI	AGE	HT	NSTA	NTAP	CBOC	LB	
MD21	GS	800301	01	250280	-54.000	66.315	509	4540	0773	0000	0	52500	1192	00	0601	0000	0010	01
MD21	GS	800302	04	020380	-63.413	66.242	545	3896	0840	0144	0	52500	1000	00	0903	0000	0620	01
MD21	GS	800303	05	040380	-59.594	66.313	509	4590	0450	0000	0	00000	1000	00	0400	0202	0110	01
MD21	GS	800304	08	080380	-51.049	67.450	509	1965	1582	0000	1	54500	1000	00	1100	0102	0010	03
MD21	GS	800305	09	080380	-51.454	66.579	509	2410	0795	0000	1	54600	1201	00	0600	0003	0100	01
MD21	GS	800306	11	110380	-42.010	66.320	473	4760	1030	0000	0	54630	1000	00	0707	0000	0610	00
MD21	GS	800307	16	140380	-45.230	66.320	473	3900	0010	0000	1	00001	0000	00	0000	0000	0100	00
MD21	GS	800308	18	160380	-45.325	66.299	473	3285	1490	0000	1	45600	1195	00	1010	0000	0010	00
MD21	GS	800309	19	160380	-45.240	66.378	473	3750	0790	0000	1	45530	1000	00	0606	0000	0010	01
MD21	GS	800310	20	160380	-45.566	66.346	473	2312	0080	0000	1	36500	2205	00	0101	0000	0010	02

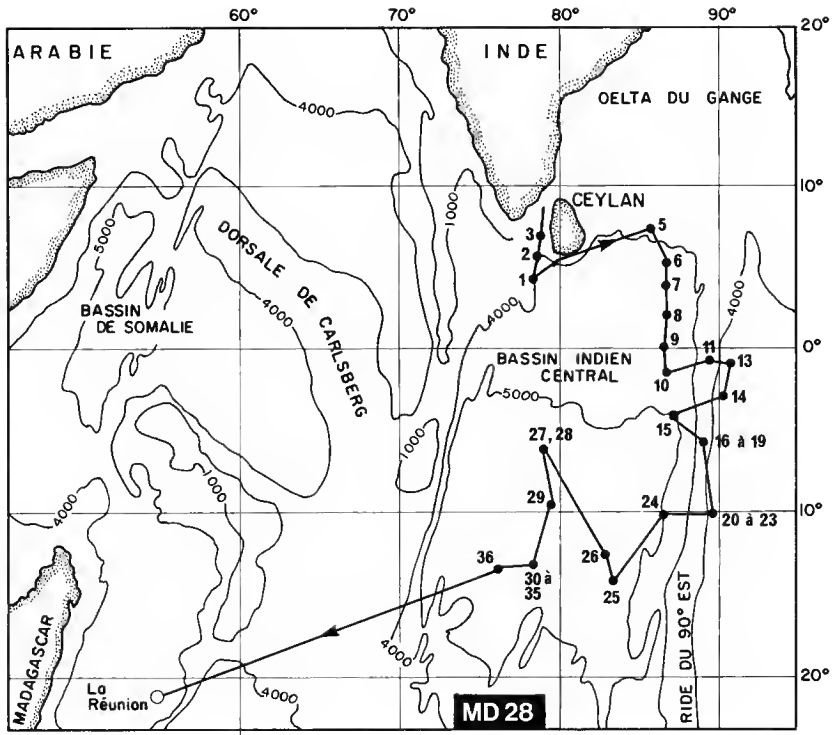
**Campagne MD26 (9 mars - 30 avril 1981)**

LEG	ECHANT	ST	DATE	LAT.	LONG.	MAR	PROF	LCAR	LPVD	G	SEDI	AGE	HT	NSTA	NTAP	CBOC	LB	
MD26	GS	810317	01	140481	-50.061	73.530	508	0555	0515	0000	1	58342	0000	00	0404	0004	0110	01
MD26	GS	810318	02	140481	-50.042	73.266	508	0668	0393	0000	1	85882	1000	00	0303	0303	0010	00
MD26	GS	810319	03	140481	-50.014	73.319	508	0721	0210	0000	1	85892	1000	00	0202	0202	0010	00
MD26	GS	810320	04	140481	-49.586	73.376	472	0799	0030	0000	1	00040	2131	00	0000	0000	0020	00
MD26	GS	810321	05	140481	-49.579	73.382	472	0864	0330	0000	1	88890	1000	00	0303	0101	0110	03
MD26	GS	810322	06	150481	-49.576	73.392	472	1001	0730	0000	1	58582	1000	00	0606	0000	0111	03
MD26	GS	810323	07	150481	-49.558	73.438	472	1254	0435	0000	1	85882	1000	00	0303	0101	0010	03
MD26	GS	810324	08	150481	-49.504	73.535	472	1356	0110	0000	1	82892	1000	00	0101	0101	0111	00
MD26	GS	810325	09	150481	-49.477	73.556	472	1233	0175	0000	1	78552	1000	00	0202	0000	0010	02
MD26	GS	810326	10	160481	-49.202	71.458	472	0596	0700	0000	1	85562	1000	00	0505	0000	0210	03
MD26	GS	810327	11	160481	-49.186	71.516	472	0577	0730	0000	1	58562	1000	00	0505	0202	0110	04
MD26	GS	810328	12	160481	-49.162	71.586	472	0659	0740	0000	1	85882	1000	00	0606	0202	0410	03
MD26	GS	810329	14	160481	-49.130	72.106	472	1020	0040	0000	1	00041	0000	00	0000	0000	0023	00
MD26	GS	810330	15	160481	-49.116	72.138	472	1620	0850	0000	1	58362	1000	00	0606	0303	0010	03
MD26	GS	810331	16	160481	-49.133	72.076	472	0901	0050	0000	1	85842	0000	00	0101	0000	0000	00



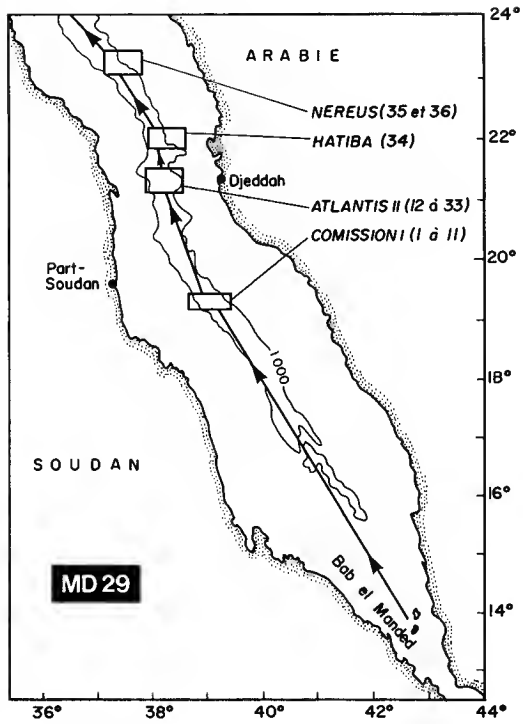
Campagne SAFARI II - MD28 (21 juillet - 1 septembre 1981)

LEG	ECHANT	ST	DATE	LAT.	LONG.	MAR	PROF	LCAR	LPVD	G	SEDI	AGE	HT	NSTA	NTAP	CBOC	LB	
MD28	GS	810336	01	240781	5.000	78.580	029	4215	0640	0050	4	54000	1211	00	0606	0000	0121	02
MD28	GS	810337	02	250781	5.390	79.080	029	3405	1310	0150	4	48500	1201	00	1111	0000	0121	01
MD28	CP	810016	02	250781	5.480	78.430	029	3450	0000	0002	0	00030	0000	00	0000	0000	0001	01
MD28	SI	810019	02	260781	5.370	78.240	029	3646	0070	0000	4	35300	1201	00	0000	0000	1400	00
MD28	GS	810338	03	270781	6.550	78.450	029	2595	1325	0030	4	45300	1201	00	1010	0000	0121	02
MD28	CP	810017	03	270781	7.070	79.000	029	2475	0050	0001	0	00000	0000	00	0000	0000	0001	01
MD28	CP	810018	03	270781	6.590	78.500	029	2540	0000	0002	0	00030	0000	00	0000	0000	0002	01
MD28	GS	810339	05	300781	7.270	85.550	028	3780	0005	0010	6	00000	0000	00	0000	0000	0002	01
MD28	GS	810340	05	300781	7.270	85.550	028	3750	0005	0005	0	00000	0000	00	0000	0000	0020	00
MD28	PS	810341	05	300781	7.260	85.560	028	3770	0300	0000	4	45500	0000	00	0202	0000	0110	00
MD28	CP	810019	05	300781	7.220	85.490	028	3780	0000	0015	0	00000	0000	00	0000	0000	0002	01
MD28	GS	810342	06	310781	5.170	87.000	028	3989	0210	0100	6	48680	1201	00	0303	0000	0020	03
MD28	GS	810343	07	010881	3.550	86.580	028	4093	0340	0040	6	38680	1201	00	0404	0000	0120	03
MD28	PS	810344	08	010881	1.520	87.000	028	4342	0025	0121	6	00000	0000	00	0101	0000	0420	00
MD28	PS	810345	08	020881	1.360	87.090	028	4372	0540	0097	6	38680	1201	00	0707	0000	0020	01
MD28	CP	810020	08	020881	1.430	87.080	028	4350	0000	0015	0	00030	0000	00	0000	0000	0002	01
MD28	CP	810021	08	020881	1.410	87.060	028	4360	0000	0001	0	00009	0000	00	0000	0000	0001	01
MD28	GS	810346	08	030881	1.360	87.090	028	4351	0355	0005	6	32680	1201	00	0404	0000	0021	05
MD28	GS	810347	09	030881	0.065	87.080	028	4525	0520	0013	6	24980	1201	00	0505	0000	0020	01
MD28	GS	810348	10	040881	-2.050	87.010	327	4710	0192	0000	0	56380	0000	00	0202	0000	0010	01
MD28	GS	810349	11	040881	-1.010	89.220	327	2505	0430	0000	3	37380	1211	00	0303	0000	0010	01
MD28	GS	810350	13	050881	-0.480	91.040	326	4540	0435	0000	3	54380	1211	00	0303	0001	0110	01
MD28	GS	810351	14	060881	-2.580	89.480	327	3325	0200	0000	3	37380	1201	00	0202	0000	0010	04
MD28	CP	810022	14	060881	-2.540	89.430	327	3344	0000	0001	1	00009	0000	00	0000	0000	0001	01
MD28	GS	810352	15	070881	-4.320	86.550	327	4970	0170	0000	0	85380	0000	00	0202	0002	0010	04
MD28	SI	810020	15	070881	-4.360	86.540	327	4970	0070	0000	0	52580	0000	00	0101	0000	0500	00
MD28	CP	810023	15	070881	-4.300	86.550	327	4950	0000	0035	0	00009	0000	00	0000	0000	0002	01
MD28	CP	810024	15	080881	-4.430	86.520	327	4975	0002	0020	0	00039	0000	00	0000	0000	0003	01
MD28	GS	810353	16	080881	-6.159	88.430	327	3700	0495	0000	3	15300	1191	00	0303	0000	0110	00
MD28	CP	810025	17	090881	-6.170	89.110	327	3000	0000	0005	1	00009	0000	00	0000	0000	0001	01
MD28	GS	810354	18	090881	-6.188	89.542	327	3930	0665	0000	3	45500	1201	00	0505	0101	0001	01
MD28	GS	810355	19	090881	-6.210	90.100	326	4500	0309	0000	3	45980	0000	00	0202	0000	0210	00
MD28	GS	810356	20	100881	-9.580	89.510	327	5180	0385	0000	3	55380	0000	00	0303	0000	0010	01
MD28	GS	810357	21	110881	-10.010	89.250	363	4525	0729	0000	3	57380	1132	04	0505	0000	0010	01
MD28	GS	810358	22	110881	-9.590	89.100	327	4200	0760	0000	3	36390	0000	00	0505	0000	0110	00
MD28	GS	810359	23	110881	-10.020	88.572	363	3622	0754	0000	3	73580	0000	00	0505	0000	0010	00
MD28	CP	810026	23	110881	-10.004	88.554	363	3640	0000	0010	1	00009	0000	00	0000	0000	0003	01
MD28	GS	810360	24	120881	-9.597	86.336	327	4960	0640	0000	0	54390	1192	00	0505	0000	0010	03
MD28	CP	810027	24	120881	-10.001	86.548	363	4907	0000	0210	0	00005	0000	00	0000	0000	0109	00
MD28	GS	810361	25	130881	-14.058	83.383	363	4510	0510	0045	0	36190	2201	25	0505	0000	0010	00
MD28	GS	810362	25	130881	-14.066	83.392	363	4410	0550	0000	0	35370	2151	21	0404	0000	0120	00
MD28	GS	810363	25	140881	-14.097	83.390	363	4200	0488	0000	0	36974	0000	00	0303	0000	0210	00
MD28	GS	810364	26	140881	-12.327	83.365	363	4300	0700	0000	0	45600	1161	00	0505	0000	0010	01
MD28	GS	810365	26	140881	-12.262	83.368	363	4425	1379	0000	0	45100	0000	00	0909	0000	0110	01
MD28	CP	810028	27	160881	-6.024	79.324	328	5175	0000	0010	0	00038	0000	00	0000	0000	0006	01
MD28	GS	810366	27	170881	-6.101	79.390	328	5175	0375	0000	0	82390	0000	00	0403	0100	0310	01
MD28	CP	810029	27	170881	-6.116	79.406	328	5175	0000	0006	0	00038	0000	00	0000	0000	0002	01
MD28	GS	810367	28	180881	-6.591	80.060	327	4890	1145	0000	0	56300	1142	05	0808	0000	0010	01
MD28	GS	810368	29	180881	-9.585	79.260	328	5300	0975	0000	0	55300	1162	00	0707	0000	0010	01
MD28	SI	810021	29	190881	-9.580	79.275	328	5330	0070	0000	0	00030	0000	00	0000	0000	1400	00
MD28	GS	810369	29	190881	-10.026	79.480	364	5340	1772	0013	0	52380	1132	03	1313	0000	0120	03
MD28	CP	810030	29	190881	-9.575	79.300	328	5330	0000	0005	0	00038	0000	00	0000	0000	0002	01
MD28	CP	810031	29	200881	-10.020	79.481	364	5336	0000	0003	0	00038	0000	00	0000	0000	0001	01
MD28	GS	810370	30	200881	-11.523	78.363	364	5275	1050	0000	0	56370	0000	00	0808	0000	0020	00
MD28	CP	810032	30	200881	-11.511	78.393	364	5062	0000	0700	0	00030	0000	00	0000	0000	0113	01
MD28	GS	810371	31	210881	-12.025	79.045	364	5347	1275	0000	0	51200	1162	00	0909	0000	0001	00
MD28	GS	810372	31	210881	-12.046	79.055	364	5345	1761	0000	0	00000	0000	00	1313	1313	0111	00
MD28	SI	810022	31	210881	-12.041	79.066	364	5340	0064	0000	0	55000	0000	00	0000	0000	1400	00
MD28	CS	810020	31	210881	-12.041	79.066	364	5340	0000	0022	0	00000	0000	00	0000	0000	0000	00
MD28	CP	810034	31	220881	-12.107	79.138	364	5355	0000	0251	0	00030	0000	00	0000	0000	0006	02
MD28	CP	810033	31	220881	-12.049	79.088	364	5325	0000	0010	0	00038	0000	00	0000	0000	0005	01
MD28	GS	810373	32	220881	-11.495	78.478	364	5108	0865	0000	0	65340	0000	00	0707	0000	0200	00
MD28	BL	810001	32	220881	-11.511	78.511	364	5047	0000	1034	0	00030	0000	00	0000	0000	0021	01
MD28	SI	810023	32	220881	-11.490	78.499	364	5080	0056	0000	0	00030	0000	00	0000	0000	1500	00
MD28	CS	810021	32	220881	-11.490	78.499	364	5080	0000	0010	0	00030	0000	00	0000	0000	0000	00
MD28	GS	810374	33	230881	-12.480	77.430	364	5362	1350	0000	0	56670	1162	00	1010	0000	0010	02
MD28	CP	810035	33	230881	-12.475	77.450	364	5300	0200	0102	0	00030	0000	00	0000	0000	0103	02
MD28	CP	810036	33	240881	-12.497	77.477	364	5340	0000	0028	0	00030	0000	00	0000	0000	0102	01
MD28	GS	810375	33	240881	-12.472	77.458	364	5310	1750	0000	0	55500	1132	00	1212	0000	0010	02
MD28	SI	810024	33	240881	-12.446	77.460	364	5355	0068	0000	0	00030	0000	00	0000	0000	1600	00
MD28	CS	810022	33	240881	-12.446	77.460	364	5316	0000	0044	0	00000	0000	00	0000	0000	0000	00
MD28	GS	810376	34	250881														



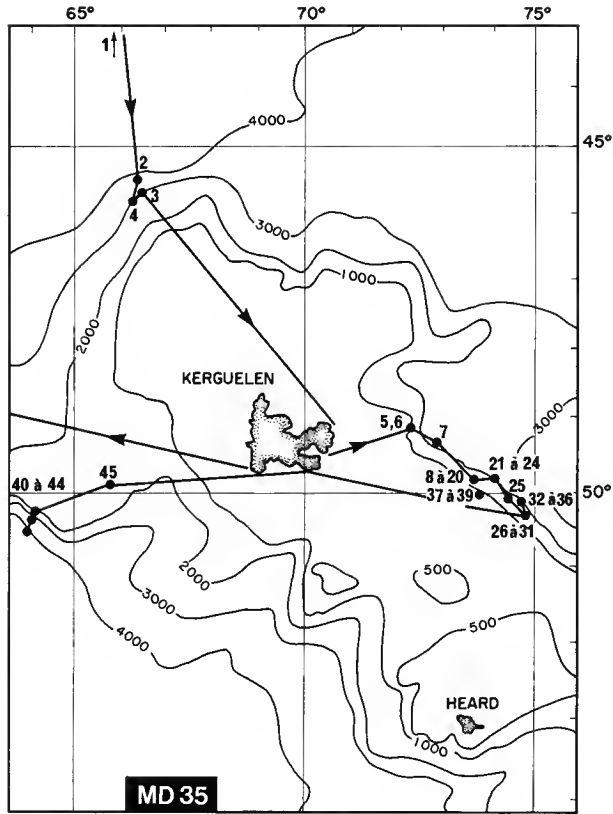
Campagne COMMAR - MD29 (16 octobre - 28 octobre 1981)

LEG	ECHANT	ST	DATE	LAT.	LONG.	MAR	PROF	LCAR	LPVD	G	SEDI	AGE	HT	NSTA	NTAP	CBOC	LB	
MD29	GS	810379	01	181081	19.157	38.504	069	1725	0087	0015	3	42520	1000	00	0101	0000	0011	00
MD29	GS	810380	02	181081	19.159	38.511	069	1910	1490	0000	3	49100	1000	00	1107	0000	0310	00
MD29	GS	810381	03	181081	19.165	38.522	069	1910	1650	0000	3	49100	1000	00	1212	0000	0110	00
MD29	GS	810382	04	181081	19.216	38.544	069	2030	1644	0042	3	49100	1000	00	1311	0000	0020	00
MD29	GS	810383	05	191081	19.186	38.576	069	2075	1450	0000	3	49100	1000	00	1111	0000	0011	00
MD29	GS	810384	06	191081	19.206	38.582	069	2220	0015	0000	3	00001	0000	00	0000	0000	0001	00
MD29	GS	810385	07	191081	19.233	39.064	069	1830	0900	0000	3	49993	1000	00	0605	0000	0110	00
MD29	GS	810386	08	191081	19.251	39.041	069	1900	1130	0000	3	94100	1000	00	0808	0000	0010	00
MD29	GS	810387	09	191081	19.250	39.028	069	1898	1660	0057	3	49100	1000	00	1313	0000	0021	00
MD29	GS	810388	10	201081	19.173	38.564	069	2108	1370	0000	3	94900	0001	00	1010	0000	0011	04
MD29	GS	810389	11	201081	19.145	38.535	069	1915	1111	0000	3	49900	1000	00	0806	0000	0012	01
MD29	GS	810390	12	201081	21.201	38.061	105	1900	0885	0065	3	94400	1000	00	0707	0000	0021	01
MD29	GS	810391	13	211081	21.196	38.050	105	2045	1630	0110	3	69463	1000	00	1309	0000	0121	02
MD29	GS	810392	14	211081	21.199	38.057	105	2152	1275	0050	3	69900	1000	00	1002	0000	0222	01
MD29	GS	810393	15	211081	21.206	38.049	105	2160	0103	0056	3	69103	1000	00	0202	0000	0020	01
MD29	GS	810394	16	211081	21.201	38.067	105	1925	0530	0026	3	49900	1000	00	0505	0000	0020	01
MD29	GS	810395	17	211081	21.220	38.062	105	2050	0575	0070	3	96461	1000	00	0605	0000	0120	02
MD29	GS	810396	18	211081	21.222	38.035	105	2120	1270	0097	3	96160	1000	00	1113	0000	0020	01
MD29	GS	810397	19	221081	21.214	38.036	105	2140	1200	0095	3	96100	1000	00	0901	0000	0020	02
MD29	GS	810398	20	221081	21.221	38.042	105	2120	1160	0083	3	94998	1000	00	1212	0000	0211	03
MD29	GS	810399	21	221081	21.222	38.040	105	2125	1075	0110	3	94968	1000	00	0806	0000	0220	07
MD29	GS	810400	22	231081	21.215	38.048	105	2170	0000	0100	3	69801	1000	00	0101	0000	0020	01
MD29	GS	810401	23	231081	21.219	38.055	105	2060	0000	0100	3	69801	1000	00	0101	0000	0010	01
MD29	GS	810402	24	231081	21.218	38.057	105	2070	0750	0096	3	94968	1000	00	0605	0000	0122	02
MD29	GS	810403	25	231081	21.222	38.057	105	2070	1550	0096	3	94991	1000	00	1309	0000	0110	07
MD29	GS	810404	26	231081	21.241	38.042	105	2090	0880	0096	3	94963	1000	00	0705	0000	0101	06
MD29	GS	810405	27	231081	21.248	38.036	105	2090	0900	0000	3	96003	1000	00	0000	0000	0110	01
MD29	GS	810406	28	241081	21.264	38.029	105	1950	0030	0065	3	69801	1000	00	0101	0000	0011	01
MD29	GS	810407	29	241081	21.260	38.042	105	2080	0830	0100	3	94100	1000	00	0706	0000	0101	02
MD29	GS	810408	30	241081	21.215	38.016	105	2000	0525	0100	3	97900	1000	00	0505	0000	0022	05
MD29	GS	810409	31	241081	21.201	38.050	105	2170	0470	0100	3	94401	1000	00	0502	0000	0223	06
MD29	CS	810025	32	251081	21.369	38.005	105	1535	0000	0372	3	00000	0000	00	0000	0000	0000	00
MD29	SI	810027	32	251081	21.369	38.005	105	1535	0070	0000	3	00000	1000	00	0000	0000	1500	00
MD29	SI	810028	33	251081	21.420	37.560	105	1700	0100	0000	3	00000	1000	00	0000	0000	1400	00
MD29	CS	810026	33	251081	21.420	37.560	105	1700	0000	0358	3	00000	0000	00	0000	0000	0000	00
MD29	GS	810410	34	251081	22.027	37.527	105	2180	0300	0000	3	70401	1000	00	0201	0000	0000	00
MD29	GS	810411	35	261081	23.110	37.150	105	2390	0000	0050	3	00000	1000	00	0101	0000	0021	00
MD29	GS	810412	36	261081	23.120	37.140	105	2355	0300	0060	3	94160	1000	00	0303	0000	0012	06



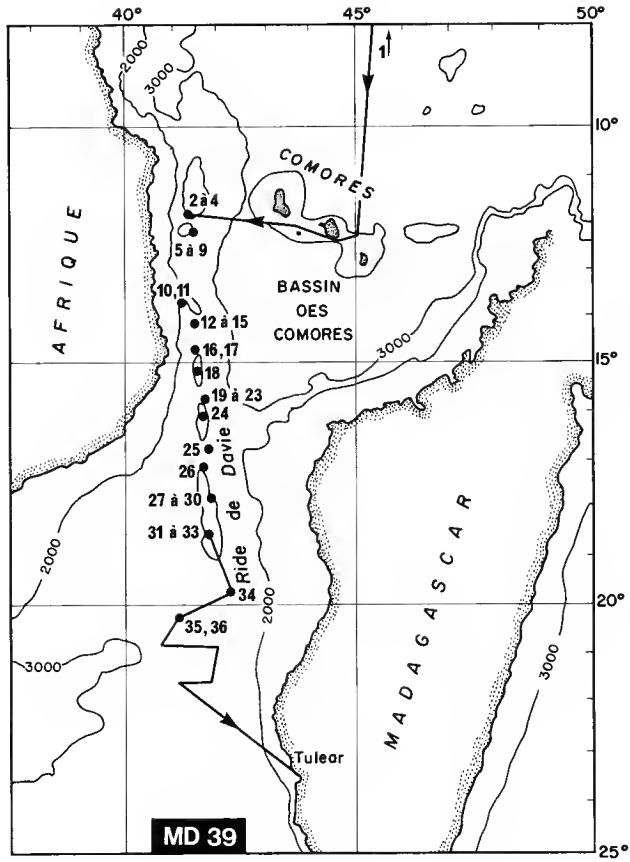
**Campagne DRAKAR - MD35 (1 mars - 1 avril 1983)**

LEG	ECHANT	ST	DATE	LAT.	LONG.	MAR	PROF	LCAR	LPVD	G	SEDI	AGE	HT	NSTA	NTAP	CBOC	LB	
MD35	GS	830479	01	050383	-40.564	65.571	473	4253	0730	0010	1	33200	1195	00	0505	0000	0020	00
MD35	GS	830480	02	070383	-45.246	66.301	473	3718	0290	0030	1	44592	2195	26	0202	0000	0210	00
MD35	GS	830481	03	070383	-45.487	66.342	473	2390	0420	0000	1	37390	2195	26	0303	0202	0010	01
MD35	GS	830482	04	070383	-45.410	66.371	473	2750	0800	0000	1	73380	1115	03	0606	0000	0010	00
MD35	GS	830483	05	090383	-49.110	72.103	472	1294	0460	0000	1	55302	1212	00	0303	0000	0110	00
MD35	GS	830484	06	090383	-49.107	72.096	472	1154	0790	0000	1	88300	1000	00	0606	0303	0310	00
MD35	GS	830485	07	100383	-49.173	72.571	472	2368	0720	0000	1	58320	1202	00	0605	0000	0110	00
MD35	GS	830486	08	100383	-49.577	73.368	472	0778	0055	0000	1	33750	2135	00	0000	0000	0210	01
MD35	GS	830487	09	100383	-49.577	73.364	472	0709	0045	0000	1	30050	2135	00	0101	0000	0000	02
MD35	GS	830488	10	110381	-49.576	73.367	472	0809	0040	0000	1	00051	0000	00	0000	0000	0020	00
MD35	GS	830489	11	110383	-49.575	73.363	472	0793	0515	0000	1	88850	1192	00	0404	0000	0000	01
MD35	GS	830490	12	110383	-49.584	73.392	472	0881	0065	0000	1	03090	2091	00	0101	0000	0210	00
MD35	GS	830491	13	110383	-49.579	73.388	472	0953	0040	0000	1	37908	2061	00	0000	0000	0022	00
MD35	DR	830022	14	110383	-49.587	73.420	472	0990	0000	0834	1	00009	2001	00	0000	0000	0007	00
MD35	GS	830492	15	120383	-50.018	73.413	508	0873	0030	0000	1	30070	2155	00	0000	0000	0010	02
MD35	GS	830493	16	120383	-50.038	73.432	508	0734	0680	0000	1	55100	1152	00	0505	0202	0010	00
MD35	GS	830494	17	120383	-50.028	73.429	508	0765	0030	0000	1	85090	0000	00	0101	0000	0010	01
MD35	GS	830495	18	120383	-49.554	73.367	472	1095	0050	0000	1	82842	0000	00	0000	0000	0111	00
MD35	GS	830496	19	120383	-49.558	73.364	472	1020	0550	0000	1	54342	1211	00	0404	0000	0010	00
MD35	GS	830497	20	120383	-49.579	73.392	472	0942	0070	0000	1	83340	2001	00	0101	0000	0211	00
MD35	GS	830498	21	130383	-49.419	73.587	472	2440	0730	0000	1	35222	1191	01	0505	0000	0020	00
MD35	GS	830499	22	130383	-49.408	74.012	472	2579	0580	0000	1	53640	1162	04	0404	0000	0110	00
MD35	GS	830500	23	140383	-49.344	73.490	472	2544	0690	0000	1	85642	1000	00	0503	0202	0100	00
MD35	GS	830501	24	140383	-49.356	73.504	472	2438	0161	0000	1	85342	1211	00	0101	0000	0010	00
MD35	GS	830502	25	150383	-50.107	74.251	508	0985	0780	0000	1	58600	1000	00	0606	0000	0010	00
MD35	GS	830503	26	150383	-50.196	74.473	508	1358	0450	0000	1	35744	3005	00	0404	0202	0110	00
MD35	GS	830504	27	150383	-50.193	74.474	508	1635	0020	0000	1	83891	0000	00	0000	0000	0010	00
MD35	GS	830505	28	150383	-50.188	74.476	508	1820	0080	0000	1	35754	3001	00	0101	0000	0010	00
MD35	GS	830506	29	150383	-50.198	74.472	508	1259	0080	0000	1	35794	3001	00	0101	0000	0010	00
MD35	GS	830507	30	160383	-50.219	74.568	508	1766	0310	0000	1	53390	1211	00	0202	0000	0110	00
MD35	GS	830508	31	160383	-50.221	74.566	508	1505	0160	0000	1	65972	0000	00	0202	0000	0010	00
MD35	GS	830509	32	170383	-50.158	74.288	508	0925	0560	0000	1	53382	1000	00	0404	0000	0010	01
MD35	GS	830510	33	170383	-50.192	74.472	508	1517	0210	0000	1	35794	3001	15	0101	0000	0210	00
MD35	DR	830023	34	170383	-50.189	74.464	508	0000	0000	0180	1	00009	3001	00	0000	0000	0005	00
MD35	GS	830511	35	180383	-49.588	74.366	472	2500	0750	0000	1	55500	1000	00	0505	0000	0210	01
MD35	GS	830512	36	180383	-49.571	74.220	472	1609	0730	0000	1	57352	1211	00	0505	0000	0010	00
MD35	GS	830513	37	190383	-49.579	73.363	472	0780	0080	0000	1	35700	2161	00	0101	0000	0010	02
MD35	DR	830024	38	190383	-49.579	73.375	472	0883	0000	0346	1	00009	2161	00	0000	0000	0009	01
MD35	GS	830514	39	190383	-49.579	73.392	472	0985	0770	0000	1	52502	1000	00	0505	0000	0110	00
MD35	GS	830515	40	210383	-50.235	63.564	509	3300	0640	0000	1	53900	1215	00	0505	0000	0000	00
MD35	GS	830516	41	210383	-50.065	63.546	509	1485	0310	0000	1	75300	1150	06	0202	0000	0010	00
MD35	GS	830517	42	210383	-50.186	63.550	509	1891	0357	0000	1	32800	1211	00	0303	0101	0110	00
MD35	GS	830518	43	210383	-50.207	63.536	509	2451	0410	0000	1	75382	1121	07	0307	0202	0010	00
MD35	GS	830519	44	210383	-50.011	63.566	509	1331	0670	0000	1	75392	1191	01	0505	0000	0020	00
MD35	GS	830520	45	220383	-49.504	65.427	473	0770	0010	0000	1	00005	0000	00	0000	0000	0010	00



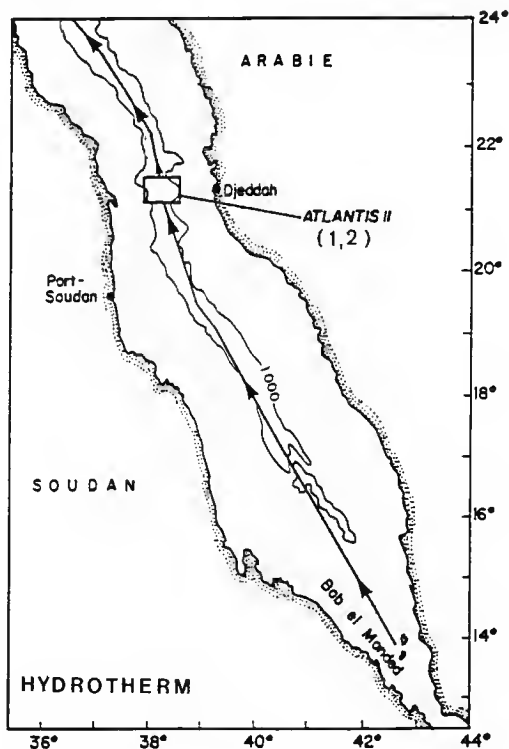
Campagne RIDA - MD39 (1 mai - 25 mai 1984)

LEG	ECHANT	ST	DATE	LAT.	LONG.	MAR	PROF	LCAR	LPVD	G	SEDI	AGE	HT	NSTA	NTAP	CBOC	LB	
MD39	GS	840570	01	090584	-5.09H	43.114	331	3990	1400	0000	3	37600	1191	00	1010	0000	0001	00
MD39	GS	840571	02	110584	-11.504	41.201	367	1820	0005	0000	3	33000	1211	00	0000	0000	0001	00
MD39	GS	840572	03	120584	-11.507	41.157	367	2118	0380	0020	3	38600	1211	00	0303	0000	0101	00
MD39	GS	840573	04	120584	-11.493	41.145	367	2380	0505	0010	3	48600	1211	00	0404	0000	0110	00
MD39	GS	840574	05	130584	-12.098	41.352	367	2257	0671	0036	3	33650	1211	00	0505	0000	0001	01
MD39	GS	840575	06	130584	-12.101	41.289	367	1390	0401	0000	3	04650	1211	00	0303	0101	0102	00
MD39	GS	840576	07	130584	-12.106	41.267	367	0370	0003	0000	3	00750	1211	00	0000	0000	0010	00
MD39	CS	840027	08	130584	-12.125	41.290	367	1210	0000	0000	3	00000	0000	00	0000	0000	0000	00
MD39	DR	840025	09	130584	-12.152	41.282	367	0880	0000	0135	3	03050	0000	00	0000	0000	0003	00
MD39	GS	840577	10	140584	-13.472	41.128	367	1480	0230	0015	3	44900	1211	00	0202	0000	0020	00
MD39	GS	840578	11	140584	-13.491	41.121	367	1657	0664	0076	3	47950	1191	00	0606	0000	0020	00
MD39	GS	840579	12	140584	-14.094	41.311	367	1090	0005	0000	3	00030	0000	00	0000	0000	0001	00
MD39	DR	840026	12	140584	-14.084	41.289	367	0810	0000	0175	3	00031	1003	00	0000	0000	0003	00
MD39	GS	840580	13	140584	-14.076	41.303	367	1213	0735	0000	3	73300	1091	08	0505	0000	0010	00
MD39	GS	840581	14	140584	-14.073	41.206	367	2063	0010	0025	3	44509	1211	00	0000	0000	0101	00
MD39	DR	840027	15	150584	-14.083	41.255	367	1831	0000	0455	3	06091	1001	00	0000	0000	0006	00
MD39	GS	840582	16	150584	-14.453	41.292	367	2025	0140	0010	3	48390	1211	00	0101	0000	0011	00
MD39	GS	840583	17	150584	-14.461	41.299	367	1905	0210	0010	3	33530	1021	00	0202	0000	0011	00
MD39	DR	840028	17	160584	-14.462	41.286	367	2255	0000	0015	3	06091	0000	00	0000	0000	0001	00
MD39	DR	840029	18	160584	-15.128	41.317	367	2450	0000	0015	3	06098	0000	00	0000	0000	0001	00
MD39	GS	840584	18	170584	-15.082	41.347	367	1880	0210	0000	3	22949	1211	00	0202	0000	0201	01
MD39	GS	840585	18	170584	-15.080	41.342	367	1940	0165	0005	3	24999	2201	00	0101	0000	0020	00
MD39	DR	840030	18	170584	-15.061	41.340	367	1875	0000	0145	3	03038	1001	00	0000	0000	0003	00
MD39	GS	840586	18	170584	-15.075	41.331	367	1840	0020	0000	3	33890	2201	00	0000	0000	0110	00
MD39	GS	840587	19	180584	-15.480	41.393	367	1895	0670	0018	3	33930	1191	00	0505	0000	0011	00
MD39	GS	840588	20	180584	-15.484	41.376	367	2093	0580	0020	3	77500	1191	00	0404	0000	0201	01
MD39	GS	840589	21	180584	-15.491	41.399	367	1880	0640	0030	3	33500	1161	00	0404	0000	0201	00
MD39	GS	840590	22	180584	-15.494	41.371	367	2050	0170	0010	3	77500	1191	00	0101	0000	0120	00
MD39	GS	840591	23	180584	-15.507	41.339	367	2600	0520	0075	3	38350	1191	00	0404	0000	0101	00
MD39	DR	840031	24	180584	-16.122	41.370	367	1837	0000	0020	3	40000	1001	00	0000	0000	0001	00
MD39	GS	840592	24	190584	-16.129	41.391	367	0727	0010	0000	3	00030	0000	00	0000	0000	0001	00
MD39	DR	840032	24	190584	-16.126	41.382	367	1350	0000	0020	3	30098	1001	00	0000	0000	0001	00
MD39	DR	840033	24	190584	-16.125	41.389	367	0850	0000	0490	3	33039	1003	00	0000	0000	0000	00
MD39	CS	840028	24	190584	-16.127	41.403	367	0592	0000	0000	3	00000	0000	00	0000	0000	0000	00
MD39	GS	840593	25	200584	-16.494	41.429	367	2580	0539	0000	3	77400	1211	00	0404	0000	0101	00
MD39	GS	840594	25	200584	-16.525	41.498	367	2050	0550	0030	3	33500	1191	00	0404	0000	0101	00
MD39	GS	840595	25	210584	-16.519	41.474	367	2100	0440	0000	3	33530	1151	00	0303	0000	0001	00
MD39	GS	840596	26	210584	-17.126	41.385	367	1890	0010	0000	3	33830	0000	00	0000	0000	0001	00
MD39	DR	840034	27	210584	-17.535	41.446	367	0470	0000	0001	3	00991	1003	00	0000	0000	0001	00
MD39	DR	840035	28	210584	-17.577	41.471	367	0450	0000	0001	3	00991	1003	00	0000	0000	0001	00
MD39	DR	840036	29	210584	-17.559	41.459	367	1090	0000	0120	3	30030	1001	00	0000	0000	0003	00
MD39	CS	840029	30	220584	-17.551	41.459	367	0700	0000	0000	3	00000	0000	00	0000	0000	0000	00
MD39	DR	840037	31	220584	-18.331	41.518	367	0600	0000	0120	3	03031	2003	00	0000	0000	0003	00
MD39	DR	840038	32	220584	-18.415	41.457	367	1132	0000	0110	3	06038	2151	00	0000	0000	0003	00
MD39	CS	840030	33	220584	-18.374	41.461	367	1100	0000	0000	3	00000	0000	00	0000	0000	0000	00
MD39	GS	840597	34	230584	-19.503	42.085	367	1950	0655	0020	3	33530	1191	00	0505	0000	0002	00
MD39	GS	840598	35	230584	-20.153	41.076	403	2570	0720	0000	3	33500	1191	00	0505	0000	0201	00
MD39	GS	840599	36	230584	-20.162	41.015	403	2085	0690	0000	3	33500	1191	00	0505	0000	0010	00



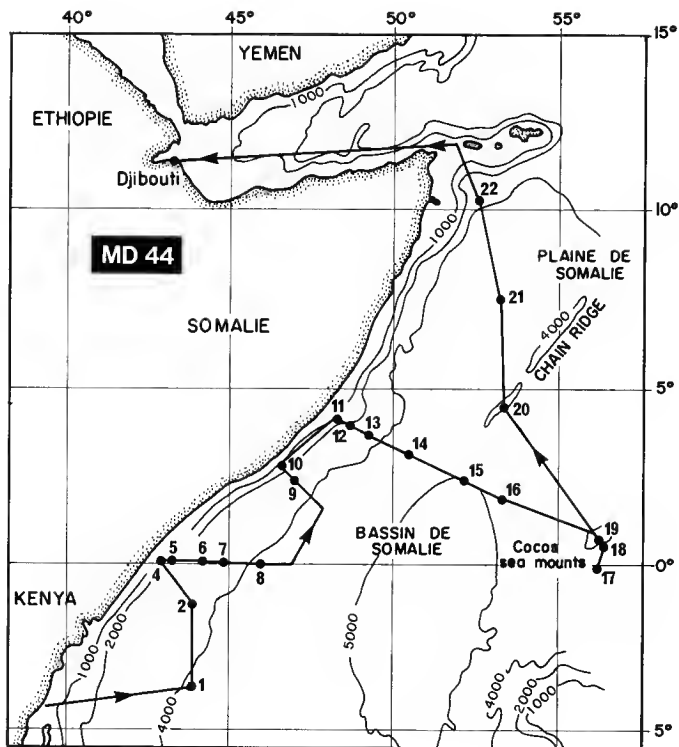
**Campagne HYDROTHERM - MDMR (1 mai - 2 mai 1985)**

LEG	ECHANT	ST	DATE	LAT.	LONG.	MAR	PROF	LCAR	LPVD	G	SEDI	AGE	HT	NSTA	NTAP	CB0C	LB
MDMR	GS 850683	01	010585	21.207	38.048	105	2150	1620	0000	3	94998	1000	00	1211	0000	0110	04
MDMR	GS 850684	02	020585	21.207	38.048	105	2150	1385	0000	3	94998	1000	00	0909	0000	0320	04



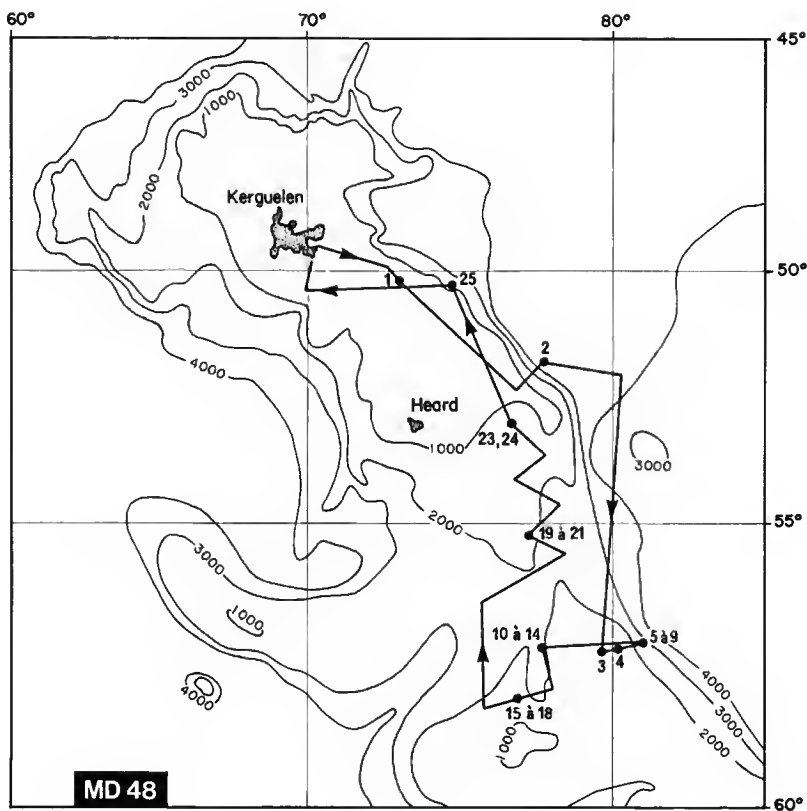
**Campagne INDUSOM - MD44 (17 avril - 30 avril 1985)**

LEG	ECHANT	ST	DATE	LAT.	LONG.	MAR	PROF	LCAR	LPVD	G	SEDI	AGE	HT	NSTA	NTAP	CB0C	LB
MD44	GS 850662	01	170485	-3.312	44.011	331	4023	1636	0010	4	35222	1196	00	1211	0001	0020	00
MD44	GS 850663	02	180485	-1.104	44.013	331	3405	1431	0042	4	38320	1201	00	1111	0000	0120	00
MD44	GS 850664	04	190485	0.036	43.128	032	0744	0690	0000	4	37322	1191	01	0505	0000	0010	00
MD44	GS 850665	05	190485	-0.292	43.268	331	2203	0720	0010	4	38342	1211	00	0505	0000	0210	01
MD44	GS 850666	06	190485	-0.106	44.164	331	3045	1490	0010	4	35390	1171	00	1110	0101	0100	01
MD44	GS 850667	07	190485	-0.003	44.548	331	3489	1292	0020	4	17320	1196	00	1010	0001	0120	01
MD44	GS 850668	08	200485	-0.010	46.023	331	4020	1523	0087	4	37302	1216	00	1211	0001	0020	00
MD44	GS 850669	09	210485	2.291	46.553	032	2590	1350	0024	4	15500	1216	00	0909	0000	0120	00
MD44	GS 850670	10	220485	2.417	46.370	032	0803	0597	0030	4	37500	1211	00	0404	0000	0110	00
MD44	GS 850671	11	220485	4.083	48.253	032	1185	0600	0000	4	73350	1191	00	0404	0000	0010	01
MD44	GS 850672	12	230485	3.494	49.038	032	2609	1324	0000	4	73300	1196	00	0909	0003	0000	01
MD44	GS 850673	13	230485	3.449	49.166	032	2963	0571	0000	4	37300	1051	00	0505	0101	0010	00
MD44	GS 850674	14	240485	3.112	50.263	031	4875	1394	0025	0	45660	1206	00	1010	0000	0101	01
MD44	GS 850675	15	240485	2.271	52.056	031	5077	1425	0163	0	45660	1196	00	1010	0000	0420	00
MD44	GS 850676	16	250485	1.499	53.208	031	5080	1512	0140	0	45660	1191	00	1111	0001	0220	01
MD44	GS 850677	17	260485	0.001	55.574	031	3475	0770	0000	7	73849	1201	00	0505	0003	0110	01
MD44	GS 850678	18	260485	0.475	56.166	031	2567	0080	0000	7	37770	0000	00	0101	0000	0101	01
MD44	GS 850679	19	260485	0.494	56.115	031	2009	0015	0000	7	77900	0000	00	0000	0000	0010	01
MD44	GS 850680	20	270585	4.472	53.093	031	5078	1358	0038	0	53600	1201	00	0909	0001	0010	00
MD44	GS 850681	21	280485	7.445	53.110	031	5062	1302	0028	0	35300	1201	00	0909	0002	0110	00
MD44	GS 850682	22	290485	10.535	52.235	067	3092	0723	0053	4	33200	1216	00	0505	0000	0210	01



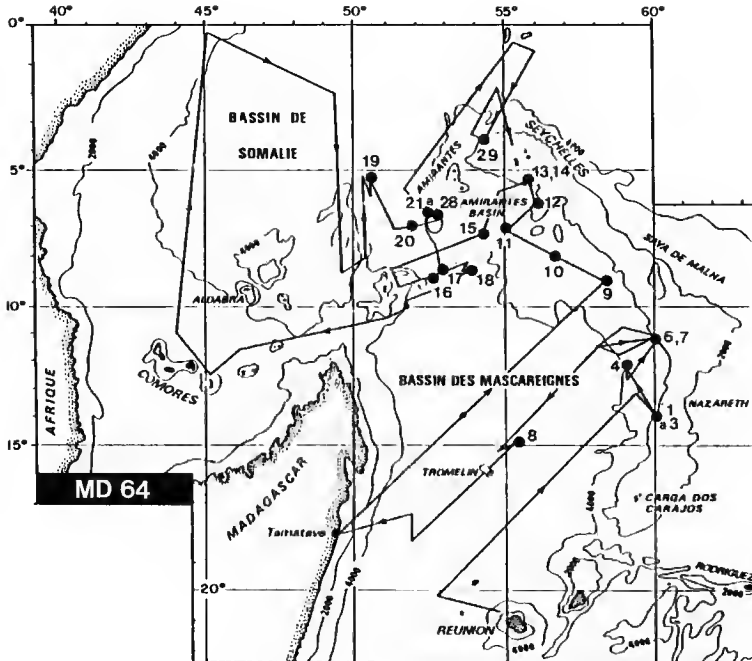
Campagne NASKA - MD48 (21 février - 26 mars 1986)

LEG	ECHANT	ST	DATE	LAT.	LONG.	MAR	PROF	LCAR	LPVD	G	SEDI	AGE	HT	NSTA	NTAP	CBOC	LB	
MD48	GS	860696	01	010386	-50.144	73.037	508	0570	0730	0000	1	58392	1132	05	0505	0000	0010	01
MD48	DR	860039	02	020386	-51.576	77.451	508	1950	0000	0125	4	04091	1005	00	0000	0000	0002	02
MD48	GS	860697	03	040386	-57.226	79.385	508	1677	0745	0000	1	72224	1211	00	0505	0000	0000	01
MD48	GS	860698	04	040386	-57.152	80.096	507	1980	0640	0000	1	45330	2191	20	0404	0000	0110	01
MD48	GS	860699	05	040386	-57.079	80.571	507	2625	0380	0000	1	42305	2191	19	0303	0000	0110	01
MD48	GS	860700	06	040386	-57.055	81.106	507	3130	0145	0000	1	25335	1132	03	0101	0000	0010	01
MD48	GS	860701	07	050386	-57.038	81.230	507	3850	0805	0000	1	24238	3001	30	0606	0000	0010	02
MD48	GS	860702	08	050386	-57.059	81.128	507	3115	0605	0000	1	27334	1132	00	0403	0000	0210	01
MD48	GS	860703	09	050386	-57.099	81.260	507	3000	1170	0000	1	20838	2153	28	0909	0707	0010	01
MD48	DR	860640	10	060386	-57.172	77.347	508	2160	0000	0320	1	00098	3006	00	0000	0000	0002	03
MD48	DR	860041	11	070386	-57.180	77.349	508	2000	0000	0345	1	00999	0000	00	0000	0000	0003	02
MD48	GS	860704	12	070386	-57.168	77.483	508	1890	0245	0000	1	35348	2201	24	0201	0000	0010	02
MD48	GS	860705	13	070386	-57.164	77.303	508	2270	0780	0000	1	58299	1181	00	0605	0000	0010	02
MD48	DR	860042	14	070386	-57.171	77.373	508	2300	0000	0740	1	00991	3002	00	0000	0000	0007	02
MD48	DR	860043	15	080386	-58.019	77.018	508	1910	0000	1325	1	00991	3005	00	0000	0000	0016	03
MD48	GS	860706	16	090386	-58.105	76.548	508	1360	0090	0000	1	78355	0000	00	0100	0000	0020	01
MD48	DR	860044	17	090386	-58.166	76.560	508	1400	0000	1215	1	00991	3005	00	0000	0000	0014	03
MD48	GS	860707	18	090386	-58.058	76.454	508	1665	0405	0000	1	70398	1181	01	0301	0000	0200	02
MD48	DR	860045	19	110386	-55.186	77.279	508	2065	0000	0700	1	00991	0000	00	0000	0000	0010	02
MD48	GS	860708	20	120386	-55.162	77.237	508	1700	0805	0000	1	73380	2201	24	0605	0000	0110	01
MD48	GS	860709	21	120386	-55.140	77.182	508	1740	0775	0000	1	75600	1192	00	0505	0000	0010	02
MD48	GS	860710	23	140386	-53.109	76.442	508	1140	0800	0000	1	35285	1192	00	0505	0000	0010	02
MD48	GS	860711	24	140386	-53.131	76.419	508	1235	1590	0000	1	35600	1192	00	1111	0000	0000	01
MD48	DR	860046	25	150386	-50.187	74.486	508	2175	0000	0315	1	00991	1001	00	0000	0000	0003	03



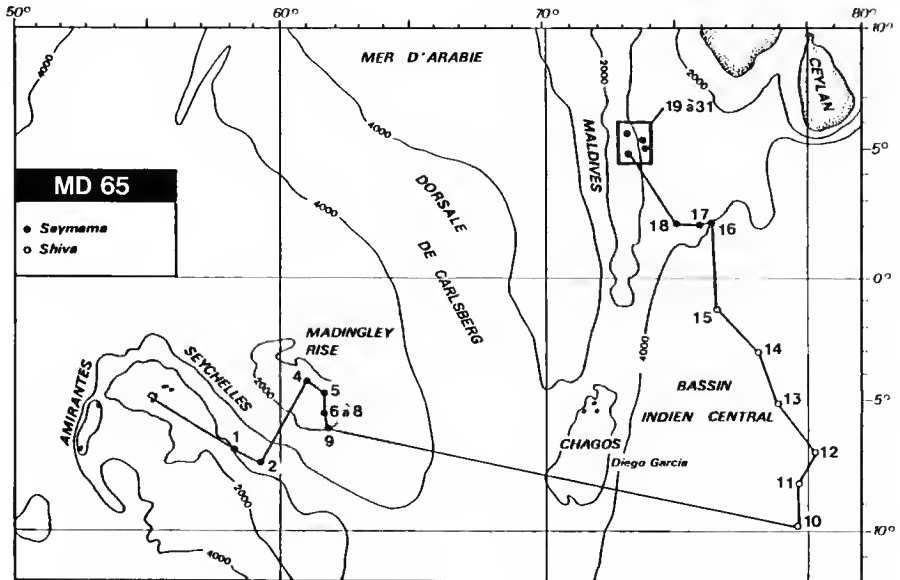
Campagne SOMIRMAS - MD64 (5 juillet - 14 août 1990)

LEG	ECHANT	ST	DATE	LAT.	LONG.	MAR	PROF	LCAR	LPVD	G	SEDI	AGE	HT	NSTA	NTAP	CBOC	LB	
MD64	GS	900921	01	080790	-13.478	60.118	365	2775	0260	0000	1	33500	1211	00	0202	0000	0001	00
MD64	DR	900047	02	080790	-13.517	60.155	365	1550	0000	0055	1	10098	1011	00	0000	0000	0001	00
MD64	DR	900048	03	080790	-13.516	60.164	365	1300	0000	0058	1	10098	1003	00	0000	0000	0001	00
MD64	GS	900922	04	090790	-12.173	59.081	366	3897	1485	0000	0	37300	1191	00	1010	0000	0101	00
MD64	DR	900049	06	100790	-10.589	60.154	365	1200	0000	0170	1	00709	2201	00	0000	0000	0002	00
MD64	DR	900050	07	110790	-10.572	60.166	365	0800	0000	0002	0	00709	0000	00	0000	0000	0000	00
MD64	DR	900051	08	130790	-14.458	55.201	366	3397	0000	0086	3	00000	0000	00	0000	0000	0002	00
MD64	GS	900923	09	200790	-9.014	58.174	330	3409	0010	0000	1	33801	1211	00	0000	0000	0010	00
MD64	DR	900052	09	200790	-9.010	58.183	330	3390	0000	0056	3	00090	2003	00	0000	0000	0001	00
MD64	GS	900924	10	210790	-8.017	56.425	330	3615	1525	0000	0	37347	1191	00	1111	0000	0010	00
MD64	GS	900925	11	210790	-7.120	55.052	330	3791	0310	0000	0	33500	1191	01	0202	0202	0010	00
MD64	DR	900053	12	220790	-6.149	56.112	330	0980	0000	0155	1	00799	2011	00	0000	0000	0002	00
MD64	GS	900054	13	220790	-5.226	55.540	330	1275	0000	0700	1	00000	2171	00	0000	0000	0009	00
MD64	DR	900055	14	220790	-5.200	55.566	330	0037	0000	0091	1	00000	0000	00	0000	0000	0002	00
MD64	GS	900926	15	230790	-7.150	54.250	330	3940	2450	0025	0	37367	1191	00	1818	0000	0201	00
MD64	GS	900927	16	260790	-8.509	52.371	330	3565	0895	0000	8	73399	3001	40	0606	0101	0010	00
MD64	DR	900056	17	260790	-8.350	53.002	330	3800	0000	0269	8	00000	0000	00	0000	0000	0003	00
MD64	GS	900928	19	060890	-5.369	50.310	330	5050	2420	0020	0	45300	0000	00	1616	0000	0020	00
MD64	GS	900929	20	070890	-6.590	52.030	330	3071	1535	0000	8	33200	0000	00	1111	0000	0010	00
MD64	GS	900930	21	080890	-6.312	52.165	330	4930	0440	0000	8	45300	0000	00	0404	0000	0010	00
MD64	GS	900931	22	080890	-6.335	52.307	330	4710	0960	0000	8	45342	0000	00	0808	0000	0010	00
MD64	GS	900932	24	090890	-6.348	52.536	330	1657	0005	0000	1	00030	0000	00	0000	0000	0010	00
MD64	GS	900933	25	090890	-6.351	52.569	330	2085	0405	0000	1	70990	0000	00	0303	0000	0010	00
MD64	GS	900934	26	090890	-6.340	52.410	330	1783	0005	0000	1	00030	0000	00	0000	0000	0010	00
MD64	DR	900057	28	090890	-6.336	52.342	330	3100	0000	0336	1	00000	0000	00	0000	0000	0003	00
MD64	DR	900058	29	120890	-4.021	54.250	330	1327	0000	0276	1	00000	0000	00	0000	0000	0004	00



**Campagne SEYMAMA-SHIVA - MD65 (17 août - 14 septembre 1990)**

LEG	ECHANT	ST	DATE	LAT.	LONG.	MAR	PROF	LCAR	LPVD	G	SEDI	AGE	HT	NSTA	NTAP	CBOC	LB	
MD65	GS	900935	01	180890	-7.089	58.056	330	1591	1050	0000	1	77500	1181	00	0700	0000	0010	00
MD65	GS	900936	02	190890	-7.099	59.114	330	2360	2230	0000	1	77500	1131	00	1513	0104	0110	00
MD65	GS	900937	04	210890	-4.183	61.044	329	3740	2195	0000	1	33200	1191	00	1515	0000	0010	00
MD65	GS	900938	05	220890	-4.579	61.395	329	3430	3060	0000	1	33202	1171	00	2121	0000	0020	00
MD65	GS	900939	06	220890	-5.341	61.385	329	3860	0420	0000	1	33200	1201	00	0303	0000	0010	00
MD65	GS	900940	08	230890	-5.335	61.401	329	3875	3210	0040	1	33200	1131	01	2222	0000	0120	00
MD65	GS	900941	09	230890	-5.407	61.408	329	4017	3145	0000	1	33390	1161	00	2121	0000	0010	00
MD65	GS	900942	10	280890	-10.023	79.481	328	5356	4830	0000	0	56398	1122	02	3333	0000	0100	00
MD65	GS	900943	11	290890	-8.193	79.484	328	5249	4380	0025	0	51668	1112	03	3131	0000	0120	00
MD65	GS	900944	12	300890	-6.586	80.063	327	4907	3990	0000	0	56398	1112	03	2828	0000	0000	00
MD65	GS	900945	13	300890	-5.149	78.518	328	5193	0000	0105	0	56500	0000	00	0101	0000	0110	00
MD65	GS	900946	14	310890	-3.165	78.080	328	4796	3255	0075	0	26399	1112	06	2423	0000	0220	00
MD65	GS	900947	15	010990	-1.241	76.367	328	4781	3390	0065	0	62399	0000	00	2424	0000	0020	00
MD65	GS	900948	16	020990	2.087	76.218	029	3954	1500	0050	0	00000	1191	00	1010	0000	0120	00
MD65	GS	900949	17	020990	2.054	76.070	029	3697	3600	0000	0	33369	1191	00	2424	0000	0010	00
MD65	GS	900950	18	030990	2.012	75.303	029	3315	3100	0000	0	00000	1191	00	2121	0000	0010	00
MD65	GS	900951	19	050990	4.554	73.163	029	0525	0010	0050	1	33557	0000	00	0000	0000	0110	00
MD65	GS	900952	19	050990	4.560	73.163	029	0528	0000	0010	1	00000	0000	00	0000	0000	0010	00
MD65	GS	900953	19	050990	4.562	73.163	029	0525	3400	0000	1	00000	1191	00	2323	0000	0020	00
MD65	GS	900954	20	060990	5.066	73.448	029	1155	2610	0000	1	00000	1191	00	1900	0000	0200	00
MD65	GS	900955	21	060990	4.476	73.464	029	2284	2640	0010	1	00000	1191	00	1818	0000	0020	00
MD65	GS	900956	22	070990	5.261	73.114	029	0778	3350	0030	1	00000	1191	00	2323	0000	0110	00
MD65	GS	900957	23	070990	5.285	73.130	029	1017	0210	0040	1	33795	0000	00	0202	0000	0010	00
MD65	GS	900958	24	070990	5.044	73.108	029	0364	3500	0000	1	00000	1181	00	2424	0000	0010	00
MD65	GS	900959	25	080990	5.037	73.526	029	2447	3265	0065	1	00000	1191	00	2222	0000	0110	00
MD65	GS	900960	26	090990	5.049	73.470	029	1906	3625	0000	1	00000	1191	00	2424	0000	0010	00
MD65	GS	900961	27	100990	5.037	73.526	029	2446	4500	0020	1	00000	1191	00	1131	0000	0210	00
MD65	AT	900023	27	100990	5.037	73.526	029	2445	0036	0000	1	00000	0000	00	0000	0000	1400	00
MD65	AT	900024	28	100990	5.049	73.470	029	1905	0041	0000	1	00000	0000	00	0000	0000	0400	00
MD65	AT	900025	29	100990	5.066	73.449	029	1155	0015	0000	1	00000	0000	00	0000	0000	0000	00
MD65	GS	900962	30	110990	4.503	73.208	029	0500	3400	0000	1	00000	1181	00	2323	0000	0010	00
MD65	GS	900963	31	120990	5.037	73.526	029	2446	5360	0020	1	00000	1181	00	3737	0000	0020	00



*Achévé d'imprimer le 24 juillet 1992.*

*Le Bulletin des 2<sup>e</sup> et 3<sup>e</sup> trimestres de l'année 1991 a été diffusé le 24 décembre 1991.*







## Recommandations aux auteurs

Les articles doivent être adressés directement au Secrétariat du *Bulletin du Muséum national d'Histoire naturelle*, 57, rue Cuvier, 75005 Paris. Ils seront accompagnés : de la traduction du titre en anglais, d'un résumé en français et en anglais, de l'adresse du Laboratoire dans lequel le travail a été effectué (en note infrapaginale sur la première page). Joindre, si possible, la disquette avec le nom du logiciel utilisé.

Le *texte* doit être dactylographié à double interligne, avec une marge suffisante, recto seulement. Pas de mots en majuscules, pas de soulignages (à l'exception des noms de genres et d'espèces soulignés d'un trait). Il convient de numérotter les *tableaux* et de leur donner un titre ; les tableaux importants et complexes devront être préparés de façon à pouvoir être clichés comme des figures.

La liste des *références bibliographiques*, à la fin de l'article, devra être présentée par ordre alphabétique des noms d'auteurs, chaque référence étant indiquée ainsi : auteur, initiales du (ou des) prénom, date, titre d'article ou d'ouvrage (en entier), revue abrégée selon la *World list of Scientific Periodicals*, tome (souligné), numéro (entre parenthèses), deux points, pagination et illustrations.

Les *dessins et cartes* doivent être réalisés à l'encre de chine. Les *photographies* seront le plus nettes possible et tirées sur papier brillant. Tenir compte de la justification du Bulletin : 14,5 cm × 19 cm. L'auteur devra indiquer l'emplacement des figures dans la marge de son manuscrit. Les légendes seront regroupées à la fin du texte sur un feuillet séparé.

*Tirés à part* : 50 tirés à part seront fournis gratuitement par article. Les auteurs peuvent éventuellement commander des tirés à part supplémentaires qui leur seront facturés directement par l'imprimeur.

## MÉMOIRES DU MUSÉUM NATIONAL D'HISTOIRE NATURELLE

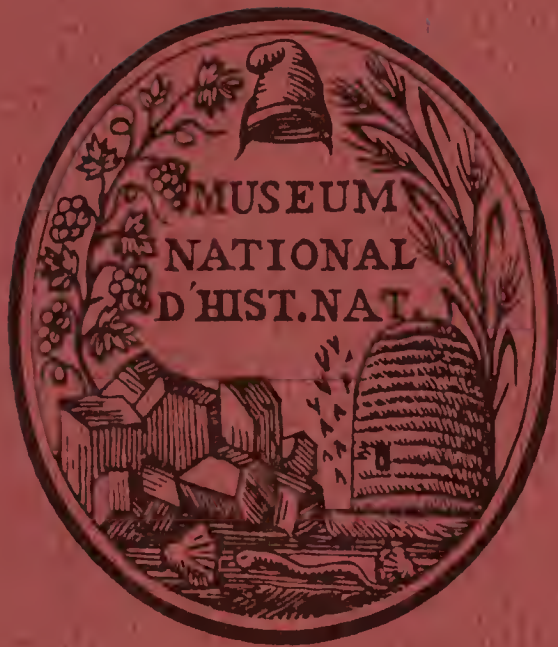
*Collection à périodicité irrégulière. Paraît depuis 1935. A partir de 1950, les Mémoires se subdivisent en quatre séries spécialisées : A, Zoologie ; B, Botanique ; C, Sciences de la Terre ; D, Sciences physico-chimique. (Format in-4°.)*

### *Dernières parutions dans la série C*

- T. 43 — Recherches océanographiques dans l'Océan Indien. (Entretiens du Muséum, Paris, 20-22 juin 1977.) 1979, 253 p., fig., pl.
- T. 44 — GAYET (Mireille). — Contribution à l'étude anatomique et systématique des Poissons Cénomaniens du Liban anciennement placés dans les Acanthoptérygiens. 1980, 151 p., fig., 29 pl.
- T. 45 — LAURIAT-RAGE (Agnès). — Les Bivalves du Redonien (Pliocène atlantique de France). Signification stratigraphique et paléobiogéographique. 1981, 175 p., fig., 16 pl.
- T. 46 — FRÖHLICH (François). — Les silicates dans l'environnement pélagique de l'océan Indien au Cénozoïque. 1981, 208 p., fig., pl.
- T. 47 — LOREAU (Jean-Paul). — Sédiments argonitiques et leur genèse. 1982, 314 p., fig., pl.
- T. 48 — LAURIAT-RAGE (Agnès). — Les Astaridae (Bivalvia) du Redonien (Pliocène atlantique de France). Systématique, biostratigraphie, biogéographie. 1982, 118 p., fig., 16 pl.
- T. 49 — Colloque sur le Turonien. (Entretiens du Muséum, Paris, 26-27 octobre 1981.) 1982, 240 p., 61 fig., 8 tabl., 4 pl.
- T. 50 — ROUCHY (Jean-Marie). — La genèse des évaporites messiniennes de Méditerranée. 1982, 267 p. 72 fig., 18 pl.
- T. 51. — GAYET (Mireille). — *Ramallichthys* Gayet du Cénomaniens inférieur marin de Ramallah (Judée). Une introduction aux relations phylogénétiques des Ostariophysi. 1986, 119 p., 53 fig.
- T. 52 — RUSSELL (D. E.) et ZHAI REN-JIE. — The paleogene of Asia : Mammals and stratigraphy. 1987, 490 p., 232 cartes, croquis et coupes stratigraphiques.
- T. 53. — RUSSELL (D. E.), SANTORO (J. P.) et SIGOGNEAU-RUSSELL (D.). — Teeth revisited : Proceedings of the VIIIth International Symposium on Dental Morphology. 1988, 470 p., tabl. et illustr.
- T. 54. — VÉRAN (M.). — Les éléments accessoires de l'arc hyoïdien des poissons téléostomes (Acanthodiens et Osteichthyens) fossiles et actuels. 1988, 113 p., 38 fig., 6 tabl., 7 pl. phot.
- T. 55. — BUSSON (G.) (Coordonné par). — Évaporites et Hydrocarbures. 1988, 138 p., 50 fig., 5 tabl.
- T. 56. — SAINT-MARTIN, J.-P. — Les formations récifales coralliennes du Miocène supérieur d'Algérie et du Maroc. 1990, 366 p., 160 fig., 32 tabl., 10 pl. phot.

### *Réimpression*

- T. 10. — ROGER (J.). — Buffon, « Les Époques de la nature ». Édition critique. 1988, 495 p. (1<sup>re</sup> édit., 1962).



MUSEUM  
NATIONAL  
D'HIST. NAT.